

Tab. 5: Profillage (Rechts- und Hochwert, Höhe, lokale Erosionsbasis) und Angabe der zugehörigen Topographischen (TK) und Geologischen (GK) Karte

Profil	Rechtswert	Hochwert	Höhe (m NN)	lokale Erosionsbasis u. ihre Höhe (m NN)	TK 1:25 000 (jeweils neueste Ausgabe)	GK 1:25 000 oder andere
Al I Altershausen	43 98 975	55 48 150	300	Krumbach 290	5929 Haßfurt (1971)	1:500 000 von Bayern (3. Aufl., 1981)
Al II Altershausen	43 98 800	55 46 175	260	Krumbach 257	5929 Haßfurt (1971)	1:500 000 von Bayern (3. Aufl., 1981)
Bi Binsbach	35 72 675	55 35 550	260	Binsbach 255	6026 Werneck (1982)	1:500 000 von Bayern (3. Aufl., 1981)
D I Dertingen I	35 43 837	55 15 600	225	Hasengraben 205	6223 Wertheim (1963)	1:500 000 von Bayern (3. Aufl., 1981)
D II Dertingen II	35 45 037	55 15 725	245	Tiefenweg 220	6223 Wertheim (1963)	1:500 000 von Bayern (3. Aufl., 1981)
El Elfershausen	35 69 200	55 57 400	205	Deistelbach 195	5825 Hammelburg (1982)	1:100 000 Schweinfurt (510, 1951)
Es Estenfeld	35 72 037	55 22 087	273	Kürnach 230	6126 Dettelbach (1965)	1:500 000 von Bayern (3. Aufl., 1981)
G Gaustadt	44 17 275	55 30 100	272	Regnitz 235	6031 Bamberg Nord (1982)	wie TK (1970)
Go Goßmannsdorf	35 74 820	55 04 820	200	Main 175	6326 Ochsenfurt (1982)	1:500 000 von Bayern (3. Aufl., 1981)
He Helmstadt	35 53 187	55 13 550	305	Lach-Graben 293	6224 Helmstadt (1986)	1:200 000 Frankfurt a.M.-Ost (CC 6318, 1985)
Hö Hösbach	35 15 137	55 41 875	185	Hös-Bach 150	5921 Schöllkrippen (1983)	wie TK (1965)
Ho I Holzkirchhausen I	35 46 050	55 13 100	260	Welzbach 242	6223 Wertheim (1963)	1:500 000 von Bayern (3. Aufl., 1981)
Ho II Holzkirchhausen II	35 46 725	55 13 790	265	Welzbach 252	6223 Wertheim (1963)	1:200 000 Frankfurt a.M.-Ost (CC 6318, 1985)
Kh Kirchheim	35 61 875	55 04 037	320	Moosbach 281	6325 Giebelstadt (1965)	1:200 000 Frankfurt a.M.-Ost (CC 6318, 1985)
Ki Kitzingen	35 81 500	55 11 620	235	Ehrenrieder Bach 220	6226 Kitzingen (1984)	1:500 000 von Bayern (3. Aufl., 1981)
Kr Krautheim	35 92 837	55 27 775	265	Weidenbach 215	6127 Volkach (1983)	wie TK (1983)
La I Laudenbach I	35 55 800	55 34 150	217	Main 160	6024 Karlstadt (1986)	wie TK (Karlstadt/Remlingen 1978)
La II Laudenbach II	35 56 250	55 33 960	195	Main 160	6024 Karlstadt (1986)	wie TK (Karlstadt/Remlingen 1978)
La III Laudenbach III	35 56 437	55 33 850	180	Main 160	6024 Karlstadt (1986)	wie TK (Karlstadt/Remlingen 1978)
Le Lebenhan	35 84 575	55 81 000	291	März-Bach 283	5627 Bad Neustadt a.d.Saale (1983)	1:500 000 von Bayern (3. Aufl., 1981)
Lb Marktbreit	35 83 675	55 04 475	273	Breitbach 190	6326 Ochsenfurt (1982)	1:500 000 von Bayern (3. Aufl., 1981)
Ma Marktheidenfeld	35 42 600	55 23 275	185	Main 143	6123 Marktheidenfeld (1982)	wie TK (1979)
Mü Mühlendorf	44 15 450	55 27 250	303	Aurach 275	6130 Burgebrach (1982)	1:500 000 von Bayern (3. Aufl., 1981)
Ob Obereisenheim	35 84 125	55 28 480	205	Main 195	6127 Volkach (1983)	wie TK (1983)
Re Reckendorf	44 15 850	55 44 250	275	Baunach 245	5930 Ebern (1970)	1:500 000 von Bayern (3. Aufl., 1981)
Rü Rügheim	43 93 325	55 54 000	260	Nassach 240	5829 Hofheim (1971)	wie TK (1976)
Sc Scheßlitz	44 29 850	55 36 875	305	Seierbach 292	6032 Scheßlitz (1986)	wie TK (1972)
Un Untersteinbach	43 96 112	55 29 375	315	Steinbach 305	6129 Burgwindheim (1982)	1:500 000 von Bayern (3. Aufl., 1981)

Tab. 6: Korngrößenanalysen

Proben-Nr.	in % der Feinerde (< 2000 µm)									>2000 in % d. Gesamtprobe
	T < 2	FU 2-6.3	mu 6.3-20	gu 20-63	U gesamt	fs 63-200	mS 200-630	gS 630-2000	S gesamt	
1	-	-	-	-	-	-	-	-	-	-
2	33.1	10.3	18.4	30.0	58.7	5.7	1.2	1.3	8.2	0.9
3	22.9	9.2	22.7	32.3	64.2	11.3	1.1	0.5	12.9	0.0
4	29.9	9.6	21.1	30.7	68.4	6.8	1.2	0.7	8.7	0.1
5	19.8	9.3	24.7	34.4	68.4	10.4	0.9	0.5	11.8	0.0
6	38.1	9.8	17.2	24.7	51.7	6.1	3.3	0.8	10.2	0.0
7	52.5	12.7	15.5	11.2	39.4	4.5	2.6	1.0	8.1	0.0
8	24.8	9.6	22.5	38.5	70.6	2.5	1.1	1.0	4.6	2.2
9	22.7	9.7	24.9	33.3	67.9	8.1	0.7	0.6	9.4	0.0
10	22.4	9.3	24.1	33.1	66.5	9.9	0.8	0.7	7.4	0.0
11	25.1	13.0	24.4	30.1	67.5	5.4	1.3	0.4	11.1	0.0
12	17.4	10.1	29.2	36.0	75.3	6.4	0.4	0.5	7.3	0.7
13	13.7	6.5	26.2	47.4	82.1	3.2	0.3	0.7	4.2	0.0
14	17.2	7.4	26.4	43.2	77.0	4.9	0.4	0.5	5.8	0.0
15	16.0	5.9	18.1	51.5	75.5	7.6	0.3	0.6	8.5	0.0
16	30.3	8.1	20.6	30.8	59.6	8.9	0.9	0.4	10.2	0.0
17	27.8	11.2	23.1	27.6	61.9	9.5	0.7	0.1	10.3	0.0
18	29.9	11.2	23.7	25.8	60.7	8.6	0.4	0.4	9.4	0.2
19	32.9	4.7	21.6	31.5	57.8	7.8	1.1	0.4	9.3	0.0
20	18.5	8.3	11.1	46.7	66.1	14.4	0.7	0.3	15.4	0.1
21	20.4	12.2	22.7	31.0	65.9	11.6	1.4	0.7	13.7	0.1
22	17.9	10.8	26.6	35.2	72.6	7.4	1.0	1.1	9.5	0.3
23	34.1	7.9	19.2	33.7	60.8	2.8	1.2	1.1	5.1	0.1
24	35.5	9.6	21.8	28.5	59.9	3.7	0.8	0.1	4.6	0.0
25	17.4	10.9	28.8	32.1	71.8	7.9	1.5	1.4	10.8	0.7
26	16.2	11.7	28.9	30.3	70.9	10.4	1.5	1.0	12.9	0.1
27	33.1	10.4	22.5	26.4	59.3	6.4	0.7	0.5	7.6	0.5
28	34.7	8.7	20.1	29.0	57.8	5.7	1.5	0.3	7.5	0.0
29	28.4	9.4	19.4	32.6	61.4	8.6	0.9	0.7	10.2	0.4
30	24.5	8.5	21.5	32.7	62.7	9.9	2.4	0.5	12.8	0.2
31	18.8	9.7	22.8	40.7	73.2	5.9	0.8	1.3	8.0	0.2
32	18.5	9.2	29.7	35.5	74.4	5.2	0.9	1.0	7.1	0.3
33	19.4	7.8	24.9	41.0	73.7	4.8	0.9	1.2	6.9	0.4
34	19.6	7.9	29.8	35.8	73.5	5.1	0.8	1.0	6.9	0.3
35	14.2	8.0	30.4	36.8	75.2	8.8	0.9	0.9	10.6	0.0
36	16.1	7.5	26.5	42.0	76.0	6.2	0.7	1.0	7.9	0.0
37	16.0	8.4	27.7	38.4	74.5	8.1	0.8	0.6	9.5	1.1
38	17.0	8.2	27.3	37.6	73.1	8.0	1.0	0.9	9.9	0.8
39	16.1	9.4	26.9	35.2	71.5	10.4	1.0	1.0	12.4	1.1
40	10.4	2.6	11.8	63.3	77.7	9.5	1.9	0.5	11.9	0.0
41	16.8	4.9	17.1	46.5	68.5	12.6	1.6	0.5	14.7	0.0
42	17.4	6.1	19.7	48.4	74.2	6.9	1.1	0.4	8.4	0.0
43	18.7	6.5	20.3	46.8	73.6	6.2	1.2	0.3	7.7	0.0
44	16.3	10.4	21.1	46.8	78.3	4.0	0.9	0.5	5.4	0.0
45	9.6	8.6	12.1	57.7	78.4	6.5	2.9	2.6	12.0	0.3
46	23.0	9.7	21.3	35.1	66.1	9.0	1.3	0.6	10.9	0.3
47	18.4	7.2	21.7	37.9	66.8	9.9	3.4	1.5	14.8	1.1
48	16.1	6.2	20.7	48.4	75.3	7.2	0.8	0.6	8.6	0.0
49	20.7	9.8	24.0	37.6	71.4	6.6	1.2	0.1	8.9	0.0

Proben-Nr.	in % der Feinerde (< 2000 µm)									>2000 in % d. Gesamtprobe
	T < 2	FU 2-6.3	mu 6.3-20	gu 20-63	U gesamt	fs 63-200	mS 200-630	gS 630-2000	S gesamt	
50	11.2	7.5	22.2	51.3	81.0	4.5	2.0	1.3	7.8	0.2
51	26.9	8.0	19.5	41.6	69.1	3.1	0.5	0.4	4.0	0.0
52	27.4	8.6	22.1	35.1	65.8	5.9	0.8	0.1	6.8	0.0
53	36.3	7.2	20.9	31.8	59.9	3.2	0.5	0.1	3.8	0.0
54	40.6	8.3	18.6	29.4	56.3	2.6	0.4	0.1	3.1	0.0
55	12.8	8.0	25.4	48.9	82.3	3.1	1.2	0.6	4.9	0.0
56	32.3	7.0	20.8	34.8	62.6	4.4	0.6	0.1	5.1	0.0
57	32.3	6.0	22.4	32.3	60.7	5.9	0.9	0.2	7.0	0.0
58	16.0	12.9	22.9	36.6	72.4	9.2	1.4	1.0	11.6	0.4
59a	11.0	10.0	27.1	41.2	78.3	6.0	2.1	2.6	10.7	0.9
59b	29.6	5.8	20.4	39.1	65.3	4.8	0.2	0.1	5.1	0.0
60	19.2	13.4	20.5	42.1	76.0	4.5	0.3	0.0	4.8	0.0
61	16.2	7.0	26.3	42.2	75.5	4.7	1.1	2.5	8.3	0.2
62	16.1	6.9	25.5	45.8	78.2	3.3	0.8	1.6	5.7	0.4
63	12.8	6.8	25.3	48.8	80.9	3.7	0.7	1.9	6.3	1.2
64	14.6	6.8	26.8	45.4	79.0	3.9	0.6	1.9	6.4	2.9
65	19.4	9.3	25.4	35.3	70.0	5.2	1.6	3.8	10.6	3.9
66	20.9	9.4	23.7	34.1	67.2	5.2	1.8	4.9	11.9	5.8
67	20.9	11.7	23.5	33.3	68.5	4.9	1.7	4.0	10.6	1.7
68	21.6	12.0	23.5	32.8	68.3	3.7	1.8	4.6	10.1	3.3
69	39.3	8.7	21.2	26.5	56.4	4.0	0.3	0.0	4.3	0.0
70	41.1	9.8	20.7	24.1	54.6	4.0	0.2	0.1	4.3	0.0
71	14.2	11.5	30.1	39.6	81.2	3.0	0.7	0.9	4.6	0.0
72	13.4	11.3	28.8	41.0	81.2	4.0	0.6	0.9	5.5	0.1
73	14.7	11.2	28.9	39.7	79.8	3.6	0.5	1.4	5.5	0.8
74	30.2	9.7	22.1	33.8	65.6	3.2	0.5	0.5	4.2	0.0
75	34.6	11.0	21.0	26.2	58.2	3.6	0.5	3.1	7.2	1.1
76	29.6	11.3	22.4	28.0	61.7	7.0	0.8	0.9	8.7	0.0
77	32.8	9.7	21.0	28.6	59.3	6.5	0.5	0.9	7.9	0.0
78	14.6	13.3	27.9	38.0	79.2	5.3	0.3	0.6	6.2	0.3
79	15.0	13.8	31.3	34.8	79.9	4.4	0.2	0.5	5.1	0.2
80	18.2	13.0	28.3	34.8	76.1	5.1	0.3	0.3	5.7	0.0
81	17.6	14.0	29.6	34.9	78.5	3.4	0.3	0.2	3.9	0.0
82	15.8	13.1	29.0	36.5	78.6	4.8	0.3	0.5	5.6	0.0
83	17.1	10.9	28.8	36.3	76.0	4.7	0.5	1.7	6.9	1.0
84	18.1	11.2	28.4	37.9	77.5	2.8	0.4	1.2	4.4	0.9
85	29.6	8.7	24.2	32.2	65.1	5.2	0.1	0.0	5.3	0.0
86	31.4	6.9	22.0	34.0	62.9	5.2	0.4	0.1	5.7	0.0
87	29.3	8.2	25.1	31.8	65.1	4.9	0.5	0.2	5.6	0.0
88	14.7	12.1	31.6	34.9	78.6	5.3	1.8	0.4	6.7	0.0
89	30.5	11.2	22.0	30.4	63.6	5.0	0.7	0.2	5.9	0.0
90	14.1	10.7	26.1	39.6	76.4	7.6	0.9	1.0	9.5	0.1
91	15.8	11.5	27.0	33.9	72.4	10.1	0.8	0.9	11.8	0.4
92	13.2	11.2	26.3	38.0	75.5	9.9	0.7	0.7	11.3	0.3
93	10.3	10.0	14.7	51.5	76.2	12.1	1.0	0.4	13.5	0.0
94	13.8	10.9	23.7	38.0	72.6	11.8	1.0	0.8	13.6	0.0
95	18.6	8.3	20.7	34.1	63.1	17.2	0.7	0.4	18.3	0.0
96	10.8	7.9	21.7	40.4	70.0	18.2	0.7	0.3	19.2	0.1
97	13.2	8.7	20.4	37.9	67.0	18.7	0.9	0.2	19.8	0.0

Tab. 6: Fortsetzung 1

Proben-Nr.	in % der Feinerde (< 2000 µm)									>2000 in % d. Gesamtprobe
	T < 2	fU 2-6.3	mU 6.3-20	gU 20-63	U gesamt	fS 63-200	mS 200-630	gS 630-2000	S gesamt	
98	12.1	14.7	28.6	34.9	78.2	6.2	1.3	2.2	9.7	1.0
99	18.8	11.8	23.8	34.2	69.8	10.2	0.9	0.3	11.4	0.0
100	16.3	10.7	25.0	32.2	67.9	14.6	0.9	0.3	15.8	0.0
101	13.6	8.4	27.6	39.0	75.0	10.0	0.8	0.6	11.4	0.1
102	19.5	7.8	25.0	38.3	71.1	7.8	0.9	0.7	9.4	0.0
103	36.3	10.3	17.4	18.2	45.9	14.7	2.7	0.4	17.8	0.0
104	37.4	10.4	17.3	20.8	48.5	11.6	2.1	0.4	17.1	0.1
105	34.3	12.6	20.1	18.5	51.2	11.2	2.8	0.5	14.5	0.0
106	29.0	16.3	23.3	20.0	59.6	9.6	1.7	0.1	11.4	0.0
107	23.7	8.9	26.7	29.0	64.6	9.0	1.9	0.8	11.7	0.8
108	23.7	11.6	24.5	24.6	60.7	11.9	2.8	0.9	15.6	0.0
109	18.5	8.0	27.2	32.4	67.6	10.6	2.5	0.8	13.9	0.2
110	24.5	8.6	20.9	30.6	60.3	11.9	2.5	1.0	15.4	0.5
111	35.6	18.7	20.3	20.6	59.6	3.8	0.7	0.3	4.8	0.1
112	20.3	12.7	24.9	30.5	68.1	4.5	1.4	5.7	11.6	1.9
113	20.7	12.6	26.4	27.9	66.9	6.1	1.9	4.4	12.4	0.7
114	31.7	10.2	19.0	27.6	56.8	9.8	1.2	0.5	11.5	0.3
115	22.1	12.9	29.7	30.6	73.2	3.1	0.9	0.7	4.7	0.1
116	29.9	10.1	26.0	27.6	63.7	5.8	0.4	0.2	6.4	0.7
117	38.8	8.3	19.3	27.7	55.3	5.3	0.5	0.1	5.9	0.0
118	32.1	8.8	12.4	18.7	39.9	6.8	18.2	3.0	28.0	0.0
119	35.5	8.2	17.4	21.5	47.1	5.8	9.5	2.1	17.4	0.5
120	38.2	6.6	15.0	24.6	46.2	5.3	9.5	0.8	15.6	0.1
121	29.6	11.3	25.1	28.6	65.0	3.5	1.7	0.2	5.4	0.0
122	33.5	9.1	18.5	17.6	45.2	6.7	9.6	5.0	21.3	0.0
123	33.9	8.8	18.4	15.7	42.9	6.2	11.5	5.5	23.2	0.0
124	22.4	7.4	12.2	11.3	30.9	8.2	23.0	15.5	46.7	0.2
125	69.7	10.3	11.2	3.8	25.3	1.8	2.4	0.8	5.0	0.0
126	22.6	10.6	22.3	27.5	60.4	13.1	2.1	1.8	17.0	1.0
127	24.6	10.1	20.4	25.2	62.7	16.4	1.8	1.5	19.7	1.4
128	17.3	12.3	28.1	28.0	64.4	6.7	2.9	4.7	14.3	4.2
129	40.0	4.0	21.6	24.3	47.0	6.7	2.0	1.4	10.1	0.3
130	17.2	11.8	29.7	31.2	72.7	6.8	2.2	1.1	10.1	0.4
131	38.7	9.6	22.8	23.6	56.0	3.7	1.3	0.3	5.3	0.0
132	32.9	10.6	26.8	23.2	60.6	4.8	1.4	0.3	6.5	0.7
133	30.5	10.0	24.7	26.5	61.2	5.7	2.0	0.6	8.3	0.4
134	26.7	8.2	22.9	28.7	59.8	6.8	5.2	1.5	13.5	0.2
135	26.3	10.6	26.4	27.3	64.3	5.5	3.2	0.7	9.4	0.0
136	38.9	12.9	18.1	19.2	50.2	6.5	3.3	1.1	10.9	0.8
137	16.0	12.4	27.9	32.4	72.7	6.4	3.3	1.6	11.3	0.4
138	32.0	9.7	23.3	29.2	62.2	3.7	1.3	0.8	5.8	0.3
139	31.4	8.1	20.9	31.8	60.8	4.5	2.0	1.3	7.8	0.7
140	27.3	7.3	26.2	35.6	69.1	2.4	1.0	0.2	3.6	0.1
141	29.4	9.2	25.0	28.6	62.8	4.5	2.3	1.0	7.8	0.6
142	37.8	10.4	19.2	23.0	52.6	6.4	2.3	0.9	9.6	0.3
143	31.0	10.2	24.2	24.8	59.2	6.1	2.6	1.1	9.8	0.0
144	17.3	12.5	30.1	30.3	72.9	5.1	2.3	2.4	9.8	1.1
145	40.5	10.1	23.2	20.7	54.0	3.2	1.9	0.4	5.5	0.1
146	26.6	8.3	24.0	34.2	66.5	4.1	2.0	0.8	6.9	0.2

Proben-Nr.	in % der Feinerde (< 2000 µm)									>2000 in % d. Gesamtprobe
	T < 2	fU 2-6.3	mU 6.3-20	gU 20-63	U gesamt	fS 63-200	mS 200-630	gS 630-2000	S gesamt	
147	28.1	10.3	27.6	26.2	64.1	5.0	1.9	0.9	7.8	0.8
148	35.1	10.8	19.1	21.8	51.7	8.1	4.0	1.1	13.2	0.2
149	23.9	11.8	23.7	22.7	58.2	12.8	4.2	0.9	17.9	0.0
150	42.3	10.4	18.7	17.0	46.1	7.7	2.4	1.5	11.6	0.2
151	48.6	9.7	17.6	15.6	42.9	6.6	1.6	0.3	8.5	0.0
152	31.4	12.8	22.6	20.0	55.4	8.4	4.0	0.8	13.2	0.1
153	36.9	10.8	20.0	20.9	51.7	7.7	3.1	0.6	11.4	0.0
154	23.2	11.0	23.2	27.3	61.5	9.9	3.6	1.8	15.3	0.6
155	53.9	8.5	15.1	14.0	37.6	6.1	1.7	0.7	8.5	0.5
156	30.4	8.5	20.3	34.1	62.9	4.4	1.8	0.5	6.7	0.0
157	19.9	7.4	23.0	40.9	71.3	7.2	1.2	0.4	8.8	0.1
158	21.3	6.8	18.3	40.9	66.0	9.8	2.3	0.6	12.7	0.0
159	16.2	7.3	23.0	48.2	78.5	3.8	0.9	0.6	5.3	0.1
160	22.3	10.2	26.4	33.9	70.5	4.5	1.6	1.1	7.2	0.1
161	19.8	10.3	25.8	38.3	74.4	4.2	1.2	0.4	5.8	0.1
162	23.5	13.5	26.5	31.4	71.4	3.3	1.3	0.5	5.1	0.1
163	24.8	14.0	25.7	27.7	67.4	5.1	1.9	0.8	7.8	0.6
164	21.6	14.8	25.0	31.6	71.4	5.0	1.6	0.4	7.0	0.0
165	16.9	12.1	25.9	36.4	74.4	7.7	0.8	0.2	8.7	0.0
166	33.4	7.4	20.7	31.5	59.6	5.6	1.2	0.2	7.0	0.1
167	26.8	8.6	22.1	33.6	64.3	7.1	1.5	0.3	8.9	0.0
168										
169										
170	33.5	8.4	18.9	25.9	53.2	7.2	4.2	1.9	13.3	0.7
171	33.6	8.0	18.9	25.3	52.2	7.4	4.6	2.2	14.2	0.2
172	31.8	7.9	20.3	29.2	57.4	5.8	3.2	1.8	10.8	0.7
173	17.6	9.0	22.6	28.3	59.9	9.3	9.5	3.7	22.5	0.5
174	15.0	9.3	23.1	31.1	63.5	8.6	8.4	4.5	21.5	1.9
175	39.1	8.5	21.6	23.6	53.7	3.8	1.9	1.5	7.2	2.1
176	40.5	6.3	17.8	25.8	49.9	6.5	2.1	1.0	9.6	0.1
177	36.9	5.6	19.7	25.6	50.9	7.2	3.1	1.9	12.2	0.0
178	34.8	6.4	13.7	24.9	45.0	8.8	6.7	4.7	20.2	0.6
179	31.6	6.7	18.9	32.1	57.7	5.7	6.1	1.9	10.7	0.3
180	29.1	6.8	16.9	29.4	53.1	6.7	6.7	4.4	17.8	0.4
181	28.9	5.9	17.3	24.5	47.7	7.1	8.1	8.2	23.4	0.6
182	28.0	6.6	22.4	25.6	54.6	6.9	5.8	4.7	17.4	0.4
183	28.4	7.7	20.4	26.6	54.7	6.6	5.5	4.8	16.9	0.4
184	30.1	7.3	18.7	28.7	54.7	6.3	5.0	3.9	15.2	0.6
185	28.5	6.8	16.1	24.1	47.0	7.2	10.6	6.7	24.5	0.0
186	25.3	6.2	15.3	26.2	47.7	7.3	11.1	8.6	27.0	0.7
187	24.3	5.9	16.8	26.7	49.4	7.7	11.9	6.7	26.3	0.7
188	24.5	6.3	17.5	30.4	54.2	6.8	8.3	6.2	21.3	0.3
189	26.4	6.2	16.8	28.0	51.0	6.7	9.1	6.8	22.6	0.9
190	45.3	9.2	18.8	17.2	45.2	5.3	3.2	1.0	9.5	0.0
191	34.4	9.4	21.7	25.4	56.5	6.4	2.0	0.7	9.1	0.1
192	33.6	8.1	21.1	25.8	55.0	5.7	4.2	1.5	11.4	0.6
193	36.8	8.0	18.9	23.7	50.6	5.1	5.4	2.1	12.6	0.1
194	36.2	8.6	19.5	21.7	49.8	6.4	5.4	2.2	14.0	0.0
195	33.8	7.9	19.3	26.8	54.0	5.6	4.6	2.0	12.2	0.2

Tab. 6: Fortsetzung 2

Proben-Nr.	in % der Feinerde (< 2000 µm)									>2000 in % d. Gesamtprobe
	T < 2	fU 2-6.3	mU 6.3-20	gU 20-63	U gesamt	fS 63-200	mS 200-630	gS 630-2000	S gesamt	
196	31.7	7.6	20.4	30.1	58.1	5.6	2.7	1.9	10.2	0.5
197	30.3	7.7	20.5	31.8	60.0	5.9	2.8	1.0	9.7	0.0
198	31.2	4.7	25.1	28.4	58.2	5.1	4.5	1.0	10.6	0.0
199	26.7	8.6	22.0	29.9	60.5	5.8	5.3	1.7	12.8	0.0
200	19.4	8.6	22.9	34.1	65.6	7.0	6.0	2.0	15.0	0.1
201	15.6	9.6	24.0	34.1	67.7	6.4	5.6	4.7	16.7	1.2
202	41.2	7.3	17.0	25.2	49.5	5.4	2.9	1.0	9.3	0.3
203	35.9	8.3	24.3	24.6	57.1	5.2	1.3	0.5	6.9	0.0
204	18.3	8.3	29.7	32.0	70.0	7.9	1.9	1.9	11.7	0.0
205	20.8	5.3	18.1	47.5	70.9	7.5	0.6	0.2	8.3	0.0
206	20.6	4.9	17.8	47.3	70.0	9.0	0.3	0.1	9.4	0.1
207	11.5	4.0	21.5	55.2	80.7	7.4	0.3	0.1	7.8	0.0
208	11.1	5.6	21.8	47.6	75.0	13.3	0.4	0.2	13.9	0.0
209	11.6	7.0	22.7	44.0	73.7	13.8	0.6	0.3	14.7	0.0
210	10.5	7.3	22.2	48.6	78.1	10.9	0.3	0.2	11.4	0.0
211	11.1	6.2	21.1	48.5	75.8	12.8	0.2	0.1	13.1	0.0
212	10.2	5.6	20.8	55.8	82.2	7.1	0.4	0.1	7.6	0.0
213	9.7	6.7	24.2	51.8	82.7	7.4	0.1	0.1	7.6	0.0
214	11.9	7.4	24.1	49.8	81.3	6.2	0.3	0.3	6.8	0.0
215	12.7	10.7	24.1	43.1	77.9	9.0	0.3	0.1	9.4	0.2
216	16.1	11.8	20.0	44.4	76.2	7.2	0.4	0.1	7.7	0.0
217	15.2	8.8	20.9	46.0	75.7	8.1	0.8	0.2	9.1	0.0
218	9.1	6.8	20.0	51.4	78.2	12.2	0.4	0.1	12.7	0.0
219	9.0	6.7	21.2	49.5	77.4	12.9	0.5	0.2	13.6	0.0
220	7.6	6.6	21.5	50.6	78.7	13.2	0.4	0.1	13.7	0.0
221	16.9	6.3	23.6	42.4	72.3	9.2	1.2	0.4	10.8	0.0
222	22.1	7.8	19.4	41.7	68.9	7.3	1.3	0.4	9.0	0.0
223	25.8	9.3	18.7	40.1	68.1	5.1	0.8	0.2	6.1	0.1
224	21.8	8.8	19.8	41.7	70.3	6.7	0.8	0.4	7.9	0.0
225	20.5	9.0	21.3	40.6	70.9	7.2	1.1	0.3	8.6	1.0
226	17.6	11.3	21.9	40.7	73.9	7.1	0.9	0.5	8.5	0.5
227	21.5	10.7	20.2	37.1	68.0	9.6	0.8	0.1	10.5	0.0
228	19.4	9.3	19.2	41.7	70.2	9.7	0.6	0.1	10.4	0.0
229	17.9	8.3	18.8	45.0	72.1	9.3	0.5	0.2	10.0	0.0
230	15.2	8.3	21.0	46.9	76.2	8.0	0.5	0.1	8.6	0.0
231	11.5	7.5	22.7	50.2	80.4	7.6	0.4	0.1	8.1	0.0
232	11.7	7.4	21.2	52.6	81.2	6.8	0.2	0.1	7.1	0.0
233	20.3	8.6	23.4	42.1	74.1	4.9	0.6	0.1	5.6	0.0
234	18.3	8.6	21.7	47.4	77.7	3.3	0.6	0.1	4.0	0.8
235	13.5	8.6	23.5	46.0	78.1	6.3	1.5	0.6	8.4	0.1
236	12.4	9.9	22.8	45.6	78.3	6.1	1.8	1.8	9.7	0.1
237	25.8	7.4	20.8	43.3	71.5	2.3	0.3	0.1	2.7	0.0
238	20.7	7.9	21.9	44.6	74.4	3.4	1.3	0.2	4.9	0.0
239	22.8	8.8	21.0	41.2	71.0	5.5	0.5	0.2	6.2	0.0
240	14.0	8.6	19.4	47.0	75.0	7.5	2.8	0.7	11.0	0.1
241	13.3	6.2	15.1	38.8	60.1	16.4	9.3	0.9	25.6	0.0
242	11.4	6.5	13.7	45.6	65.8	15.7	6.4	0.6	22.7	0.0
243	15.0	6.9	19.1	43.8	69.8	13.0	2.0	0.2	15.2	0.0
244	15.7	7.2	17.2	44.9	69.3	13.6	1.3	0.1	15.0	0.0

Proben-Nr.	in % der Feinerde (< 2000 µm)									>2000 in % d. Gesamtprobe
	T < 2	fU 2-6.3	mU 6.3-20	gU 20-63	U gesamt	fS 63-200	mS 200-630	gS 630-2000	S gesamt	
245	18.1	8.8	20.3	35.8	64.9	8.7	7.5	0.8	17.0	0.0
246	28.5	8.2	18.3	27.9	54.4	13.5	3.1	0.5	17.1	8.2
247	34.7	7.0	18.2	23.6	48.8	12.6	3.4	0.5	16.5	0.1
248	25.0	6.6	16.1	36.3	59.0	12.1	2.0	1.9	16.0	0.9
249	22.7	6.6	15.2	39.0	60.8	13.5	1.8	1.2	16.5	1.4
250	16.4	7.4	23.8	31.3	62.5	13.8	6.6	0.7	21.1	0.5
251	16.1	7.3	19.7	32.6	59.6	16.0	7.3	1.0	24.3	0.7
252	42.0	6.5	16.0	22.3	44.8	11.7	1.4	0.1	13.2	0.0
253	27.8	11.8	21.0	22.8	55.6	12.7	3.3	0.6	16.6	0.0
254	53.4	8.8	11.5	14.9	35.2	8.3	2.8	0.3	11.4	0.0
255	22.2	8.2	19.8	32.3	60.3	15.0	1.7	0.8	17.5	0.0
256	32.7	7.7	16.4	23.5	47.6	18.2	1.3	0.2	19.7	0.0
257	42.3	6.8	15.1	21.4	43.3	13.0	1.2	0.2	14.4	0.0
258	21.5	7.8	18.8	29.5	56.1	15.0	5.6	1.8	22.4	1.1
259	19.1	7.3	16.2	24.4	47.9	29.1	2.6	1.3	33.0	0.8
260	11.6	5.1	13.3	23.1	41.5	22.0	2.1	1.8	46.9	0.0
261	14.5	6.9	20.5	44.9	72.3	7.7	5.0	0.5	13.2	0.0
262	13.2	5.6	23.4	48.3	77.3	5.8	3.4	0.3	9.5	0.1
263	12.3	6.6	24.7	48.0	79.3	6.4	1.1	0.9	8.4	0.6
264	15.0	9.8	26.0	38.0	73.8	6.0	3.7	1.5	11.2	0.6
265	16.5	7.7	22.6	38.5	68.8	14.2	0.1	0.4	14.7	0.0
266	21.8	9.2	22.5	33.0	64.7	6.7	6.5	0.3	13.5	0.1
267	20.3	10.3	22.1	32.8	65.2	6.9	7.0	0.6	14.5	0.3
268	18.3	10.3	21.4	32.7	64.4	8.8	7.6	0.9	17.3	0.0
269	14.9	8.8	21.7	33.9	64.4	12.3	7.6	0.8	20.7	0.2
270	11.9	7.6	22.9	38.3	68.8	13.7	5.2	0.4	19.3	0.0
271	11.5	9.1	23.3	36.4	68.8	14.9	4.2	0.6	19.7	0.1
272	15.0	7.8	23.5	36.0	67.3	9.2	7.3	1.2	17.7	0.3
273	17.2	7.9	22.1	31.3	61.3	6.5	13.1	1.9	21.5	0.4
274	10.8	7.7	17.9	26.8	52.4	5.4	28.9	2.5	36.8	0.0
275	9.6	5.0	14.1	22.3	41.4	6.1	38.3	4.6	49.0	0.5
276	20.7	3.6	8.4	16.1	28.1	5.2	42.3	3.7	51.2	0.0
277	24.0	7.0	19.1	38.6	64.7	6.7	4.5	0.1	11.3	0.0
278	19.3	5.8	18.0	39.2	63.0	7.4	9.4	0.9	17.7	0.0
279	16.0	6.5	31.8	43.1	81.4	2.1	0.3	0.2	2.6	0.0
280	42.7	7.9	14.7	21.6	44.2	8.5	2.5	2.1	13.1	0.4
281	29.6	8.0	19.8	25.5	53.3	4.9	5.8	6.4	17.1	2.1
282	25.7	9.6	24.9	31.9	66.4	3.7	2.9	1.3	7.9	0.1
283	15.0	10.0	26.1	37.8	73.9	3.7	3.3	4.1	11.1	0.3
284	39.8	10.0	21.4	24.2	55.6	2.9	1.0	0.7	4.6	0.2
285	37.1	9.7	23.5	25.4	58.6	3.0	0.9	0.4	4.3	0.1
286	15.7	9.3	18.5	29.7	57.5	17.7	5.5	3.6	26.8	8.8
287	46.3	10.2	13.8	17.1	41.1	8.3	2.1	2.2	12.6	6.1
288	37.9	9.3	17.8	22.7	49.8	10.5	1.4	0.4	12.3	0.0
289	45.0	7.6	14.8	19.5	41.9	10.5	1.7	0.9	13.1	0.2
290	34.5	7.4	17.1	26.2	50.7	13.0	1.4	0.4	14.8	0.2
291	37.5	8.3	13.9	24.6	46.8	13.6	1.7	0.9	15.7	1.8
292	27.7	11.5	25.2	25.3	62.0	7.3	2.8	0.2	10.3	0.0

Tab. 6: Fortsetzung 3

Proben-Nr.	in % der Feinerde (< 2000 µm)										>2000 in % d. Gesamtprobe
	T < 2	fU 2-6.3	mU 6.3-20	gU 20-63	U gesamt	fS 63-200	mS 200-630	gS 630-2000	S gesamt		
293	29.0	10.5	22.6	28.4	61.5	6.6	2.7	0.2	9.5	0.0	
294	24.9	10.3	21.0	26.5	57.8	11.3	5.6	0.4	17.3	0.0	
295	30.1	7.8	17.5	22.7	48.0	12.4	8.7	0.8	21.9	0.0	
296	30.7	10.0	21.6	23.9	55.5	9.5	4.1	0.2	13.8	0.1	
297	22.2	10.4	21.9	22.4	54.7	19.4	9.1	0.6	23.1	0.1	
298	40.7	6.3	15.2	20.5	41.9	12.2	4.7	0.4	17.4	0.3	
299	24.6	10.9	24.3	34.9	70.1	4.1	0.9	0.3	5.3	0.0	
300	20.0	10.4	26.1	36.9	73.4	5.3	0.7	0.6	6.6	0.0	
301	24.7	9.9	25.9	35.5	71.3	3.5	0.2	0.3	4.0	2.2	
302	23.9	9.7	26.2	32.8	68.7	5.5	0.7	1.2	7.4	0.0	
303	41.9	9.3	20.1	22.0	51.4	4.4	0.7	1.6	6.7	0.5	
304	17.7	11.1	28.3	34.6	74.0	7.1	0.7	0.5	8.3	0.4	
305	15.4	9.3	28.0	39.1	76.4	0.5	7.3	0.4	8.2	1.5	
306	17.9	10.8	28.4	33.9	73.1	6.0	1.3	1.7	9.0	0.5	
307	16.8	16.0	29.6	33.3	78.9	3.3	0.5	0.5	4.3	0.0	
308	16.5	9.6	28.9	40.4	79.0	2.7	0.7	1.1	4.5	0.1	
309	18.1	12.0	26.4	36.8	75.2	6.0	0.4	0.3	6.7	0.0	
310	26.6	11.5	24.5	32.8	68.8	2.7	0.7	1.2	4.6	0.7	
311	22.7	11.0	29.6	31.6	72.2	4.1	0.7	0.3	5.1	0.3	
312	15.0	10.0	25.3	41.6	76.9	4.3	1.4	2.4	8.1	0.6	
313	11.9	9.6	29.9	39.8	79.3	6.3	1.3	1.2	8.8	0.3	
314	11.3	8.4	25.0	47.6	81.0	5.0	1.5	1.2	7.7	0.4	
315	42.6	8.3	16.6	28.4	53.3	3.1	0.7	0.3	4.1	0.7	
316	21.2	10.4	27.3	35.8	73.5	4.0	0.6	0.7	5.3	0.4	
317	20.7	9.7	31.9	32.1	73.7	4.2	0.6	0.8	5.6	1.4	
318	18.3	9.0	25.3	39.9	74.2	5.3	0.8	1.4	7.5	0.3	
319	16.9	9.3	23.7	43.0	76.0	5.2	0.6	1.3	7.1	0.9	
320	14.8	9.2	25.4	41.9	76.5	6.2	0.9	1.6	8.7	0.3	
321	15.0	9.2	28.1	41.2	78.5	5.8	0.3	0.4	6.5	1.7	
322	13.4	8.6	28.6	41.6	78.8	7.1	0.3	0.4	7.8	0.3	
323	12.4	8.4	30.5	44.4	83.3	3.9	0.1	0.3	4.3	2.3	
324	14.2	10.2	30.6	39.3	80.1	5.0	0.2	0.5	5.7	0.3	
325	14.4	11.7	29.2	37.8	78.7	5.2	1.4	0.3	6.9	0.1	
326	14.7	14.8	32.5	31.9	79.2	5.3	0.3	0.5	6.1	0.4	
327	18.6	13.6	31.0	31.7	76.3	4.2	0.6	0.3	5.1	0.0	
328	20.4	11.1	28.5	35.0	74.6	3.5	1.2	0.3	5.0	0.0	
329	23.6	10.1	26.8	35.3	72.2	3.8	0.3	0.1	4.2	0.0	
330	33.3	11.4	24.3	25.1	60.7	4.8	0.8	0.4	6.0	0.1	
331	34.4	12.2	23.9	23.9	60.0	4.0	0.9	0.7	5.6	1.7	
332	31.4	12.8	26.4	26.4	65.6	1.9	0.6	0.5	3.0	0.0	
333	26.3	12.5	25.6	27.5	65.6	2.8	1.0	4.3	8.1	1.3	
334	41.7	10.8	26.8	15.7	53.3	2.3	0.3	2.4	5.0	6.7	
335	42.1	11.0	21.2	21.9	54.1	3.1	0.4	0.3	3.8	0.0	
336	35.3	11.6	24.9	24.6	61.1	2.3	0.5	0.8	3.6	0.0	
337	32.9	10.3	24.2	28.3	62.8	3.3	0.5	0.5	4.3	0.1	
338	49.9	11.7	12.7	15.6	40.0	2.7	2.1	5.3	10.1	4.9	
339	53.1	10.8	14.2	11.9	36.9	2.5	2.2	5.3	10.0	2.9	
340	27.8	13.6	25.9	28.4	67.9	2.3	0.4	1.6	4.3	2.9	
341	42.2	9.2	18.5	26.8	54.5	2.4	0.3	0.6	3.3	0.3	
342	38.6	8.5	19.8	28.1	56.4	2.8	1.0	1.2	5.0	0.5	

Proben-Nr.	in % der Feinerde (< 2000 µm)										>2000 in % d. Gesamtprobe
	T < 2	fU 2-6.3	mU 6.3-20	gU 20-63	U gesamt	fS 63-200	mS 200-630	gS 630-2000	S gesamt		
343	42.2	12.1	17.8	19.8	49.7	3.3	1.7	3.4	8.1	8.4	
344	36.6	8.1	21.0	30.2	59.3	3.7	0.2	0.2	4.1	0.0	
345	33.6	14.0	27.1	24.1	65.2	0.8	0.0	0.4	1.2	50.0	
346	36.7	13.8	18.6	26.7	59.1	3.9	0.1	0.2	4.2	7.6	
347	30.8	11.0	19.7	33.6	64.3	3.7	0.6	0.6	4.9	0.1	
348	26.3	9.0	21.7	38.2	68.9	3.8	0.5	0.5	4.8	0.4	
349	27.0	14.3	25.7	19.8	59.8	5.7	2.1	5.4	13.2	11.5	
350	22.5	6.9	23.0	43.3	73.2	3.7	0.3	0.3	4.3	0.1	
351	24.5	16.4	28.2	23.0	67.6	4.2	0.9	2.8	7.9	29.3	
352	64.0	12.3	10.9	6.9	30.1	4.8	0.7	0.4	5.9	4.0	
353	54.7	18.9	11.9	7.0	37.8	4.7	1.5	1.3	7.5	2.2	
354-364	keine Korngrößenanalysen										
365	6.9	2.9	11.4	37.4	51.7	18.2	21.1	2.1	41.4	0.0	
366	9.3	3.8	11.0	28.3	43.1	16.4	29.2	2.0	47.6	0.7	
367	7.4	4.7	13.2	36.9	54.8	14.4	21.6	1.8	37.8	0.2	
368	8.9	3.4	14.6	39.5	57.5	16.2	16.3	1.0	33.6	0.2	
369	3.0	1.0	0.6	2.2	3.8	6.5	81.2	5.5	93.2	0.0	
370	9.4	4.6	12.2	23.0	39.8	15.0	33.8	2.0	50.8	0.2	
371	7.5	3.8	10.9	24.1	38.8	12.8	38.0	2.9	53.7	0.2	
372	3.4	0.1	2.1	5.1	7.3	13.0	72.7	3.6	89.3	0.3	
373-377	keine Sedimentproben										
378	13.9	9.1	28.3	39.5	76.9	8.0	0.6	0.6	9.2	0.2	
379	15.3	12.7	29.0	33.0	74.7	8.5	8.0	0.7	10.0	0.0	
380	12.2	10.4	29.3	35.1	74.8	11.4	1.0	0.6	13.0	0.1	
381	12.5	10.0	26.9	38.2	75.1	10.9	0.9	0.6	12.4	0.1	
382	18.3	14.3	25.3	34.1	73.7	5.2	1.5	1.3	8.0	0.1	
383	24.6	12.3	25.0	31.3	69.6	2.8	1.3	1.7	5.8	0.5	
384	26.4	10.7	25.6	32.0	68.3	2.8	1.5	1.0	5.3	0.2	
385	20.8	10.5	27.5	32.5	70.5	6.3	1.4	1.0	8.7	0.0	
386	20.2	9.5	23.7	37.9	71.1	7.3	1.0	0.4	8.7	0.0	
387	23.8	10.0	23.3	35.0	68.3	4.7	2.9	0.3	7.9	0.0	
388	24.4	9.6	23.0	35.7	68.3	6.0	1.0	0.3	7.3	0.1	
389	24.1	9.0	23.6	35.7	68.3	6.2	1.0	0.4	7.6	0.2	
390	23.9	9.5	23.5	35.8	68.8	5.9	1.1	0.3	7.3	0.6	
391	25.3	8.7	24.2	35.4	68.3	5.4	0.8	0.2	6.4	0.0	
392	20.4	7.5	23.3	43.1	73.9	3.8	1.5	0.4	5.7	0.1	
393	40.0	7.7	18.3	29.4	55.4	4.2	0.4	0.0	4.6	0.0	
394	20.2	9.9	26.0	38.2	74.1	4.0	0.8	0.9	5.7	0.1	

Tab. 7: Schwermineralanalysen

Probe	INSTABILE				STABILE				VULK: SM			R E S T							1:5
	Ep.	Ho.	Gr.	Ges.	Zi.	Ru.	Tu.	Ges.	Kl.	Ti.	Ges.	A.	An.	Di.	Si.	Sp.	St.	Ges.	
8	26	14	12	52	16	5	18	39	6	1	7			1	1		2	45	1.3
16	20	16	5	41	22	21	15	58								1	1	52	0.7
17	22	13	5	40	20	17	23	60										52	0.7
18	17	19	3	39	23	7	28	58							1	2	3	38	0.7
20	20	40	11	71	12	5	10	27			2							27	2.6
22	25	50	8	83	7	1	6	14			1	1						30	5.9
35	26	48	6	80	7	4	7	18				1		1				32	4.4
56	28	23	2	53	15	4	2	47										34	1.1
58	10	10	2	22	24	10	38	72			5							34	0.3
59a	27	12	2	41	12	5	11	28			27	4	31					35	1.5
64	26	32	7	65	7		19	26			6	2	8	1				35	2.5
66	36	30	3	69	8	2	11	21			10							31	3.3
68	15	12	11	38	26	4	9	39			20	3	23					29	1.0
72	37	12	3	52	18	7	17	42			6							38	1.2
73	40	7	3	50	14	8	20	42			7							44	1.2
76	46	9	6	62	17	6	13	36			2							42	1.7
78	44	20	6	70	13	1	13	27			2							26	2.6
82	30	36	11	77	12		9	21			2							42	3.7
90	37	7	8	52	18	8	15	41			7							44	1.3
91	35	13	4	52	13	6	20	39			8	1	9					39	1.3
93	35	35	5	75	6	5	9	20			3		3					41	3.7
97	26	25	9	60	23	9	6	38			2		1	2				43	1.6
104	12	11	10	33	21	7	39	67			1	1	2					41	0.5
105	25	15	8	48	27	8	12	47										53	0.5
107	15	5	11	31	38	16	15	69							5			50	0.4
109	14	19	10	43	22	10	23	55										46	0.8
112	13	4	2	19	29	9	35	73			8							46	0.3
113	23	22	3	48	14	6	28	48			3	1	4					44	1.0
114	18	8	2	28	25	9	30	64										44	0.4
115	26	29	6	61	13	2	17	37						1	7			48	0.4
122	11	1	12	49	11	28	88											47	1.9
141	5	6	11	29	7	48	84				3	2	5					52	0.1
143	6	4	10	33	16	40	89				1							57	0.1
144	9	2	1	12	27	11	41	79			9							46	0.2
146	4		4	44	6	46	96											58	0.0
147	16	12	7	35	23	5	26	54			8	3	11					45	0.6
159	24	25	17	66	15	5	12	32										39	2.1
165	28	33	8	69	6	4	19	29										38	2.4
167	28	23	12	63	18	8	10	36			1							35	1.7
172	26	8	9	43	29	14	14	57										51	0.8
174	13	2	11	26	37	19	17	73										51	0.4
179	29	23	6	58	7	7	28	42										46	1.4
192	18	6	12	36	34	12	18	64										51	0.6
197	41	14	5	60	16	7	17	40										39	1.5
198	29	5	12	46	30	11	13	54										44	0.9
200	20	4	4	28	47	10	14	71										51	0.4
207	16	37	8	61	5	2	17	24										15	15
213	12	43	7	62	7	3	16	26										12	12
217	16	32	7	55	8	6	12	26										19	19
218	17	46	9	72	2	1	8	11										17	28
220	14	45	6	65	10	5	14	29										1	2
222	9	9	2	20	15	5	21	41			1							38	38

Tab. 8: Gesamtcarbonat-, Dolomit und Calcit-Gehalte in % der Feinerde (< 2000 µm) und das Verhältnis von Dolomit zu Calcit in % des Gesamtcarbonates

Probe	Carb. %	Do. %	Ca. %	Do. : Ca. in % d. Carb.
1	0.1			
2	4.2			
3	18.0	2.7	15.3	15 : 85
4	14.2	3.0	11.2	21 : 79
5	18.1	4.2	13.9	23 : 77
6	1.5			
7	1.8			
8	2.6			
9	16.9	4.2	12.7	25 : 75
10	15.7	3.6	12.1	23 : 77
11	9.4	0.6	8.8	6 : 94
12	18.4	7.9	10.5	43 : 57
13	17.6	6.2	11.4	35 : 65
14	18.3	8.1	10.2	44 : 56
15	20.6	10.5	10.1	51 : 49
16	2.0			
17	2.2			
18	1.2			
19	8.0	0.9	7.1	11 : 89
20	21.3	6.6	14.7	31 : 69
21	15.6	1.7	13.9	11 : 89
22	17.0	5.8	11.2	34 : 66
23	1.9			
24	1.4			
25	19.1	7.8	11.3	41 : 59
26	23.1	4.2	18.9	18 : 82
27	3.1			
28	5.3			
29	19.5	2.9	16.6	15 : 85
30	22.6	2.9	19.7	13 : 87
31	15.7	5.8	9.9	37 : 63
32	17.1	8.9	8.2	52 : 48
33	16.4	10.0	6.4	61 : 39
34	18.9	13.8	5.1	73 : 27
35	19.8	8.7	11.1	44 : 56
36	21.0	9.7	11.4	46 : 54
37	21.0	11.3	9.7	54 : 46
38	18.5	8.7	9.8	47 : 53
39	22.2	10.9	11.3	49 : 51
40	1.8			
41	1.2			
42	1.0			
43	1.5			
44	1.7			
45	2.2			
46	2.4			
47	2.8			
48	1.5			
49	1.7			
50	1.6			

Probe	Carb. %	Do. %	Ca. %	Do. : Ca. in % d. Carb.
51	1.4			
52	1.4			
53	1.4			
54	1.5			
55	1.4			
56	1.5			
57	1.6			
58	2.6			
59a	3.1			
59b	1.8			
60	1.0			
61	19.1	5.3	13.8	28 : 72
62	6.2	2.2	4.0	35 : 65
63	13.4	0.4	13.0	3 : 97
64	16.3	2.4	13.9	15 : 85
65	14.7	2.8	11.9	19 : 81
66	10.4	0.8	9.6	8 : 92
67	10.3	0.4	9.9	4 : 96
68	17.3	0.7	16.6	4 : 96
69	1.7			
70	2.3			
71	2.0			
72	2.0			
73	2.8			
74	2.5			
75	2.5			
76	1.9			
77	2.5			
78	3.8			
79	5.8	2.8	3.0	49 : 51
80	2.6			
81	2.9			
82	4.6			
83	14.2	4.1	10.1	29 : 71
84	12.0	1.7	10.3	14 : 86
85	2.1			
86	1.5			
87	1.8			
88	2.0			
89	2.2			
90	2.4			
91	5.2	1.5	3.7	29 : 71
92	10.6	3.8	6.8	36 : 64
93	20.0	8.4	11.6	42 : 58
94	13.3	2.4	10.9	18 : 82
95	9.9	2.8	7.1	28 : 72
96	14.3	5.9	8.4	41 : 59
97	12.7	3.9	8.8	31 : 69
98	8.4	3.9	4.5	46 : 54
99	8.7	3.6	5.1	41 : 59
100	10.9	4.1	6.8	38 : 62

Probe	Carb. %	Do. %	Ca. %	Do. : Ca. in % d. Carb.
101	20.6	7.0	13.6	34 : 66
102	16.7	3.3	13.4	20 : 80
103	2.2			
104	1.0			
105	1.1			
106	1.5			
107	9.3	6.0	3.3	64 : 36
108	6.1	4.6	1.5	75 : 25
109	9.1	4.9	4.2	54 : 46
110	1.6			
111	2.0			
112	1.9			
113	2.1			
114	2.1			
115	8.8	3.8	5.0	43 : 57
116	8.8	3.3	5.5	38 : 62
117	1.9			
118	1.6			
119	3.2			
120	2.0			
121	2.1			
122	0.9			
123	1.3			
124	1.9			
125	2.1			
126	0.5			
127	0.9			
128	0.2			
129	0.4			
130	0.6			
131	0.3			
132	0.5			
133	0.3			
134	0.7			
135	0.6			
136	0.0			
137	0.3			
138	0.3			
139	0.4			
140	0.3			
141	0.2			
142	1.2			
143	0.6			
144	0.5			
145	0.5			
146	0.3			
147	0.2			
148	0.2			
149	0.2			
150	0.2			

Probe	Carb. %	Do. %	Ca. %	Do. : Ca. in % d. Carb.
151	0.5			
152	0.1			
153	0.1			
154	0.2			
155	0.1			
156	2.9	1.1	1.8	39 : 61
157	20.5	7.6	12.9	37 : 63
158	13.5	8.1	5.4	60 : 40
159	16.6	7.0	9.6	42 : 58
160	21.6	9.1	12.5	42 : 58
161	15.4	6.8	8.6	44 : 56
162	7.4	2.6	4.8	35 : 65
163	2.3			
164	2.3			
165	14.9	3.6	11.3	24 : 76
166	2.6			
167	2.5			
168	-			
169	-			
170	1.0			
171	1.3			
172	0.4			
173	0.6			
174	0.6			
175	0.7			
176	0.8			
177	0.9			
178	1.1			
179	0.2			
180	0.7			
181	0.8			
182	1.4			
183	0.1			
184	1.2			
185	1.0			
186	1.1			
187	0.5			
188	0.8			
189	0.7			
190	0.8			
191	0.8			
192	0.8			
193	0.8			
194	0.7			
195	1.5			
196	1.5			
197	0.7			
198	0.8			
199	0.7			
200	0.3			

Tab. 8: Fortsetzung

Probe	Carb. %	Do. %	Ca. %	Do. : Ca. in % d. Carb.
201	0.7			
202	1.2			
203	9.4	2.4	7.0	25 : 75
204	37.7	10.6	27.1	28 : 72
205	0.2			
206	0.0			
207	16.8	3.2	13.6	19 : 81
208	19.0	7.2	11.8	38 : 62
209	19.9	8.8	11.1	44 : 56
210	18.6	7.1	11.5	38 : 62
211	17.4	4.5	12.9	26 : 74
212	20.0	6.0	14.0	30 : 70
213	21.7	5.0	16.7	23 : 77
214	16.6	6.6	10.0	40 : 60
215	6.6	4.0	2.6	60 : 40
216	1.3			
217	1.0			
218	13.0	3.9	9.1	30 : 70
219	17.1	5.1	12.0	30 : 70
220	18.3	5.3	13.0	29 : 71
221	11.8	2.0	9.8	17 : 83
222	1.5			
223	1.7			
224	1.2			
225	1.5			
226	1.5			
227	1.4			
228	0.9			
229	1.0			
230	1.5			
231	1.4			
232	1.1			
233	1.0			
234	0.7			
235	0.6			
236	1.2			
237	1.0			
238	0.9			
239	0.7			
240	1.0			
241	1.3			
242	1.2	1.2		100 : 1
243	1.1			
244	1.3			
245	1.3			
246	4.9		4.9	0 : 100
247	2.8			
248	3.1			
249	2.3			
250	0.7			

Probe	Carb. %	Do. %	Ca. %	Do. : Ca. in % d. Carb.
251	0.7			
252	0.0			
253	0.1			
254	0.1			
255	0.3			
256	0.2			
257	0.7			
258	2.8			
259	7.2	1.0	6.2	14 : 86
260	9.9	4.9	5.0	49 : 51
261	13.5	3.0	10.5	22 : 78
262	15.7	4.7	11.0	30 : 70
263	19.8	6.5	13.3	33 : 67
264	20.5	7.8	12.7	38 : 62
265	14.7	3.2	11.5	22 : 78
266	5.5	1.9	3.6	35 : 65
267	5.2	1.5	3.7	29 : 71
268	5.8	0.0	5.8	0 : 100
269	13.7	4.7	9.0	34 : 66
270	18.1	3.6	14.5	20 : 80
271	19.2	5.8	13.4	30 : 70
272	11.9	3.7	8.2	31 : 69
273	4.9	1.2	3.7	24 : 76
274	2.1			
275	1.9			
276	2.0			
277	1.5			
278	2.0			
279	2.0			
280	1.8			
281	0.8			
282	0.8			
283	0.7			
284	1.0			
285	0.9			
286	2.4			
287	2.0			
288	2.1			
289	2.1			
290	2.1			
291	2.3			
292	0.2			
293	0.3			
294	0.4			
295	0.4			
296	0.7			
297	0.5			
298	0.6			
299	1.4			
300	2.2			

Probe	Carb. %	Do. %	Ca. %	Do. : Ca. in % d. Carb.
301	1.5			
302	1.8			
303	1.4			
304	20.8	8.7	12.1	42 : 58
305	21.9	10.5	11.4	48 : 52
306	13.2	2.9	10.3	22 : 78
307	1.6			
308	21.5	10.1	11.4	47 : 53
309	14.6	5.1	9.5	35 : 65
310	8.0	1.0	7.0	13 : 87
311	2.0			
312	20.5	7.8	12.7	38 : 62
313	20.3	6.9	13.4	34 : 66
314	18.6	7.1	11.5	38 : 62
315	1.4			
316	7.9	3.9	4.0	49 : 51
317	7.3	2.8	4.5	38 : 62
318	14.8	4.1	10.7	28 : 72
319	13.8	5.2	8.6	38 : 62
320	16.5	5.3	11.2	32 : 68
321	16.5	5.4	11.1	33 : 67
322	16.5	6.3	10.2	38 : 62
323	18.7	9.0	9.7	48 : 52
324	16.9	7.1	9.8	42 : 58
325	16.9	6.8	10.1	40 : 60
326	5.1			
327	2.0			
328	1.0			
329	1.4			
330	1.5			
331	1.6			
332	1.6			
333	1.5			
334	1.1			
335	1.4			
336	1.4			
337	1.5			
338	1.4			
339	1.5			
340	1.2			
341	1.1			
342	1.1			
343	1.4			
344	1.0			
345	1.0			
346	1.3			
347	1.2			
348	1.2			
349	1.2			
350	1.1			

Probe	Carb. %	Do. %	Ca. %	Do. : Ca. in % d. Carb.
351	1.3			
352	0.7			
353	10.3	0.0	10.3	0 : 100
354-364 keine Analysen				
365	15.8	7.4	8.4	47 : 53
366	15.2	5.5	9.7	36 : 64
367	13.8	6.8	7.0	49 : 51
368	16.8	6.4	10.4	38 : 62
369	4.3	1.8	2.5	41 : 59
370	13.0	7.1	5.9	55 : 45
371	11.1	2.9	8.2	26 : 74
372	6.1	2.0	4.1	33 : 67
373-377 keine Sedimentproben				
378	22.7	9.1	13.6	40 : 60
379	25.0	7.2	17.8	29 : 71
380	23.5	7.3	16.2	31 : 69
381	19.7	8.5	11.2	43 : 57
382	14.3	5.3	9.0	37 : 63
383	4.6	1.0	3.6	21 : 79
384	10.3	3.1	7.2	30 : 70
385	18.0	5.8	12.2	32 : 68
386	18.8	8.1	10.7	43 : 57
387	8.0	1.7	6.3	21 : 79
388	9.0	3.2	5.8	36 : 64
389	7.4	2.1	5.3	28 : 72
390	5.0	1.3	3.7	27 : 73
391	2.6			
392	1.8			
393	1.6			
394	18.8	7.5	11.3	40 : 60

Tab. 9: Quarz/Feldspat- und Kalifeldspat/Plagioklas-Quotienten der Feinerde (< 2000 µm)

Probe	Qu:F	KF:P1	Probe	Qu:F	KF:P1	Probe	Qu:F	KF:P1	Probe	Qu:F	KF:P1	Probe	Qu:F	KF:P1	Probe	Qu:F	KF:P1	Probe	Qu:F	KF:P1	Probe	Qu:F	KF:P1	Probe	Qu:F	KF:P1
1	3.3	1.1	51	5.5	2.3	101	3.9	0.6	151	6.6	0.9	201	4.2	4.5	251	5.3	3.6	301	4.2	1.0	351	7.7	0.6			
2	3.7	1.5	52	3.5	1.3	102	3.8	0.8	152	8.2	0.8	202	5.6	3.4	252	4.8	1.4	302	4.8	0.9	352	5.3	1.4			
3	2.5	1.1	53	5.1	1.2	103	7.8	0.8	153	5.3	2.1	203	3.4	0.9	253	6.6	1.7	303	3.1	1.4	353	6.3	1.1			
4	4.5	1.0	54	6.2	1.0	104	4.5	0.7	154	7.3	2.3	204	5.2	0.4	254	3.9	2.4	304	5.6	0.6	354-364 keine Analysen					
5	3.8	1.0	55	4.8	0.8	105	4.2	0.9	155	10.3	1.3	205	5.5	0.4	255	3.5	2.3	305	2.0	0.7						
6	4.6	1.8	56	5.4	1.9	106	6.6	0.5	156	2.9	1.6	206	9.2	0.6	256	4.2	0.8	306	2.4	0.5	365	2.0	1.3			
7	2.9	1.6	57	5.3	0.8	107	3.6	0.6	157	1.8	1.3	207	4.4	0.8	257	5.1	3.4	307	4.1	0.6	366	2.8	3.1			
8	3.7	1.5	58	2.7	1.1	108	3.9	0.4	158	2.0	1.0	208	9.1	-	258	5.5	1.0	308	1.0	0.4	367	2.0	1.0			
9	6.4	0.9	59a	2.1	0.3	109	2.7	1.6	159	2.8	0.5	209	5.0	0.6	259	4.2	0.8	309	2.4	1.3	368	4.5	0.6			
10	2.6	1.1	59b	2.4	0.8	110	4.9	0.4	160	2.7	0.8	210	12.6	-	260	3.5	1.3	310	2.2	1.0	369	3.8	13.2			
11	5.4	0.5	60	2.7	0.8	111	5.4	1.9	161	5.6	0.8	211	5.9	0.5	261	6.0	0.4	311	3.5	1.8	370	4.0	1.8			
12	3.6	0.6	61	4.1	1.6	112	5.1	0.5	162	7.7	0.6	212	4.4	0.3	262	5.2	0.8	312	2.1	0.6	371	3.9	1.4			
13	2.0	0.5	62	4.7	1.0	113	4.5	1.3	163	2.9	0.8	213	6.5	0.5	263	4.5	1.2	313	3.7	0.7	372	5.7	4.3			
14	3.0	0.7	63	2.5	0.9	114	5.7	1.1	164	3.3	1.2	214	10.1	0.5	264	4.8	0.3	314	2.9	1.0	373-377 keine Sedimentproben					
15	1.2	1.0	64	3.8	0.5	115	8.8	0.4	165	1.8	1.0	215	7.8	0.4	265	6.5	1.2	315	5.1	1.1						
16	3.3	1.7	65	6.5	0.7	116	6.6	0.7	166	2.6	0.9	216	5.0	0.6	266	4.7	0.4	316	7.9	0.6	378	2.0	1.9			
17	8.8	1.4	66	5.9	0.9	117	8.9	0.2	167	2.0	1.2	217	6.2	1.1	267	6.5	0.4	317	7.2	0.4	379	2.7	1.9			
18	12.1	1.0	67	3.8	0.5	118	7.1	1.4	168	-	-	218	6.8	0.7	268	3.1	1.4	318	8.0	0.4	380	1.7	1.2			
19	4.4	0.8	68	3.9	0.7	119	8.5	0.6	169	-	-	219	8.3	1.0	269	5.4	1.2	319	2.5	0.6	381	2.4	1.0			
20	3.0	0.8	69	4.1	2.0	120	4.1	2.5	170	6.8	1.4	220	7.2	0.7	270	4.8	0.9	320	3.9	0.7	382	3.1	1.3			
21	3.3	1.5	70	3.9	1.5	121	4.1	0.9	171	3.6	1.7	221	3.5	0.1	271	2.2	0.8	321	4.3	0.7	383	2.6	0.8			
22	3.6	0.8	71	5.3	0.7	122	7.0	1.0	172	2.7	2.2	222	22.4	0.6	272	4.2	0.7	322	4.3	0.9	384	3.5	1.0			
23	4.0	2.0	72	7.6	0.9	123	8.3	1.1	173	5.2	2.2	223	6.0	0.7	273	6.6	0.9	323	6.4	0.7	385	2.8	0.7			
24	4.4	0.8	73	5.0	2.2	124	10.6	3.8	174	2.6	7.0	224	13.2	0.5	274	4.5	1.8	324	6.3	0.4	386	3.9	0.4			
25	2.5	1.5	74	3.5	1.1	125	12.4	1.3	175	3.5	1.3	225	7.0	1.5	275	9.1	1.7	325	3.4	0.7	387	3.4	1.0			
26	4.4	0.9	75	6.0	2.2	126	4.6	0.8	176	2.2	1.2	226	7.4	1.1	276	6.2	1.9	326	3.8	0.4	388	4.0	1.2			
27	5.9	1.0	76	7.0	1.1	127	5.1	2.5	177	1.8	2.1	227	10.9	0.4	277	7.9	1.0	327	9.0	0.3	389	2.8	1.0			
28	2.2	0.8	77	4.6	1.3	128	3.5	1.4	178	1.5	1.6	228	3.9	1.6	278	8.4	0.3	328	3.7	1.2	390	4.0	0.8			
29	2.2	0.4	78	4.1	0.5	129	5.1	1.3	179	2.2	0.6	229	9.1	0.5	279	5.4	1.2	329	6.4	0.5	391	4.2	1.0			
30	2.5	0.7	79	2.7	0.7	130	6.6	1.6	180	4.4	1.3	230	10.6	1.8	280	7.6	1.7	330	7.2	0.6	392	2.8	0.9			
31	4.0	0.3	80	4.2	1.0	131	2.5	1.1	181	3.7	1.9	231	7.8	0.8	281	5.7	1.6	331	11.2	0.3	393	3.7	2.3			
32	2.3	0.6	81	5.9	0.8	132	6.2	0.9	182	3.8	1.5	232	5.1	0.6	282	7.3	0.8	332	5.6	0.4	394	3.3	0.4			
33	2.1	1.0	82	4.8	0.5	133	3.7	1.3	183	4.8	1.6	233	7.3	1.5	283	4.1	2.3	333	11.9	0.7						
34	1.8	1.0	83	2.6	0.6	134	8.9	1.0	184	4.1	1.1	234	9.7	0.6	284	5.5	1.7	334	6.6	0.4						
35	3.8	0.9	84	2.7	0.5	135	4.3	1.0	185	2.9	2.1	235	7.2	1.5	285	8.1	0.8	335	12.0	0.7						
36	2.0	1.1	85	3.7	0.6	136	3.9	2.8	186	5.3	0.9	236	8.9	1.5	286	2.7	3.1	336	5.8	0.7						
37	2.6	0.8	86	3.3	0.7	137	6.9	0.8	187	2.6	2.3	237	16.3	0.7	287	5.0	1.5	337	5.8	1.6						
38	2.1	1.4	87	4.3	1.1	138	4.0	1.0	188	11.7	0.7	238	9.0	1.8	288	4.4	1.9	338	5.0	1.8						
39	2.4	1.3	88	4.2	4.7	139	5.2	0.8	189	6.6	0.7	239	8.5	2.4	289	5.9	0.5	339	6.6	0.7						
40	4.9	2.2	89	5.0	1.0	140	6.2	1.0	190	13.5	2.4	240	7.0	1.9	290	2.5	3.4	340	8.0	1.5						
41	5.8	5.3	90	3.5	1.3	141	8.2	0.6	191	5.1	0.7	241	7.0	1.4	291	7.2	1.1	341	5.9	1.8						
42	4.2	1.8	91	2.4	1.2	142	4.8	1.4	192	7.9	0.8	242	2.8	1.8	292	4.9	0.6	342	2.6	1.0						
43	3.9	1.8	92	2.0	0.4	143	4.7	3.0	193	7.6	1.0	243	3.6	1.4	293	6.8	0.8	343	6.1	2.5						
44	4.0	6.4	93	2.1	0.7	144	6.7	2.2	194	8.7	1.4	244	2.4	0.6	294	5.2	0.8	344	8.9	0.8						
45	7.7	4.3	94	2.5	0.3	145	5.3	1.3	195	3.4	1.1	245	5.2	1.4	295	7.4	0.6	345	3.6	1.5						
46	4.3	2.0	95	2.6	1.0	146	8.3	1.1	196	8.6	0.7	246	7.1	1.5	296	9.6	0.3	346	8.9	1.0						
47	3.2	2.7	96	2.3	0.6	147	5.0	1.2	197	7.6	2.1	247	7.9	2.4	297	9.8	1.1	347	3.6	0.8						
48	4.2	1.3	97	5.0	0.6	148	5.5	0.7	198	11.2	0.9	248	3.3	2.0	298	7.2	1.4	348	5.2	1.6						
49	4.4	1.1	98	2.9	0.6	149	5.2	1.7	199	7.1	1.9	249	11.3	0.9	299	2.6	1.2	349	5.9	1.1						
50	6.6	1.7	99	2.4	1.0	150	5.4	2.2	200	9.6	1.4	250	4.5	1.1	300	3.7	0.8	350	4.6	2.1						
			100	2.8	1.1																					

Tab. 10: Anzahl der "vulkanischen Gläser" umgerechnet auf 1g der Fraktion 125 - 630 μm

Unter- suchte Probe	Anzahl der Gläser	Unter- suchte Probe	Anzahl der Gläser	Unter- suchte Probe	Anzahl der Gläser
6	2.4	155	0.0	284	1.6
16	0.0	167	2.6	285	1.0
17	0.0	173	4.0	286	6.5
18	1.6	201	>3.0	287	0.5
59a	9.8	203	0.0	288	0.6
72	>10.0	206	0.0	289	1.9
73	34.8	207	0.0	290	0.0
91	16.8	209	0.0	291	0.0
103	2.2	211	0.0	292	0.0
104	0.0	213	0.0	293	0.6
105	0.0	215	0.5	294	0.6
106	0.0	217	0.8	295	1.8
107	0.0	218	2.4	296	1.7
111	0.0	220	8.3	297	12.2
112	14.7	222	5.2	298	0.0
113	2.3	225	21.7	302	3.5
114	0.0	227	1.8	305	0.0
115	0.6	229	0.0	306	0.9
116	1.0	231	2.3	307	0.0
117	0.6	233	16.1	310	0.4
118	1.2	235	21.3	311	0.0
126	0.9	237	0.0	312	0.0
127	1.2	239	0.0	313	0.0
137	0.0	241	0.0	314	0.0
138	0.0	247	3.8	315	0.0
139	0.0	249	26.0	332	0.0
141	0.0	251	10.4	333	0.4
142	1.2	252	2.0	354	24.2
143	14.0	253	19.0	355	1.9
144	16.5	254	5.2	356	1.9
145	0.0	255	10.3	357	4.5
146	0.0	256	0.6	358	0.0
147	0.0	259	0.0	359	0.7
148	0.7	273	3.7	360	22.7
149	8.6	280	2.3	361	0.0
151	0.0	281	0.9	362	0.9
152	0.0	282	5.2	363	4.0
154	14.1	283	29.7	364	0.0

Tab. 11: Probenzuordnung zu bestimmten Sediment- bzw. Bodenkomplexen¹⁾

Pro- fil	Lösse (Würa)	Lösse (Pra-Würa)	hBt	fBt	NEZ (unten)	LB	fAh
Al I	107-109				103, 104		
AlII	126, 127						
Bi	300		303	302		301	
D I	365-368, 372				369		370, 371
DII	248-251, 253, 255, 260	259		252, 254 256	280		
EI	286	288, 290		287, 289			
Ea	305, 306, 308 309, 312, 314			315	311	307	313
G	173, 174 196-201	180-189	191 192	175-179 190, 202	170-172 193-195		
He	71, 72 78-84		85- 87	69, 70 74, 75		76, 77	73
Hö	207-214, 219 220	230-232 235, 236 240-245	205 206	221-223 227-229 237-239		215-217	218
Ho I	304						
HoII	90, 92, 93, 96 98, 100, 101		89	94, 95		97, 99	91
Ki	5, 10, 12-15 20, 22, 31	25, 26 32-39	24	2, 19, 23 27, 28		4, 11 21, 30	6, 8
Kh	318-328	340-345 346, 349		335-339 341-344 347, 348	330, 331	329	
Kr	159-161 164, 165, 167				166	163	
LaIII	261-265, 269- 271, 275	279		276-278	268	266, 267	272-274

Pro- fil	Lösse (Würa)	Lösse (Pra-Würa)	hBt	fBt	NEZ (unten)	LB	fAh
Le	128, 140 143, 144 147	130, 133- 135, 146 149, 152	138 139	129, 131 132, 136 145, 150 151, 155	142	141	
Ma	59a, 61-64	40-42, 45 48-50, 55	59b	43, 44, 46 47, 51, 53 54, 56-58		67, 68	
Mb	378, 380, 381 385, 386, 394		393			379, 382	
Mu	282, 283		281	284, 285			
Ob			121	120			118, 119
Re	122, 123						
Rü	112, 113, 115	114	117	111			
Sc	16, 17						18
Un	292, 294	297		296, 298	295	293	

1) Lösse(W): Bleichhorizont, E.-.-Böden, un- oder relativ wenig verwitterte Sedimente (evtl. UZ üB. LB), C-Horizonte; Lösse(PW): Bleichhorizonte, C- und BvC-Horizonte; NEZ: unterer Teil (außer der obere enthält noch sehr wenig frisches Material). hBt = holozäner Bt-Horizont; fBt = fossiler Bt-Horizont (Ea und älter); fAh = Altwürm-Humuszone.

**Tab. 12: Durchschnittliche Korngrößenverteilung in bestimmten Sediment- und Bodenkomplexen
(Mittelwert \bar{x} in %, Standardabweichung s in %)¹⁾**

Prof. Sed./Bod.	\bar{x}, s	T	fU	mU	gU	U	fS	mS	gS	S	Prof. Sed./Bod.	\bar{x}, s	T	fU	mU	gU	U	fS	mS	gS	S	
Al I: Löss(W)	\bar{x}	22.0	9.5	26.1	28.7	64.3	10.5	2.4	0.8	13.7	G : Löss(W)	\bar{x}	23.4	8.1	22.6	31.0	61.7	6.7	5.6	2.6	14.9	
	s	3.0	1.9	1.4	3.9	3.5	1.4	0.5	0.1	2.0		s	7.3	1.6	1.6	2.3	3.5	1.5	2.4	1.5	5.0	
NEZ	\bar{x}	36.8	10.3	17.3	19.5	47.2	13.1	2.4	0.4	0.0	Löss(PW)	\bar{x}	27.3	6.6	17.8	27.0	51.4	6.9	8.2	6.1	21.2	
	s	0.8	0.1	0.1	1.8	1.8	2.2	0.4	0.0	0.0		s	2.1	0.6	2.1	2.1	3.2	0.4	2.5	1.6	4.2	
AllI: Löss(W)	\bar{x}	23.6	10.3	21.3	26.3	58.0	14.7	1.9	1.6	18.3	hbt	\bar{x}	34.0	8.7	21.4	25.6	55.7	6.0	3.1	1.1	10.2	
	s	1.4	0.4	1.3	1.6	3.3	2.3	0.2	0.2	1.9		s	0.6	0.9	0.4	0.3	1.1	0.5	1.6	0.6	1.6	
B1 :	nur Einzelproben											fBt	\bar{x}	38.5	7.1	18.2	24.9	50.3	6.1	3.3	1.9	11.2
D I : Löss(W)	\bar{x}	7.2	3.0	10.5	29.4	42.8	15.6	32.2	2.1	49.9	s		4.5	1.3	2.5	4.4	4.5	1.6	1.6	1.3	4.2	
	s	2.3	1.7	4.5	14.3	20.6	2.0	23.1	0.9	22.6	NEZ	\bar{x}	34.3	8.1	19.3	25.4	52.9	6.2	4.6	2.0	12.8	
NEZ	Einzelprobe 369											s	1.9	0.3	0.6	2.6	2.7	0.9	0.8	0.2	1.3	
fAh	\bar{x}	8.4	4.2	11.5	23.5	39.3	13.9	35.9	2.4	52.2	He : Löss(W)	\bar{x}	16.0	12.5	29.1	37.1	78.8	4.2	0.4	0.8	5.3	
	s	1.3	0.6	0.9	0.8	0.7	1.6	3.0	0.6	2.0		s	1.8	1.2	1.0	2.2	2.0	0.9	0.2	0.5	0.9	
D II: Löss(W)	\bar{x}	20.3	7.6	18.4	31.1	57.0	15.0	6.5	1.1	22.7	hBt	\bar{x}	30.1	7.9	23.8	32.5	64.4	5.1	0.3	5.5	5.5	
	s	5.7	2.1	3.7	6.1	7.1	3.3	7.6	0.5	11.1		s	1.1	0.9	1.6	1.0	1.3	0.2	0.2	0.2	0.2	
Löss(PW)	Einzelprobe 259											fBt	\bar{x}	40.5	9.2	20.9	25.3	55.5	4.0	0.2	0.0	4.3
fBt	\bar{x}	42.7	7.7	14.6	20.2	42.5	12.7	1.8	0.2	14.8	s		1.0	0.8	0.4	1.7	1.3	0.0	0.1	0.0	0.0	
NEZ	Einzelprobe 280											NEZ	\bar{x}	32.4	10.3	21.6	30.0	61.9	3.4	0.5	1.8	5.7
E1 : Löss(W)	Einzelprobe 286												s	3.1	0.9	0.8	5.4	5.2	0.3	0.0	1.8	2.1
	Löss(PW)	\bar{x}	36.2	8.3	17.4	24.4	50.2	11.7	1.4	0.4	13.5	LB	\bar{x}	31.2	10.5	21.7	28.3	60.5	6.7	0.6	0.9	8.3
s	2.4	1.3	0.5	2.5	0.6	1.8	0.0	0.0	1.8	s	2.3		1.1	1.0	0.4	1.7	0.4	0.2	0.0	0.6		
fBt	\bar{x}	45.6	8.9	14.3	18.3	41.5	9.4	1.9	1.5	12.8	fAh	Einzelprobe 73										
	s	0.9	1.8	0.7	1.6	0.6	1.6	0.3	0.9	0.4		Ho : Löss(W)	\bar{x}	10.4	6.3	22.1	49.6	78.6	10.5	0.3	0.2	11.0
Es : Löss(W)	\bar{x}	15.7	10.0	27.0	39.9	77.0	4.1	2.1	1.2	7.4	s		1.3	1.0	1.2	3.8	3.1	3.1	0.1	0.1	3.2	
	s	2.5	1.3	1.7	4.7	2.8	2.1	2.6	0.8	1.6	Löss(PW)	\bar{x}	13.8	7.9	19.6	45.2	72.6	10.0	3.1	0.5	13.6	
fBt	Einzelprobe 315											s	2.1	1.1	3.2	4.7	7.0	3.9	3.1	0.5	6.4	
	NEZ	Einzelprobe 311											hBt	\bar{x}	20.7	5.1	17.9	47.4	70.4	8.2	0.4	0.1
LB		Einzelprobe 307												s	0.1	0.3	0.2	0.1	0.6	1.1	0.2	0.1
	fAh	Einzelprobe 313											fBt	\bar{x}	21.4	8.4	20.4	41.9	70.7	6.8	0.8	0.2
Ho I: Löss(W)		Einzelprobe 304												s	3.1	1.3	1.6	2.4	2.1	2.8	0.4	0.2
	fAh	Einzelprobe 313											LB	\bar{x}	14.7	10.4	21.7	44.5	76.6	8.1	0.5	0.1
s		1.8	1.5	2.2	1.5	1.1	0.9	0.3	0.1	0.9	fAh	Einzelprobe 218										

1) Zur Horizontkennzeichnung vgl. Tab. 11 und Beil. 1.

Tab. 12: Fortsetzung 1

Prof. Sed./Bod.	\bar{x} ,s	T	fU	mU	qU	U	fS	mS	qS	S
HoII: Lösse(W)	\bar{x} 12.9	10.5	24.3	37.7	74.2	11.2	0.9	0.8	12.9	
	s 2.1	2.2	5.8	7.4	3.8	4.1	0.2	0.7	3.5	
fBt	Einzelprobe 89									
NEZ	\bar{x} 16.2	9.6	22.2	36.0	67.8	14.5	0.8	0.6	15.9	
	s 3.4	1.8	2.1	2.8	6.7	3.8	0.2	0.3	3.3	
LB	\bar{x} 16.0	10.2	22.1	36.0	68.4	14.4	0.9	0.2	15.6	
	s 4.0	2.2	2.4	2.6	2.0	6.0	0.0	0.0	5.9	
fAh	Einzelprobe 91									
Ki : Lösse(W)	\bar{x} 18.0	8.6	23.5	40.9	73.0	7.8	0.6	0.7	9.1	
	s 2.4	1.7	5.7	6.6	5.3	3.4	0.3	0.3	3.4	
Lösse(PW)	\bar{x} 17.0	8.9	28.1	36.5	73.5	7.7	1.0	1.0	9.5	
	s 1.7	1.4	1.7	3.6	1.7	2.1	0.3	0.2	2.2	
fBt	Einzelprobe 24									
NEZ	\bar{x} 33.6	8.4	20.4	30.1	58.9	5.7	1.1	0.7	7.5	
	s 0.8	2.3	1.7	2.7	1.2	1.8	0.3	0.4	1.5	
LB	\bar{x} 25.0	10.8	22.4	31.1	64.4	8.4	1.6	0.6	10.6	
	s 3.9	2.1	1.5	1.1	2.8	2.8	0.6	0.1	3.1	
fAh	\bar{x} 31.4	9.7	19.8	31.6	61.1	4.3	2.2	0.9	7.4	
	s 9.4	0.1	3.7	9.8	13.4	2.5	1.6	0.1	4.0	
Kh : Lösse(W)	\bar{x} 15.7	10.5	28.5	38.9	77.6	5.2	0.6	0.7	6.4	
	s 2.5	2.1	2.7	4.3	2.7	1.0	0.4	0.5	1.3	
Lösse(PW)	\bar{x} 31.3	13.9	24.3	24.7	63.0	3.2	0.6	1.9	5.7	
	s 4.7	0.3	3.9	3.7	4.2	2.1	1.0	2.4	5.2	
fBt	\bar{x} 39.1	10.1	19.6	25.4	55.3	3.1	0.9	1.7	5.6	
	s 8.0	1.4	3.7	7.7	9.9	0.5	0.7	2.0	2.5	
NEZ	\bar{x} 33.8	11.8	24.1	24.5	60.3	4.4	0.8	0.5	5.8	
	s 0.8	0.6	0.3	0.8	0.5	0.6	0.1	0.2	0.3	
LB	Einzelprobe 329									
Kr : Lösse(W)	\bar{x} 20.6	10.5	24.7	37.0	72.3	5.4	1.3	0.5	7.1	
	s 3.9	2.6	1.7	6.0	4.8	1.6	0.4	0.3	1.5	
NEZ	Einzelprobe 166									
LB	Einzelprobe 163									

Prof. Sed./Bod.	\bar{x} ,s	T	fU	mU	qU	U	fS	mS	qS	S
LaIII: Lösse(W)	\bar{x} 13.3	7.5	22.1	38.7	68.3	9.7	7.6	1.1	18.4	
	s 2.1	1.6	3.4	8.0	11.1	4.0	11.7	1.4	12.3	
Lösse(PW)	Einzelprobe 279									
fBt	\bar{x} 21.3	5.4	15.2	31.3	51.9	6.4	18.7	1.6	26.7	
	s 2.4	1.2	5.7	13.2	20.7	1.1	20.6	1.9	21.4	
LB	\bar{x} 21.0	9.7	22.3	32.9	64.9	6.8	6.7	0.4	14.0	
	s 1.1	0.8	0.3	0.1	0.4	0.1	0.4	0.2	0.7	
fAh	\bar{x} 14.3	7.8	21.2	31.4	60.3	7.0	16.4	1.9	25.3	
	s 3.2	0.1	2.9	4.6	7.5	2.0	11.2	0.6	10.1	
Le : Lösse(W)	\bar{x} 23.0	10.5	27.2	29.0	65.9	5.1	2.1	1.9	9.1	
	s 6.4	2.1	2.2	4.2	5.2	1.6	0.7	1.8	3.9	
Lösse(PW)	\bar{x} 26.1	10.5	24.9	27.2	62.6	7.2	3.3	2.1	11.3	
	s 4.7	1.8	2.5	4.8	5.8	2.8	1.3	1.5	3.8	
hBt	\bar{x} 31.7	8.9	22.1	30.5	61.5	4.1	1.6	1.0	6.8	
	s 0.4	1.1	1.7	1.8	1.0	0.6	0.5	0.3	1.4	
fBt	\bar{x} 42.0	9.5	20.5	19.7	49.3	5.7	1.9	0.7	8.4	
	s 6.5	2.5	3.8	3.9	7.4	1.6	0.6	0.5	2.4	
NEZ	Einzelprobe 142									
LB	Einzelprobe 141									
Ma : Lösse(W)	\bar{x} 14.1	7.5	26.2	44.7	78.4	4.3	1.1	2.1	7.5	
	s 2.2	1.4	0.8	3.0	1.9	1.1	0.6	0.4	2.0	
Lösse(PW)	\bar{x} 14.4	6.7	19.1	50.3	76.1	7.1	1.6	0.8	9.6	
	s 3.9	2.3	5.1	7.6	4.7	2.9	0.7	0.8	3.0	
hBt	Einzelprobe 59b									
fBt	\bar{x} 26.1	8.3	20.9	37.3	66.6	5.7	1.1	0.5	7.3	
	s 8.9	2.1	1.3	6.0	6.9	2.7	0.9	0.5	3.9	
LB	\bar{x} 21.2	11.8	23.5	33.0	68.4	4.3	1.7	4.3	10.3	
	s 0.5	0.2	0.0	0.4	0.1	0.8	0.1	0.4	0.4	
Mb : Lösse(W)	\bar{x} 16.6	9.9	26.9	36.9	73.7	8.0	2.8	0.7	9.6	
	s 4.2	0.5	2.0	2.6	2.5	2.8	3.1	0.2	2.7	
hBt	Einzelprobe 393									
LB	\bar{x} 16.8	13.5	27.1	33.5	74.2	6.8	4.7	1.0	9.0	
	s 2.1	1.1	2.6	0.8	0.7	2.3	4.6	0.4	1.4	

Tab. 12: Fortsetzung 2

Prof. Sed./Bod.	\bar{x}, s	T	fU	mU	gU	U	fS	mS	gS	S
Mü : Lösse(W)	\bar{x}	20.3	9.8	25.5	34.8	70.1	3.7	3.1	2.7	9.5
	s	7.6	0.3	0.8	4.2	5.3	0.0	0.3	2.0	2.3
hBt	Einzelprobe 281									
fBt	\bar{x}	38.4	9.8	22.4	24.8	57.1	2.9	0.9	0.5	4.4
	s	1.9	0.2	1.5	0.8	2.1	0.1	0.1	0.2	0.2
Ob : hBt	Einzelprobe 121									
NEZ	Einzelprobe 120									
fAh	\bar{x}	33.8	8.5	14.9	20.1	43.5	6.3	13.8	2.5	22.7
	s	2.4	0.4	3.5	2.0	5.1	0.7	6.2	0.6	7.5
Re : Lösse(W)	\bar{x}	33.7	8.9	18.4	16.6	44.0	6.4	10.5	5.2	22.2
	s	0.3	0.2	0.1	1.3	1.6	0.4	1.3	0.3	1.3
Rü : Lösse(W)	\bar{x}	21.0	12.7	27.0	29.7	69.4	4.6	1.4	3.6	9.6
	s	0.9	0.1	2.5	1.5	3.3	1.5	0.5	2.6	4.2
Lösse(PW)	Einzelprobe 114									
hBt	Einzelprobe 117									
fBt	Einzelprobe 111									
Sc : Lösse(w)	\bar{x}	29.0	9.6	21.8	29.2	60.7	9.2	0.8	0.2	10.2
	s	1.8	2.2	1.8	2.3	1.7	0.4	0.1	0.2	0.1
LB	Einzelprobe 18									
Un : Lösse(W)	\bar{x}	26.3	10.9	23.1	25.9	61.7	9.3	4.2	0.3	13.8
	s	2.0	0.8	2.0	0.8	0.4	2.8	2.0	0.1	4.9
Lösse(PW)	Einzelprobe 297									
fBt	\bar{x}	35.7	8.1	18.4	22.2	48.7	10.8	4.4	0.3	15.6
	s	7.1	2.6	4.5	2.4	9.6	1.9	0.4	0.1	2.5
NEZ	Einzelprobe 295,									
LB	Einzelprobe 293									

Tab. 13: Durchschnittliche Schwermineralverteilung in Würm- bzw. Prä-Würm-Sedimenten
(Mittelwert \bar{x} in %, Standardabweichung s in %)¹

Prof. Typ	\bar{x}, s	Ep	Ho	Gr	Inst	Zi	Ru	Tu	Stab	Vu	Re	Op
Al I w	\bar{x}	18.0	13.0	9.7	40.7	29.0	11.3	16.7	57.0	0.0	3.0	51.0
	s	6.1	7.2	1.5	8.7	8.2	4.2	5.7	11.1	0.0	2.9	1.7
g	\bar{x}	16.5	12.5	9.7	38.7	27.0	10.2	22.2	59.5	0.0	1.2	51.5
	s	5.8	6.9	1.3	8.1	7.8	4.0	12.1	10.4	0.0	2.5	1.7
Proben: w: 105, 107, 109; g: w und 104.												

D II w	\bar{x}	16.6	23.2	6.4	46.2	18.4	7.0	24.6	50.0	1.2	2.6	38.8
	s	1.5	10.3	2.1	10.3	6.1	1.2	4.3	9.5	2.7	1.5	5.4
p Einzelprobe 252	\bar{x}	15.8	21.0	6.2	43.0	20.2	7.3	26.2	53.7	1.0	2.3	40.0
	s	2.3	10.7	1.9	12.1	6.9	1.4	5.5	12.3	2.4	1.5	5.6
Proben: w: 248, 249, 251, 253, 260; p: 252; g: w und p.												

Kl w Einzelprobe 286	\bar{x}	12.5	14.5	4.0	31.0	21.5	7.0	36.5	65.0	4.0	0.0	47.0
	s	0.7	0.7	1.4	0.0	0.7	1.4	2.1	2.8	2.8	0.0	2.8
g	\bar{x}	14.0	16.7	3.7	34.3	21.3	7.7	33.3	62.3	3.3	0.0	44.0
	s	2.6	3.8	1.2	5.8	0.6	1.2	5.7	5.0	2.3	0.0	5.6
Proben: w: 286, p: 287, 288; g: w und p.												

Ea w	\bar{x}	13.0	45.0	5.0	63.0	9.0	5.8	18.2	33.0	2.0	2.0	34.4
	s	2.1	3.4	1.6	3.7	3.0	0.4	1.1	3.4	1.6	1.7	3.9
p Einzelprobe 315	\bar{x}	10.5	39.0	4.3	56.0	11.7	6.3	20.3	38.3	3.5	2.2	36.2
	s	5.5	15.0	2.2	17.5	7.1	1.4	5.3	13.4	3.9	1.6	5.6
Proben: w: 305, 310, 312, 313, 314; p: 315; g: w und p.												

1) Typ: w = Lössse und Bleichhorizont des Würm (bei offensichtlich starker Aufarbeitung von verwittertem Material blieb der Bleichhorizont unberücksichtigt); w (verw) = Proben, die wegen starker Verwitterungserscheinungen nicht zu den Würm-Lössen gerechnet wurden. Sie blieben auch in den Abbildungen und in Beil. 27 unberücksichtigt; p = Prä-Würm-Sedimente, g = gesamt (alle schwermineralogisch analysierten Proben); Proben = Nummern der Proben, aus denen die Durchschnittswerte berechnet wurden.												

G w	\bar{x}	32.0	9.0	8.7	49.7	25.0	10.7	14.7	50.3	0.0	0.0	45.7
	s	7.9	4.6	3.5	9.1	7.8	3.5	2.1	9.1	0.0	0.0	4.7
p Einzelprobe 179												
Bl. \bar{x}	\bar{x}	16.5	3.0	7.5	27.0	42.0	14.5	15.5	72.0	0.0	1.0	51.0
	s	4.9	1.4	4.9	1.4	7.1	6.4	2.1	1.4	0.0	0.0	0.0
g	\bar{x}	25.1	8.9	8.4	42.4	28.6	11.4	17.3	57.3	0.0	0.3	48.0
	s	9.2	7.3	3.4	13.4	13.3	4.2	5.1	13.1	0.0	0.5	3.9
Proben: w: 172, 197, 198; p: 179 (unterster Bt-Teil); Bl. (= Bleichhorizont): 174, 200 (wegen zu großer Abweichung von den Lössen gesondert aufgeführt); g: 172, 174, 179, 192, 197, 198, 200.												

He w	\bar{x}	37.0	28.0	8.5	73.5	12.5	0.5	11.0	24.0	2.0	0.5	39.5
	s	9.9	11.3	3.5	4.9	0.7	0.7	2.8	4.2	0.0	0.7	3.5
w \bar{x}	\bar{x}	38.5	9.5	3.0	51.0	16.0	7.5	18.5	42.0	7.0	0.0	41.0
	(verw) s	2.1	3.5	3.0	1.4	2.8	0.7	2.1	0.0	1.4	0.0	4.2
g	\bar{x}	39.4	16.8	6.0	62.2	14.8	4.4	14.4	33.6	4.0	0.2	40.6
	s	6.3	11.8	3.3	11.5	2.6	3.6	4.2	9.3	2.8	0.4	3.0
Proben: w: 78, 82; w(verw): 72, 73; g: 72, 73, 76, 78, 82												

Hö w	\bar{x}	14.7	42.7	7.5	65.0	6.0	3.7	13.7	22.5	4.0	11.5	31.0
	s	2.2	4.0	1.2	5.0	3.4	2.2	4.0	7.9	2.0	6.7	2.4
p	\bar{x}	9.5	9.0	2.0	20.5	12.5	5.0	21.0	38.5	1.0	40.0	40.5
	s	0.7	0.0	0.0	0.7	3.5	0.0	0.0	3.5	0.0	2.8	3.5
g	\bar{x}	13.4	31.6	5.9	50.9	8.1	3.9	15.6	27.6	1.0	20.7	33.7
	s	3.1	16.2	2.8	21.3	4.1	1.9	4.7	9.5	1.5	14.3	5.1
Proben: w: 207, 213, 218, 220; p: 222, 226; g: 207, 213, 217, 218, 220, 222, 226.												

Ho II w	\bar{x}	29.0	29.0	8.3	66.3	16.7	7.3	7.0	31.0	2.0	0.7	42.0
	s	5.2	5.3	3.1	7.8	9.3	2.1	1.7	9.6	1.0	1.1	1.0
w \bar{x}	\bar{x}	36.0	10.0	6.0	52.0	15.5	7.0	17.5	40.0	8.0	0.0	41.5
	(verw) s	1.4	4.2	2.8	0.0	3.5	1.4	3.5	1.4	1.4	0.0	3.5
g	\bar{x}	31.8	21.1	7.4	60.6	16.2	7.2	11.2	34.6	4.4	0.4	41.8
	s	5.4	11.3	2.9	9.6	6.8	1.6	6.1	8.4	3.4	0.9	1.9
Proben: w: 93, 97, 101 (97 zu Lössen gerechnet, da Probe aus gering verwittertem, unterem LB-Teil); w(verw): 90, 91; g: w und w (verw)												

Tab. 13: Fortsetzung

Prof	Typ	\bar{x} ,s	Ep	Ho	Gr	Inst	Zi	Ru	Tu	Stab	Vu	Re	Op
Ki	w	\bar{x}	22.5	45.0	9.5	77.0	9.5	3.0	8.0	20.5	2.0	0.5	28.5
		s	3.5	7.1	2.1	8.5	3.5	2.8	2.8	9.2	0.0	0.7	2.1
p Einzelprobe 35													
g	\bar{x}	24.2	38.0	9.2	71.5	10.5	3.7	10.2	24.5	2.7	1.2	33.5	
		s	2.9	16.6	2.7	14.0	4.4	1.9	5.4	11.1	3.0	1.0	7.9
Proben: w: 20, 22; p: 35; g: 8, 20, 22, 35.													
Kh	w	\bar{x}	15.0	13.2	5.7	34.0	21.5	7.7	29.2	58.5	6.7	0.7	32.5
		s	3.7	2.6	2.4	4.5	3.3	3.6	3.3	9.0	8.3	0.5	2.1
p	\bar{x}	16.5	7.0	4.0	27.4	23.0	10.5	33.0	66.5	2.5	3.5	38.0	
		s	2.1	0.0	0.0	2.1	4.2	2.1	0.0	6.4	2.1	2.1	4.2
g	\bar{x}	15.4	11.9	5.0	32.3	21.4	8.1	30.9	60.4	5.6	1.7	33.7	
		s	2.9	3.9	1.9	4.7	3.4	3.3	3.1	8.1	6.3	1.6	3.8
Proben: w: 320, 327, 332, 333; p: 335, 337; g: w und g und 330.													
Kr	w	\bar{x}	26.7	27.0	12.3	66.0	13.0	5.7	13.7	32.3	1.7	0.0	36.7
		s	2.3	5.3	4.5	3.0	6.2	2.1	4.7	3.5	0.6	0.0	3.2
Proben: w: 159, 165, 167;													
LaIII	w	\bar{x}	15.0	34.0	7.2	56.2	13.6	4.8	22.6	41.0	1.4	1.4	35.8
		s	2.5	7.1	2.2	10.1	4.0	1.3	4.5	8.3	2.2	1.1	2.8
p	\bar{x}	12.0	20.0	3.0	35.0	23.5	6.5	33.5	63.5	0.0	1.5	39.0	
		s	1.4	9.9	2.8	11.3	2.1	0.7	7.8	10.6	0.0	0.7	1.4
g	\bar{x}	14.1	30.0	6.0	50.1	16.4	5.3	25.7	47.4	1.0	1.4	36.7	
		s	2.6	9.8	2.9	14.0	5.9	1.4	7.2	13.6	1.9	1.0	2.8
Proben: w: 262, 264, 268, 273, 275; p: 276, 278; g: w und p.													
Lb	w	\bar{x}	9.0	6.0	2.0	17.0	28.0	9.7	38.7	76.5	6.5	0.0	50.0
		s	5.0	4.3	3.4	12.0	4.2	4.9	9.2	15.5	4.4	0.0	5.6
p Einzelprobe 146													
g	\bar{x}	8.0	4.8	1.6	14.4	31.2	9.0	40.2	80.4	5.2	0.0	51.6	
		s	4.8	4.6	3.0	11.9	8.0	4.5	8.6	16.0	4.8	0.0	6.0
Proben: w: 141 (mit eingerechnet, da LB unsicher), 143, 144, 147; p: 146; g: w und p.													

Prof	Typ	\bar{x} ,s	Ep	Ho	Gr	Inst	Zi	Ru	Tu	Stab	Vu	Re	Op
Ma	w	\bar{x}	29.7	24.7	4.0	58.3	9.0	2.3	13.7	25.0	16.3	0.3	33.7
		s	5.5	11.0	2.6	15.1	2.6	2.5	4.6	3.6	12.7	0.6	2.3
p	\bar{x}	19.0	16.5	2.0	37.5	19.5	7.0	33.0	59.5	2.5	0.5	39.5	
		s	12.7	9.2	0.0	21.9	6.4	4.2	7.1	17.6	3.5	0.7	7.8
g	\bar{x}	23.7	19.8	4.5	48.0	15.3	4.2	19.3	38.8	12.8	0.3	34.8	
		s	9.5	9.8	3.7	17.8	8.0	3.4	11.6	18.8	11.8	0.5	5.5
Proben: w: 59a, 64, 66; p: 56, 58; g: w und p.													
Mü	w	\bar{x}	14.0	23.5	3.0	40.5	22.5	9.0	26.5	58.0	1.0	0.5	38.0
		s	4.2	4.9	0.0	0.7	2.1	0.0	2.1	0.0	0.0	0.7	0.0
p Einzelprobe 284													
g	\bar{x}	12.7	20.7	2.3	35.7	23.7	11.0	28.3	63.0	0.7	0.7	41.0	
		s	3.8	6.0	1.2	8.4	2.5	3.5	3.5	8.7	0.6	0.6	5.2
Proben: w: 282, 283; p: 284; g: w und p.													
Re Einzelprobe 122													
Rü	w	\bar{x}	24.5	25.5	4.5	54.5	13.5	4.0	22.5	40.0	5.5	0.0	40.5
		s	2.1	4.9	2.1	9.2	0.7	2.8	7.8	11.3	2.1	0.0	4.9
p Einzelprobe 114													
g	\bar{x}	20.0	15.7	3.2	39.0	20.2	6.5	27.5	54.2	4.7	2.0	41.2	
		s	5.7	11.7	1.9	19.0	8.0	3.3	7.6	18.1	3.6	4.0	4.4
Proben: w: 113, 115 (Bleichhorizont-Probe wegen zu großer Abweichung von den Lössen nicht eingerechnet); p: 114; g: w und p und 112.													
Sc	w	\bar{x}	21.0	14.5	5.0	40.5	21.0	19.0	19.0	59.0	0.0	0.5	54.5
		s	1.4	2.1	0.0	0.7	1.4	2.8	5.7	1.4	0.0	0.7	3.5
g	\bar{x}	19.7	16.0	4.3	40.0	21.7	15.0	22.0	58.7	0.0	1.3	49.0	
		s	2.5	3.0	1.2	1.0	1.5	7.2	6.6	1.2	0.0	1.5	9.8
Proben: w: 16, 17; g: 16, 17, 18.													
Un	w	\bar{x}	8.0	7.5	4.0	19.5	29.5	11.0	38.0	78.5	0.0	2.0	41.0
		s	0.0	0.7	1.4	0.7	3.5	1.4	4.2	0.7	0.0	0.0	0.0
p	\bar{x}	9.7	15.0	3.0	27.7	24.7	13.3	33.7	71.7	0.7	0.0	41.3	
		s	2.5	8.9	1.7	13.0	4.7	5.0	4.7	13.6	0.6	0.0	6.8
g	\bar{x}	9.0	12.0	3.4	24.4	26.6	12.4	35.4	74.4	0.4	0.8	41.2	
		s	2.0	7.5	1.5	10.3	4.6	3.8	4.6	10.3	0.5	1.1	4.8
Proben: w: 292, 294; p: 296-298; g: w und p.													

Tab. 14: Daten zur Thermolumineszenzdatierung im Profil Dertingen II von ZÖLLER (1987)¹⁾

ALTERS- UND FEHLERRECHNUNG FUER REGENERIERUNG

PROBENNAHME? DERTINGEN 1

URAN (PPM) = ?3.99
 THORIUM (PPM) = ?17.5 } NAA

KALIUM (%) = ?1.94 AAS

GAMMADOSIS (GY/KA) = ?1.653 (berechnet aus U, Th, K; für kosm. Strahlung wurde 0.1 Gy/ka angenommen)

WASSERGEHALT (D-1) = ?0.15 geschätzt*)

A-WERT = ?0.105

BETA-ATTENUATION = ?1

REGENERIERUNGSDOSIS (GY) = ?850

EINGABE FEHLER ED**) ? J/N ?J

FEHLER ED (GY) = ?69

ALPHADOSISLEISTUNG (GY/KA) = 1.71495

BETADOSISLEISTUNG (GY/KA) = 2.28344084 } berechnet aus U, Th, K, A-Wert, D-1

GROBKORN/FEINKORN? G/F?F 4-11µm

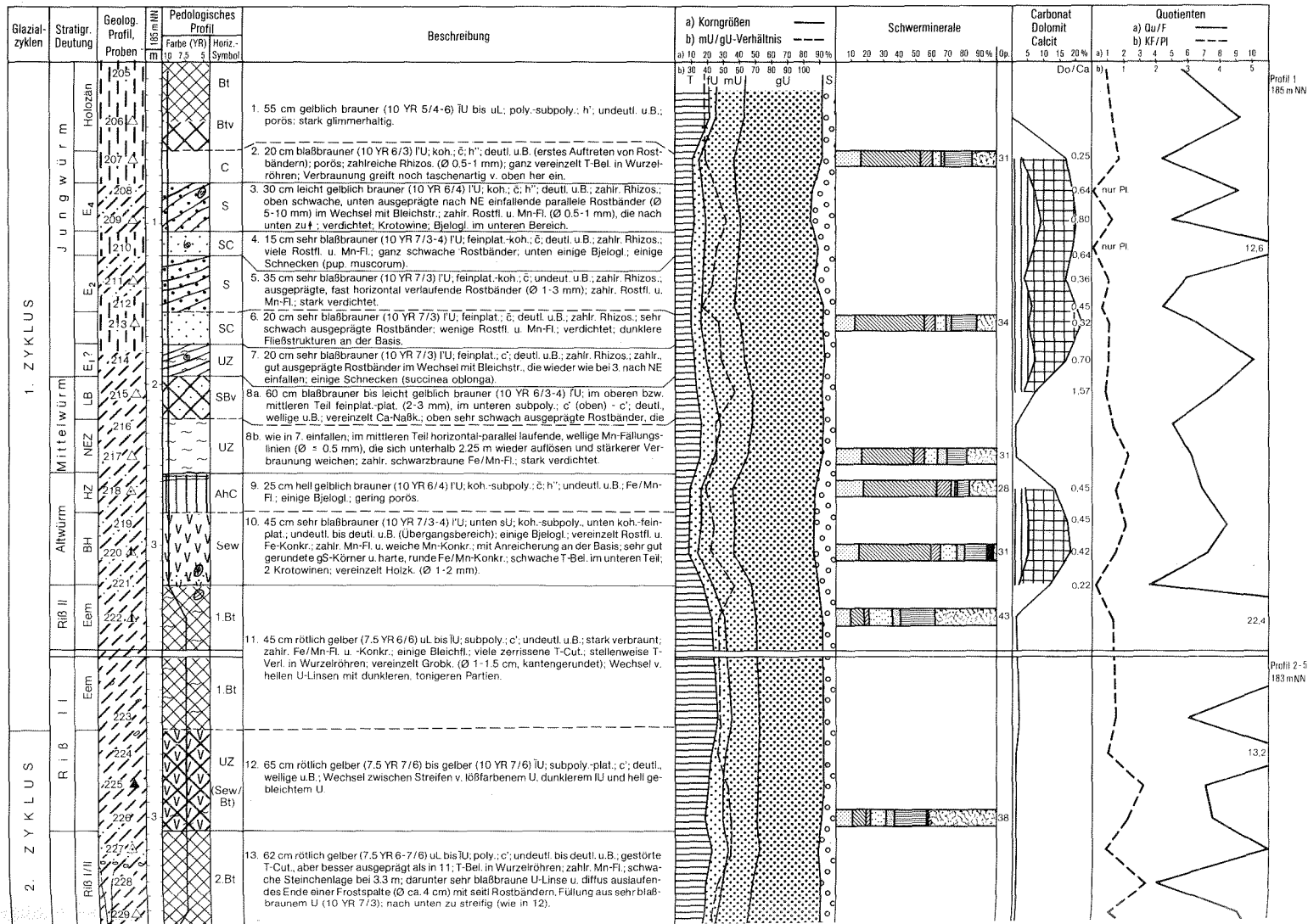
DOSISLEISTUNG (GY/KA) = 5.65139084

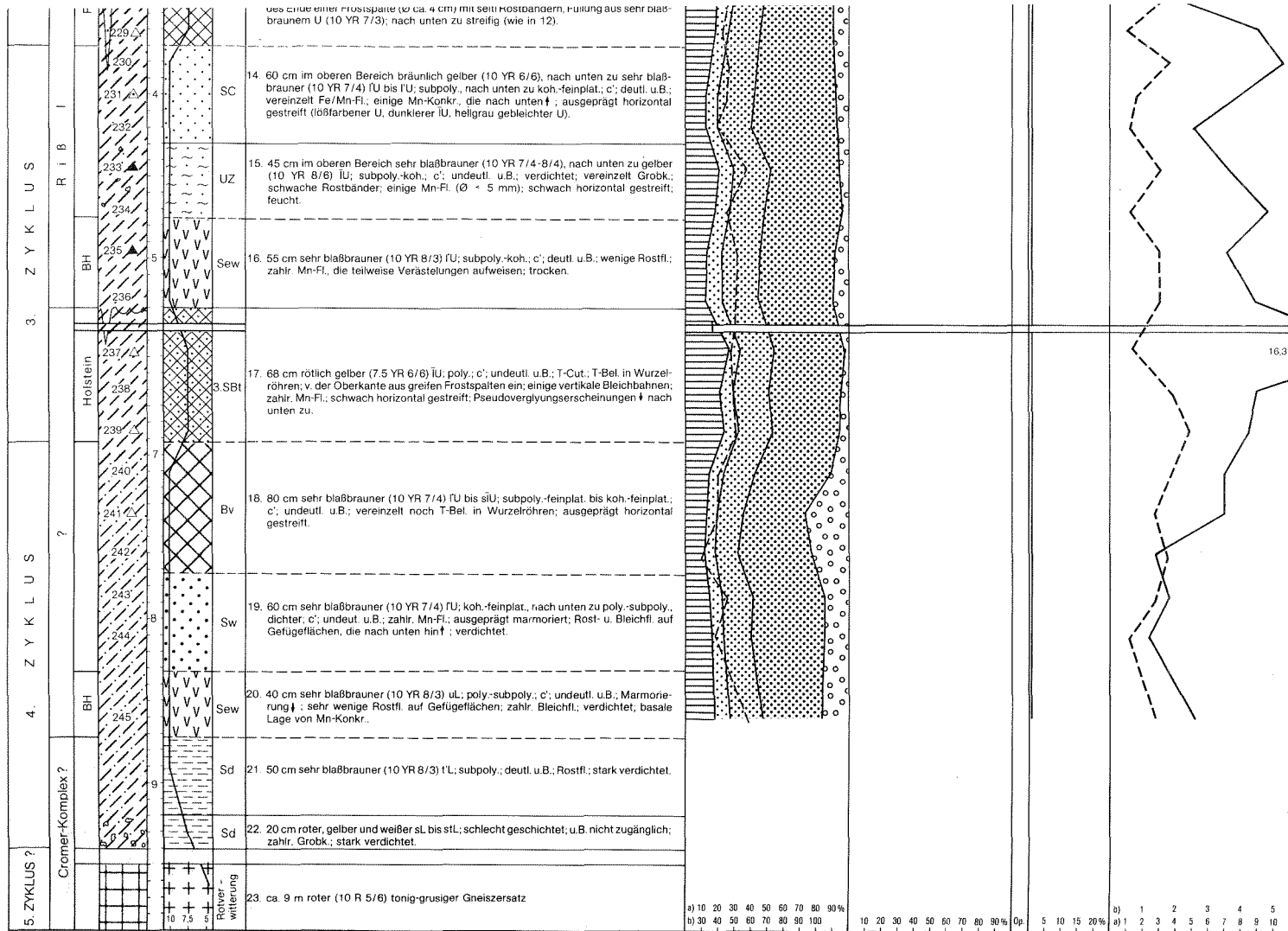
TL-ALTER (KA) = 150.405453 150 +/- 15 ka

*) $D = \frac{\text{Feuchtgewicht im Gelände}}{\text{Trockengewicht}}$; Durchschnittswerte für Löß 1.12-1.15

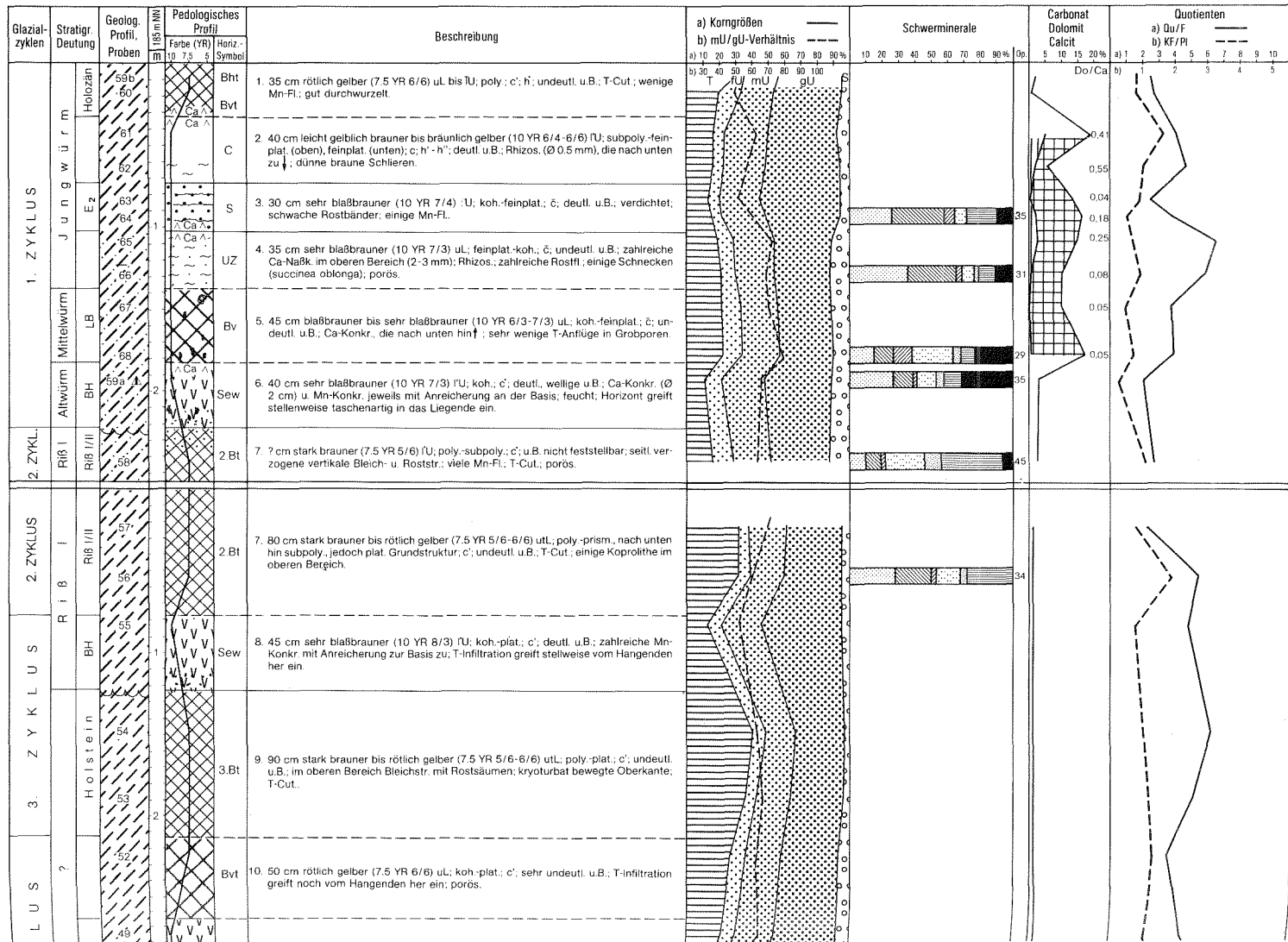
**) ED = "equivalent dose" = Regenerierungsdosis

1) Alle Angaben sind unverändert übernommen (handschriftliche Anmerkungen in Fettschrift); die Probe wurde jedoch im hier als Dertingen II bezeichneten Profil entnommen und nicht in "DERTINGEN 1".



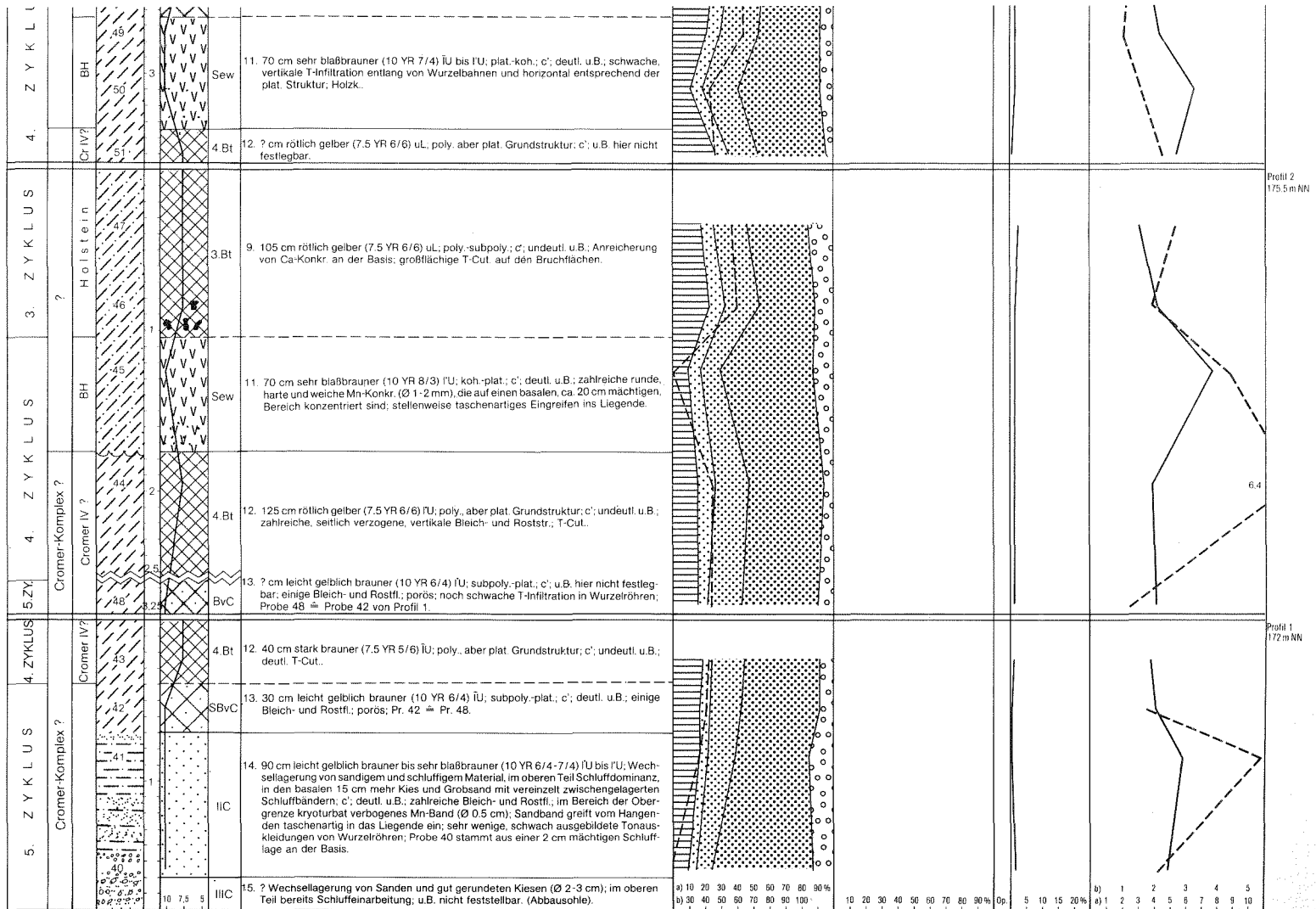


Beilage 2: Profil Hösbach

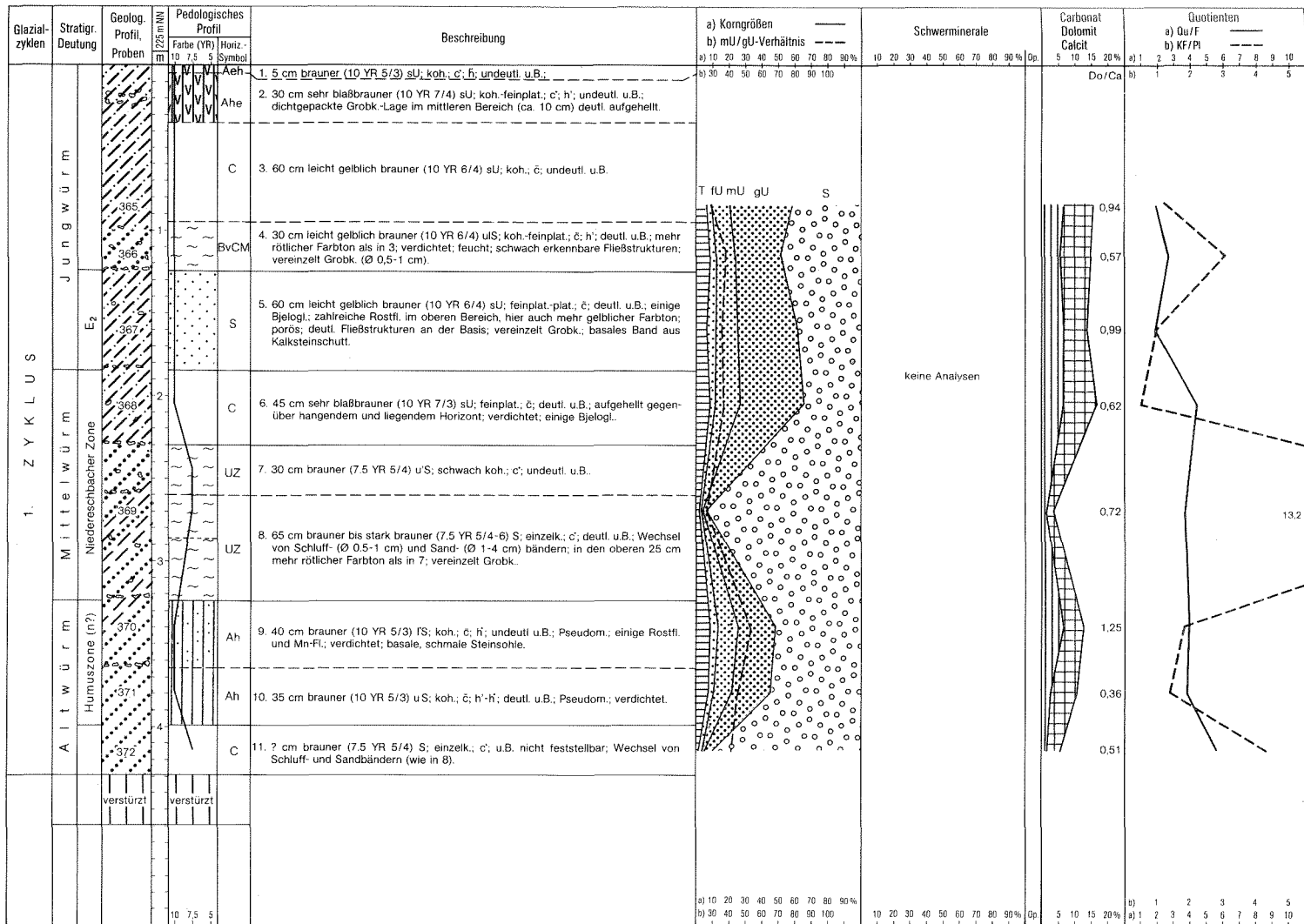


Profil 4e
185 m NN

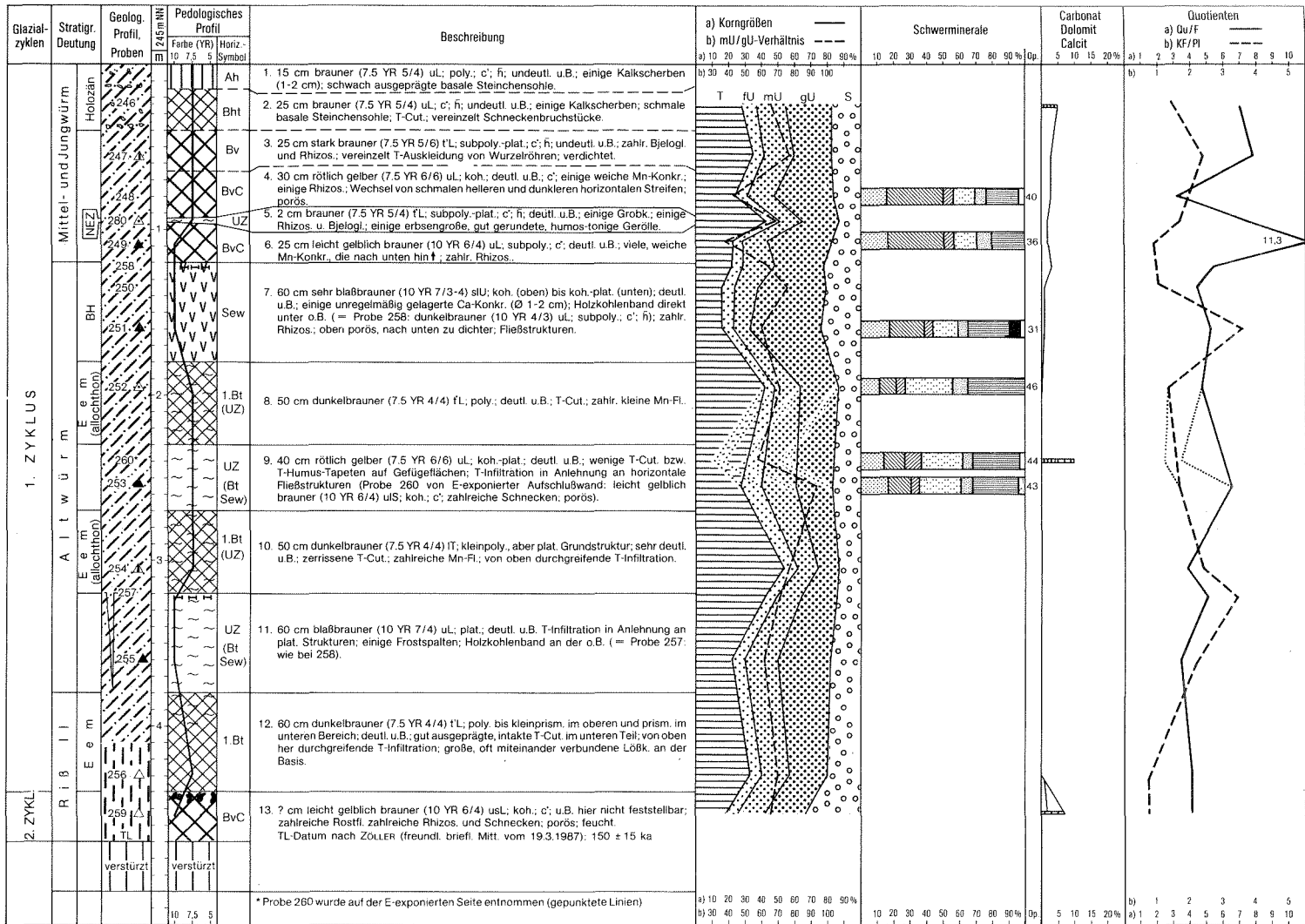
Profil 3
181 m NN



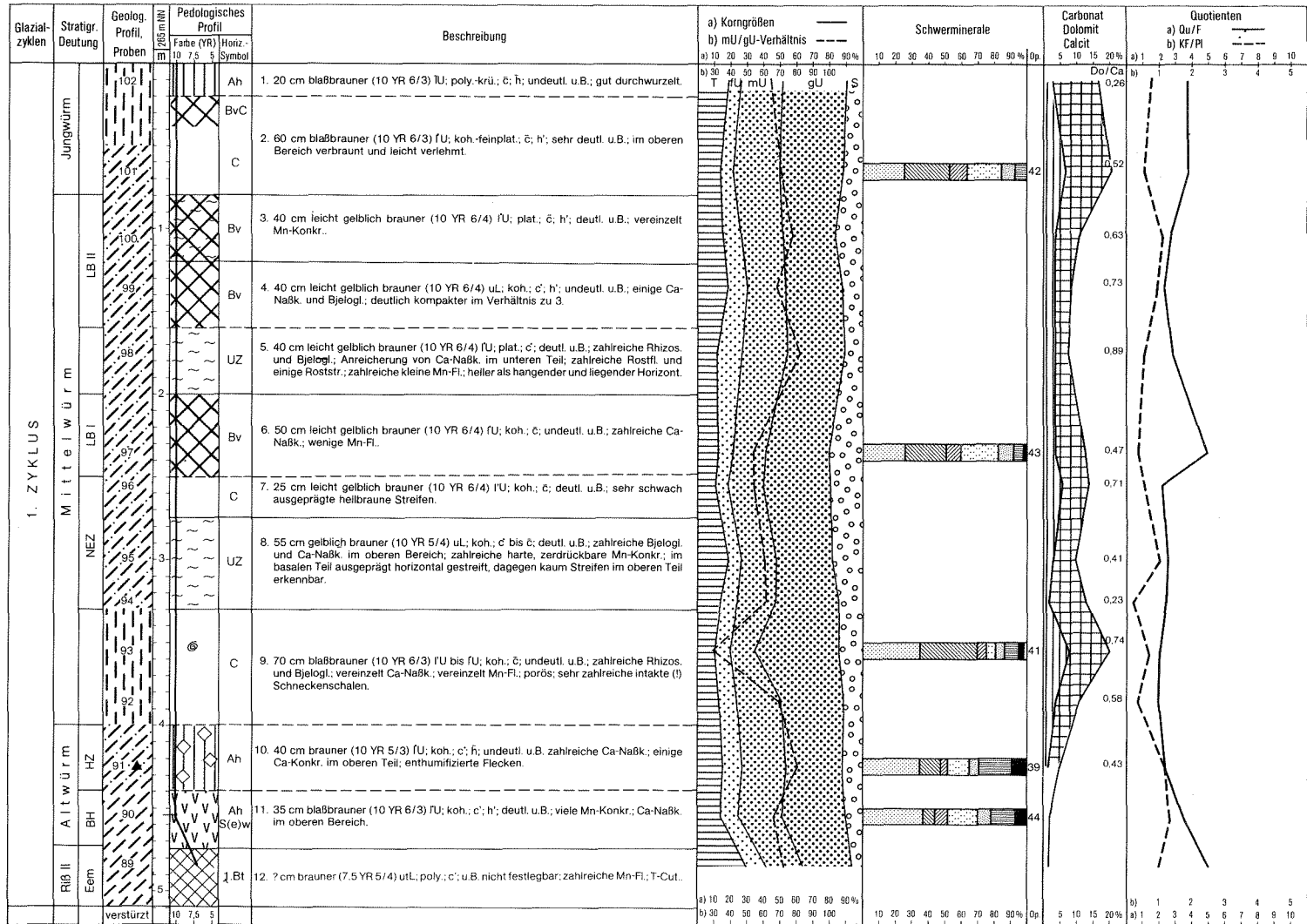
Beilage 3: Profil Marktheidenfeld



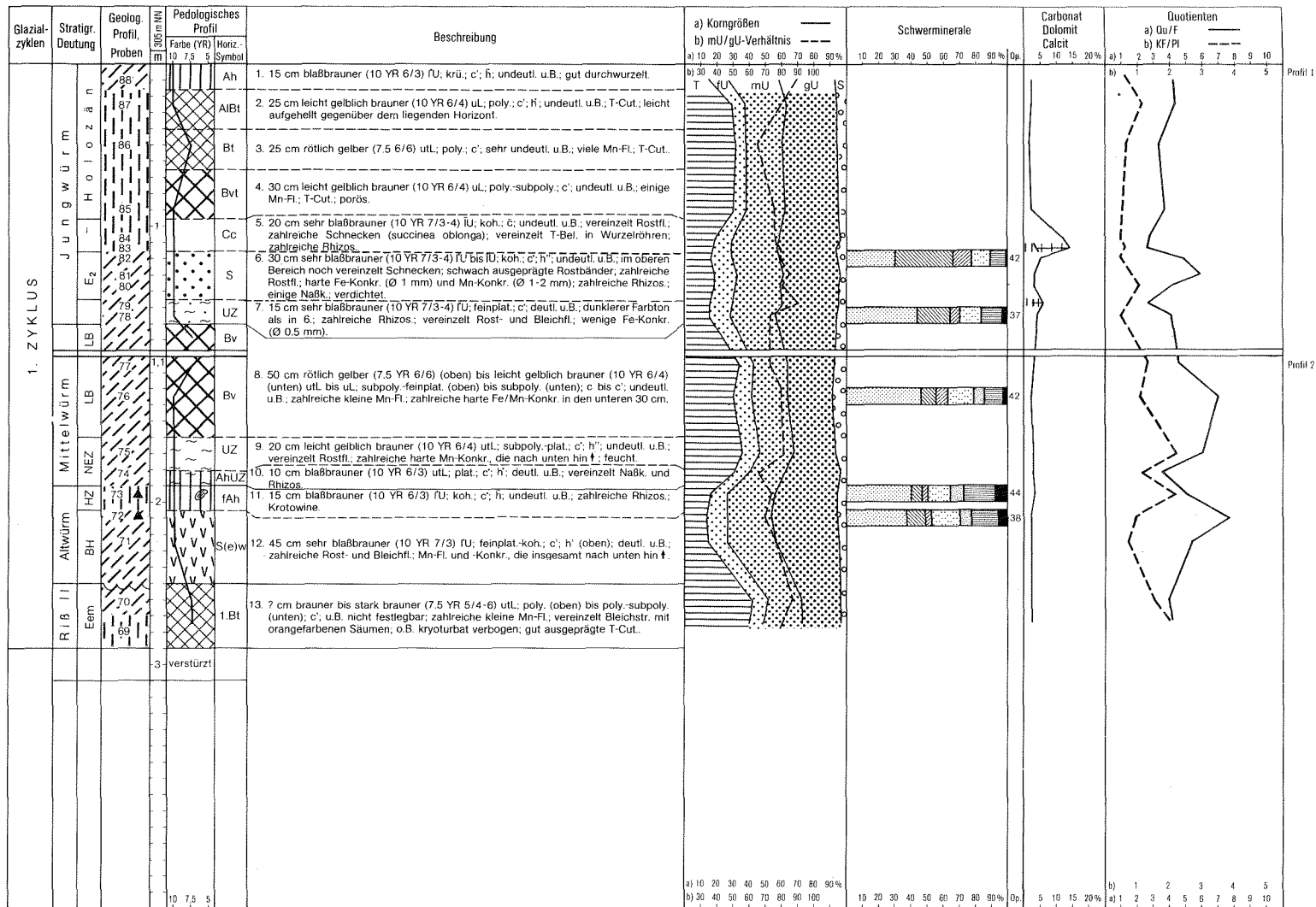
Beilage 4: Profil Dertingen I



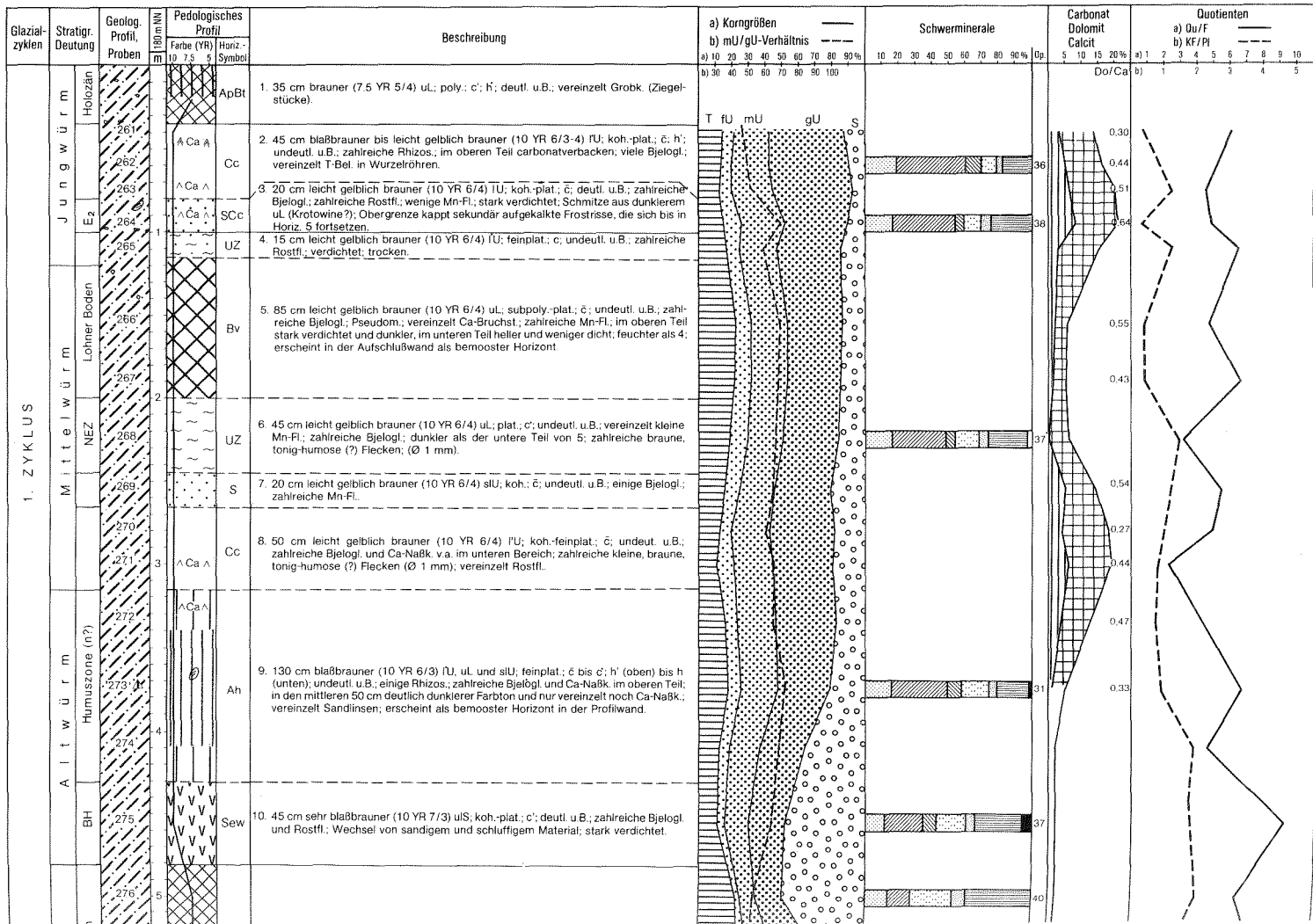
Beilage 5: Profil Dertingen II

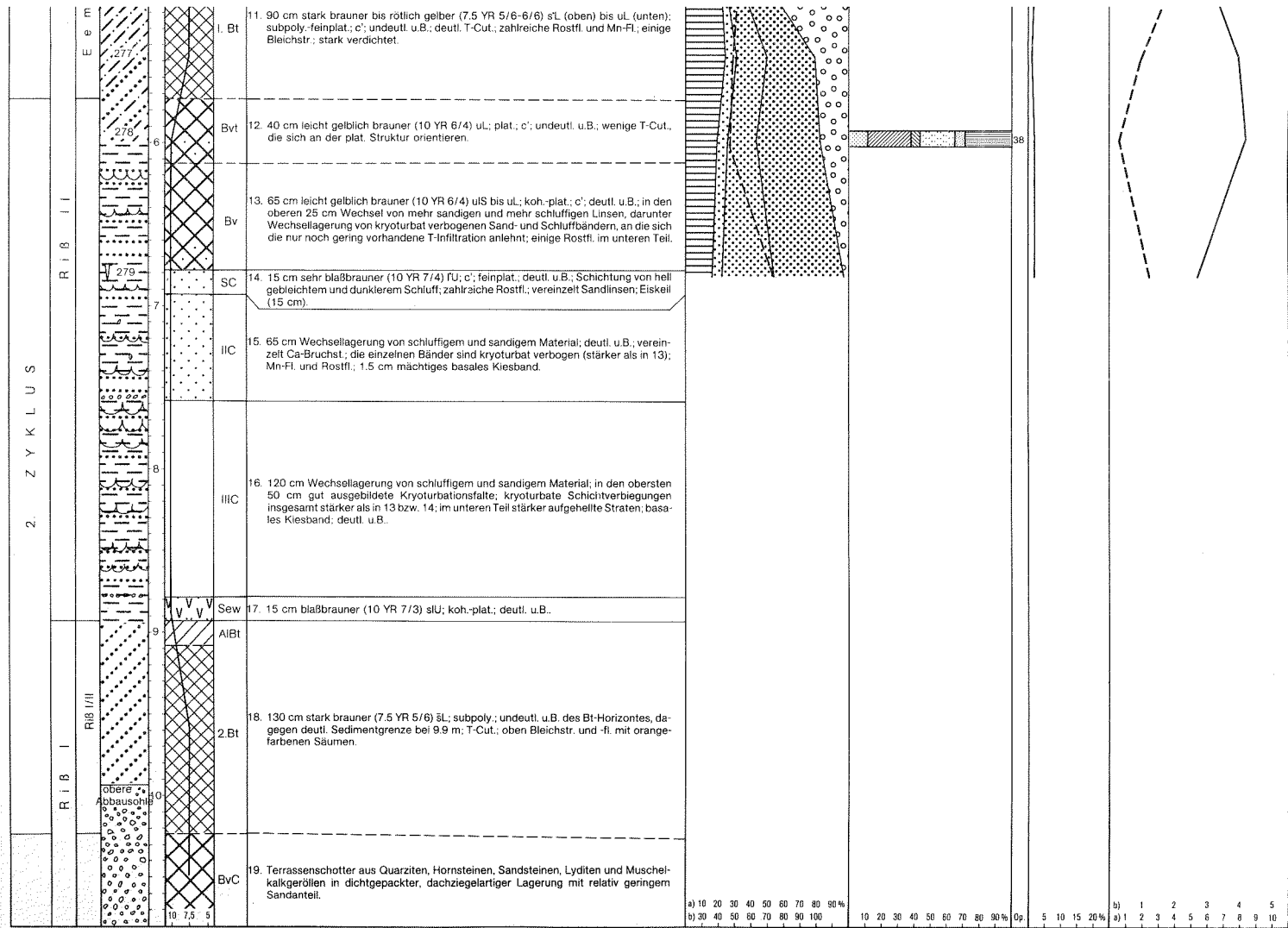


Beilage 6: Profil Holzkirchhausen II

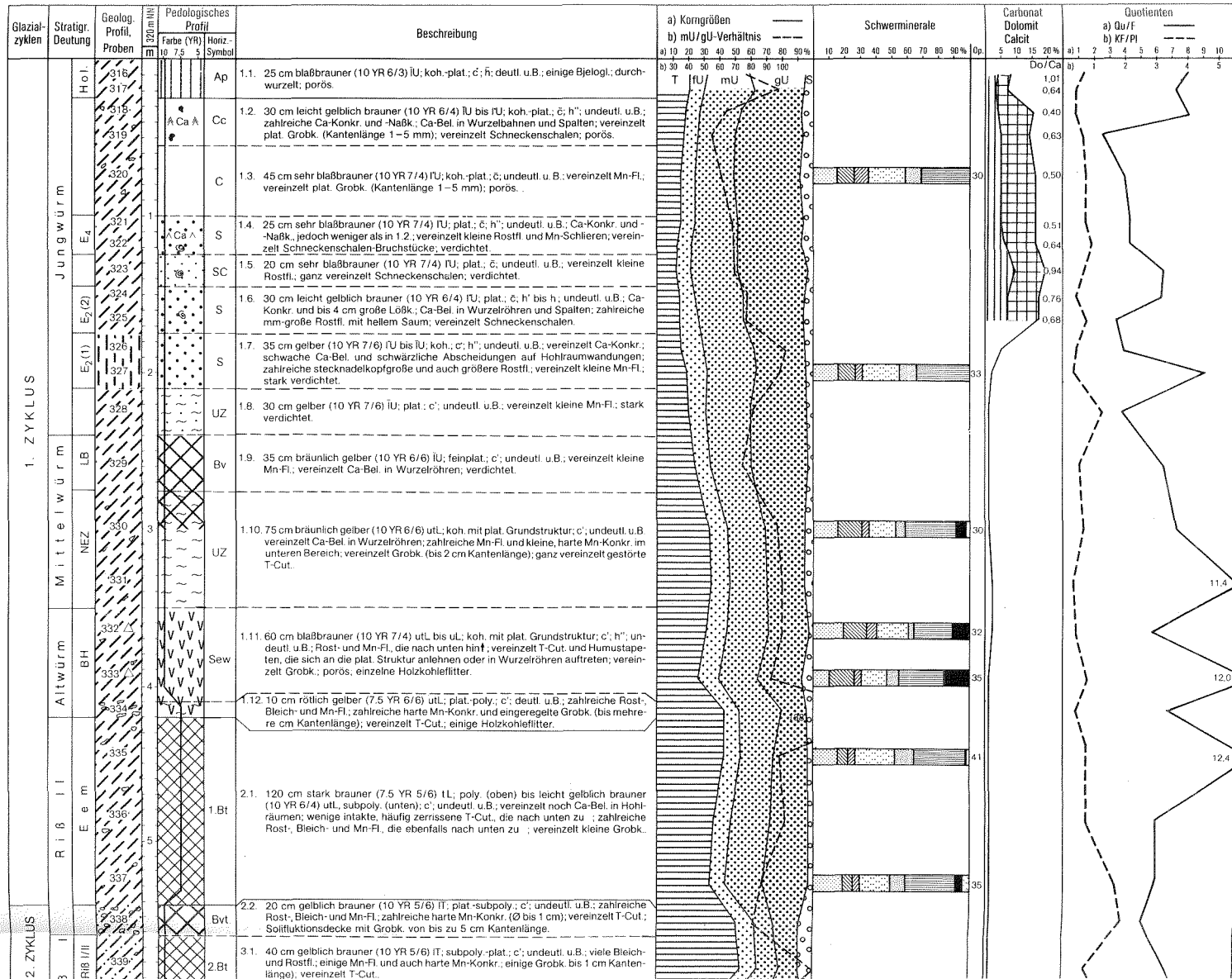


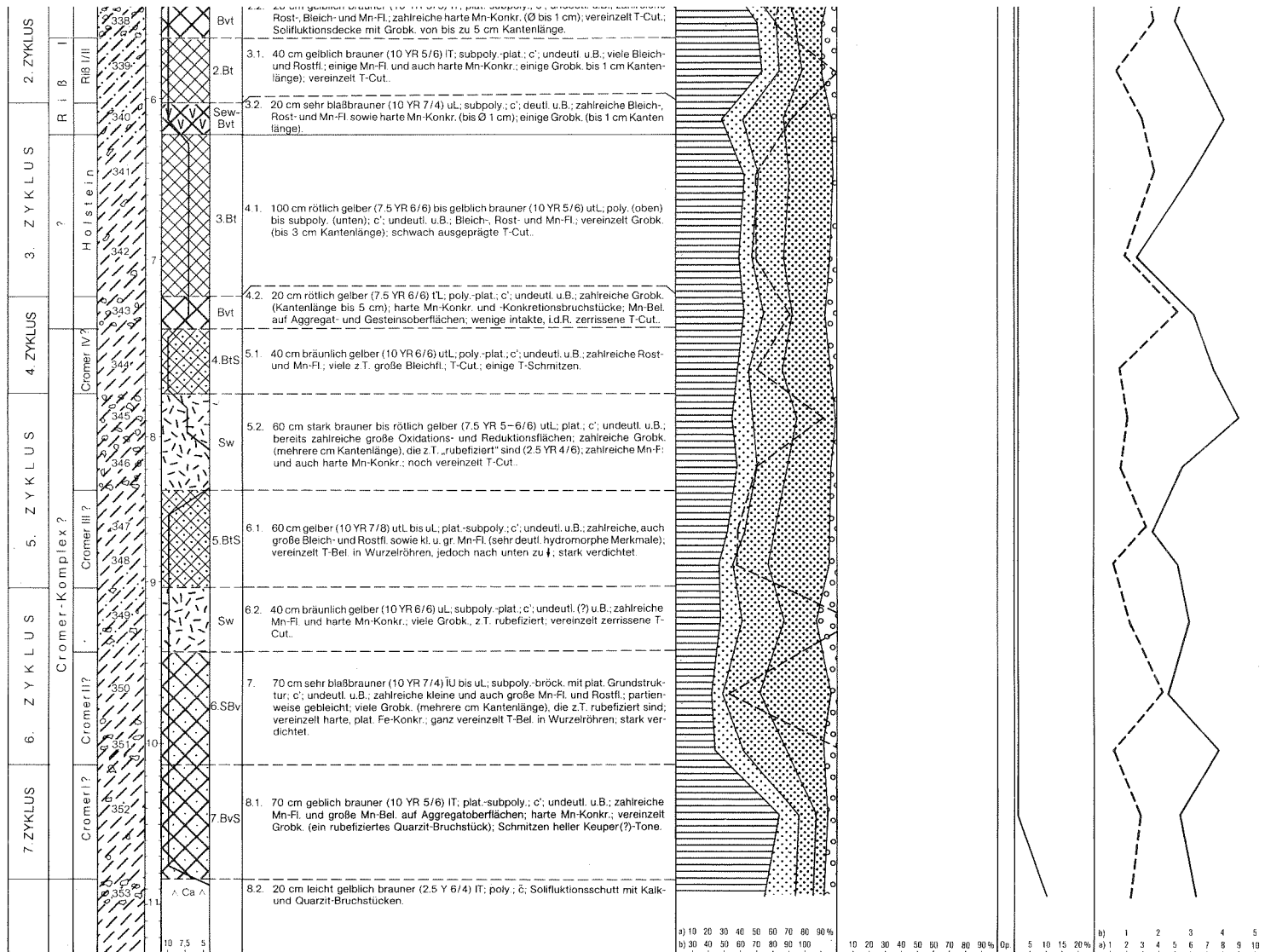
Beilage 7: Profil Helmstadt (Sammelprofil aus den Einzelprofilen 1 und 2)



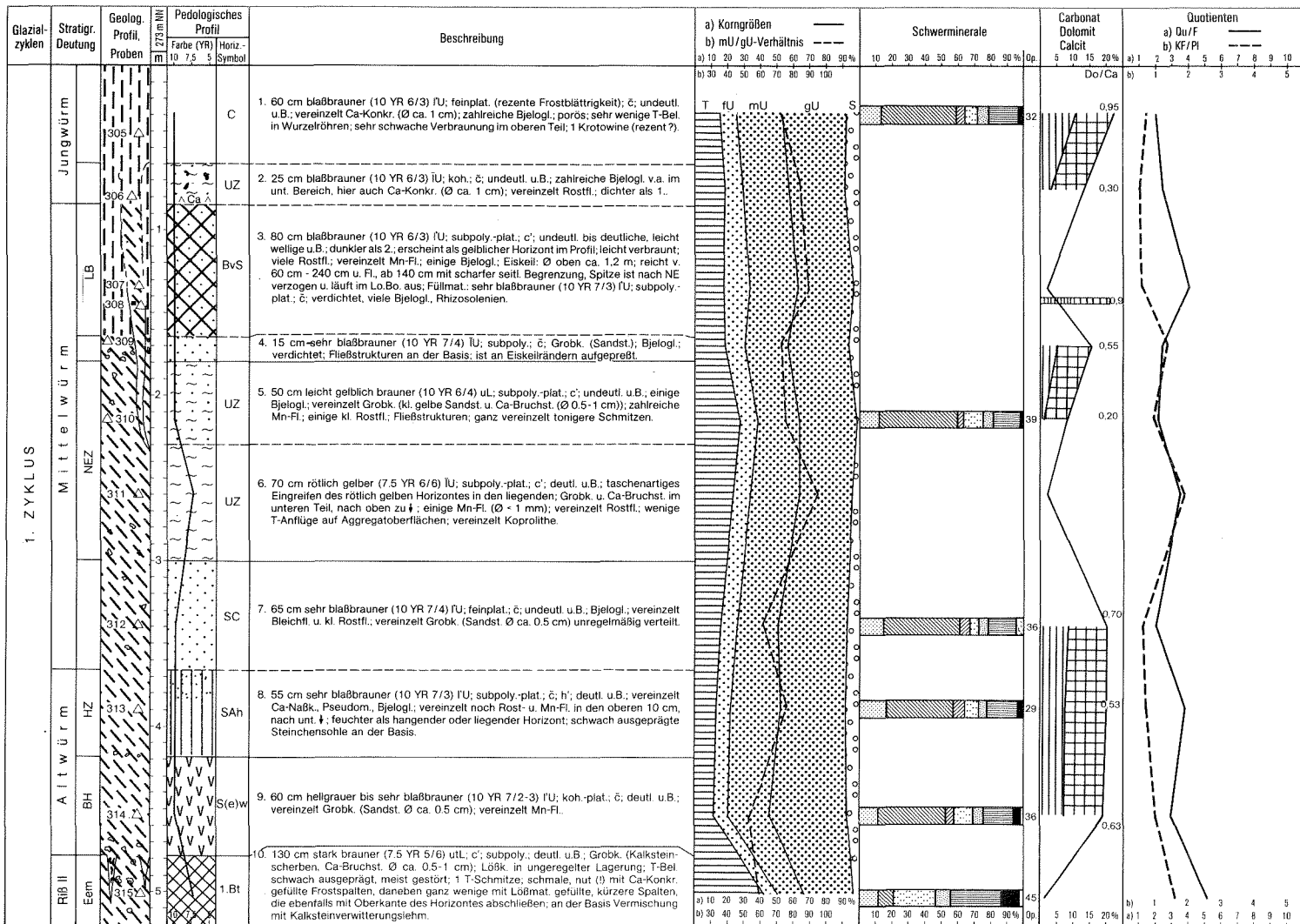


Beilage 8: Profil Laudenbach III

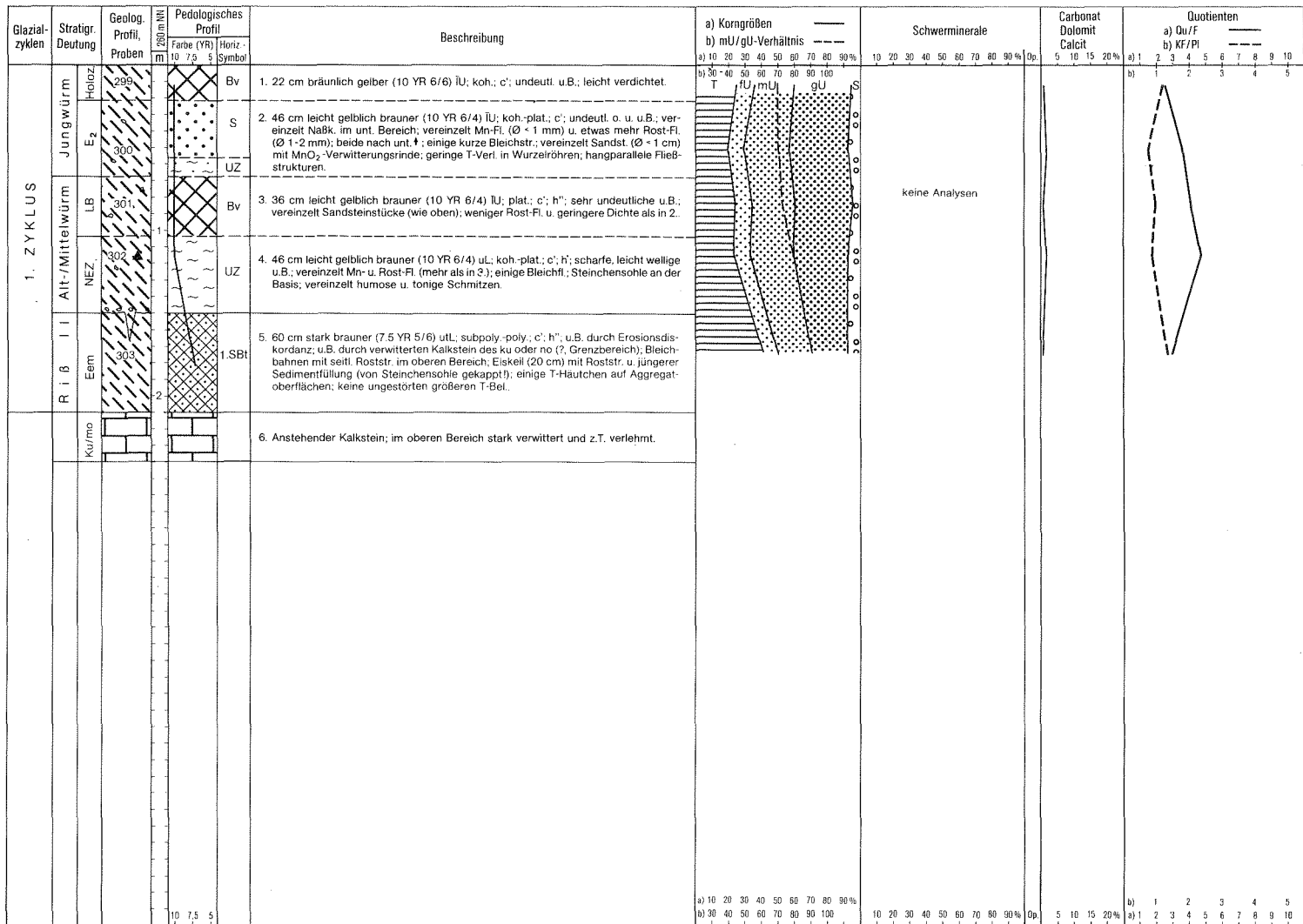




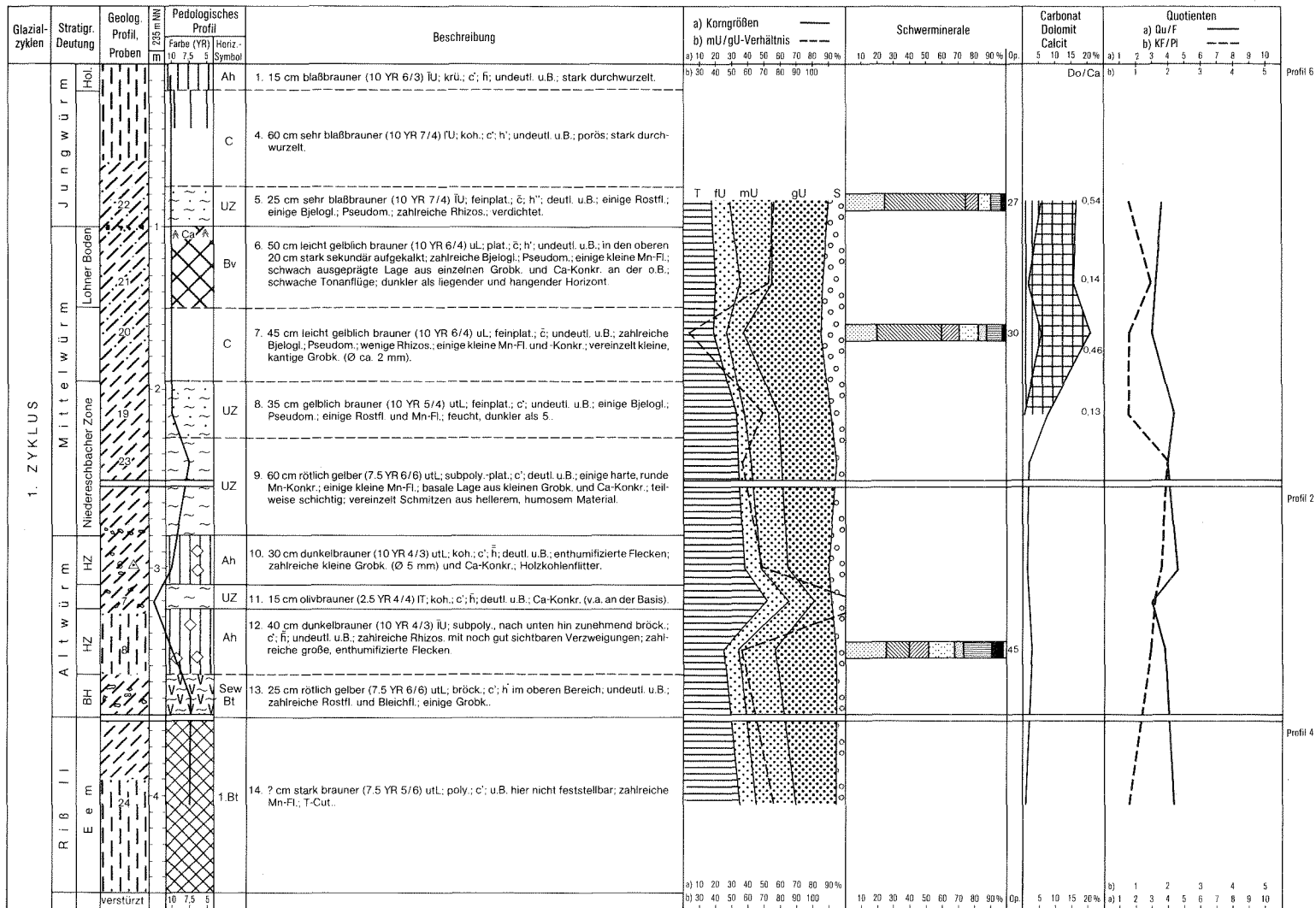
Beilage 9: Profil Kirchheim



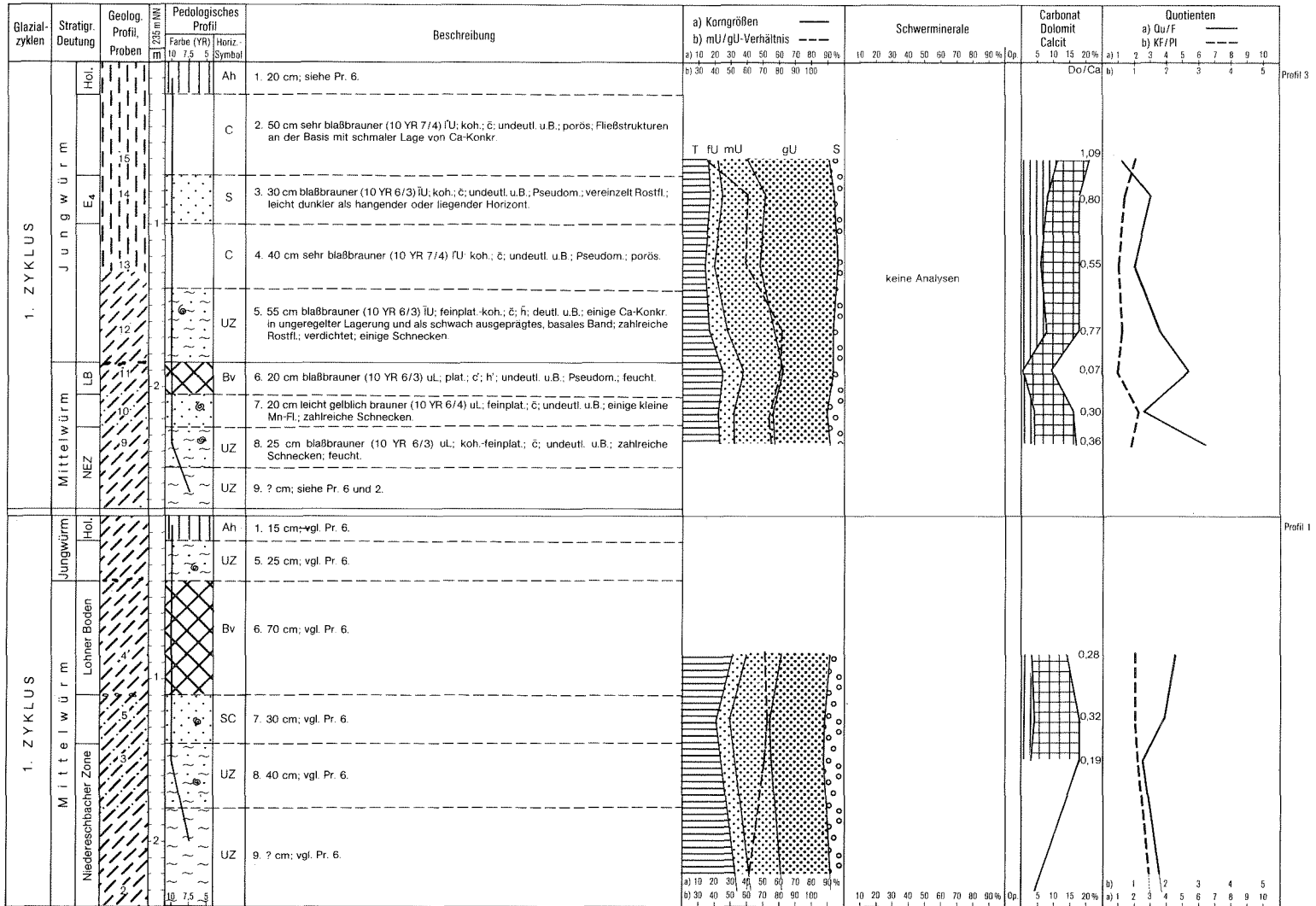
Beilage 10: Profil Estenfeld



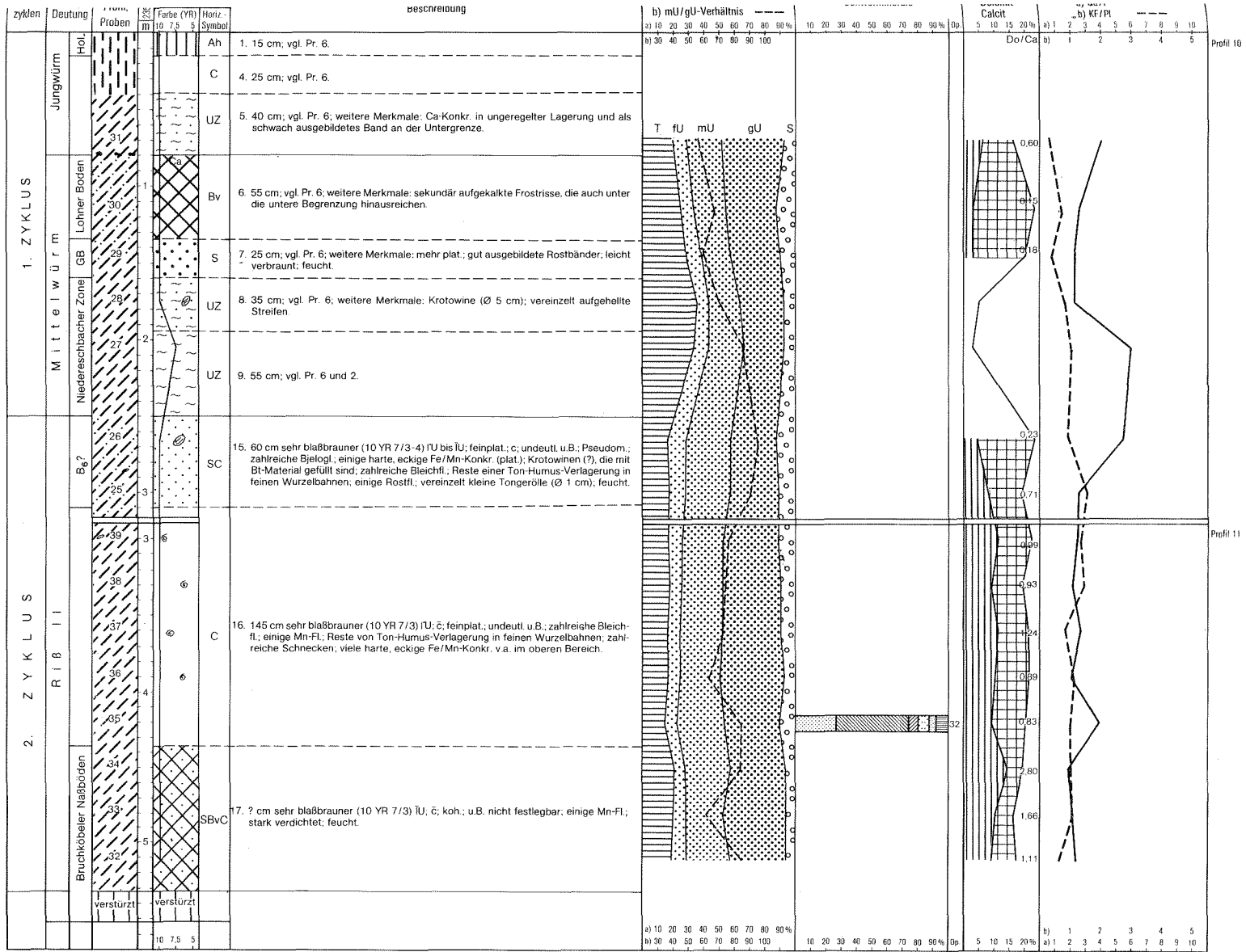
Beilage 11: Profil Binsbach



Beilage 12a: Profil Kitzingen (Sammelprofil aus den Einzelprofilen 6, 2 und 4; SE-exp. Wand)

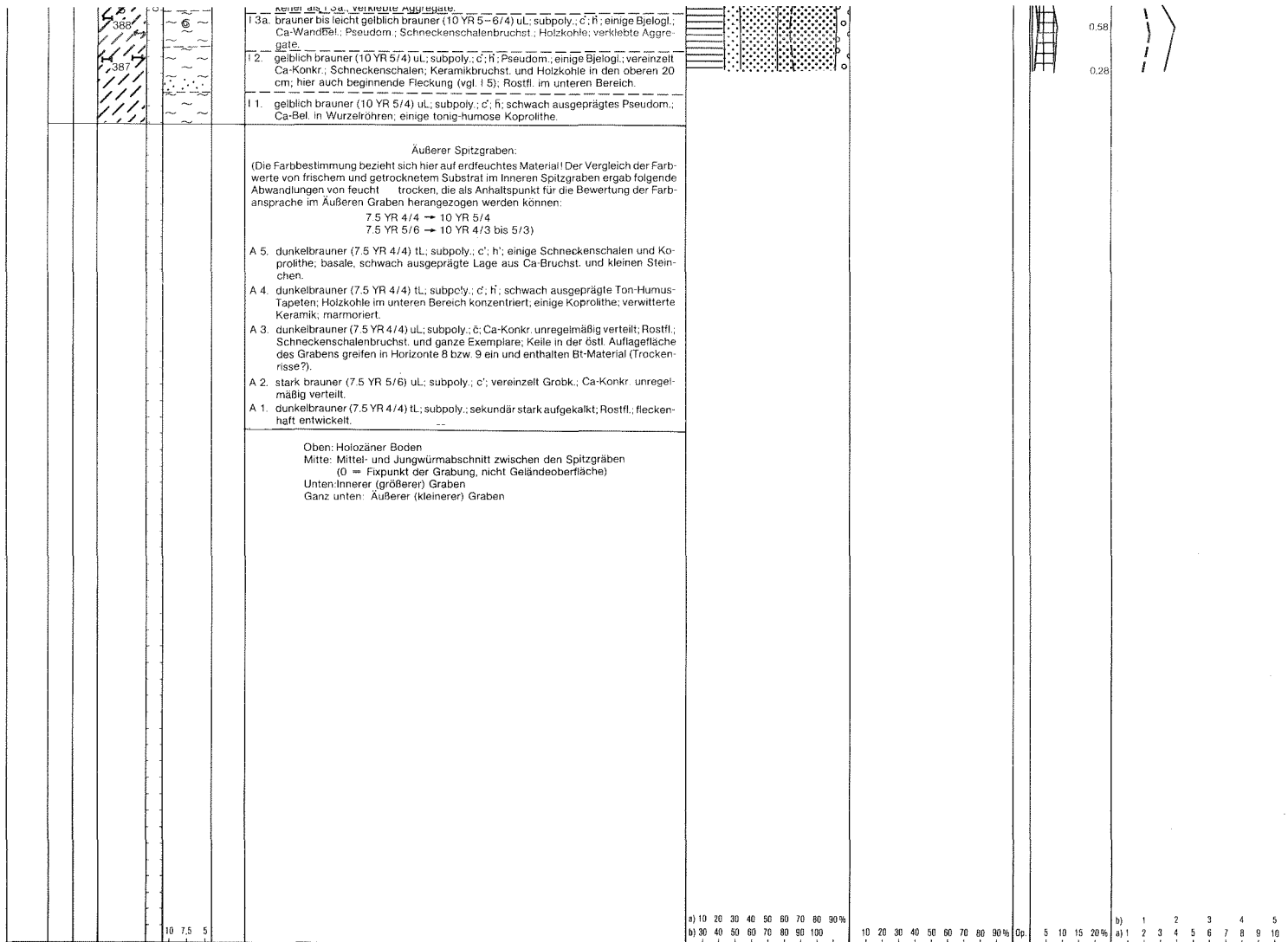


Beilage 12b: Profil Kitzingen (Einzelpreise 3 und 1; S—exponierte Wand)

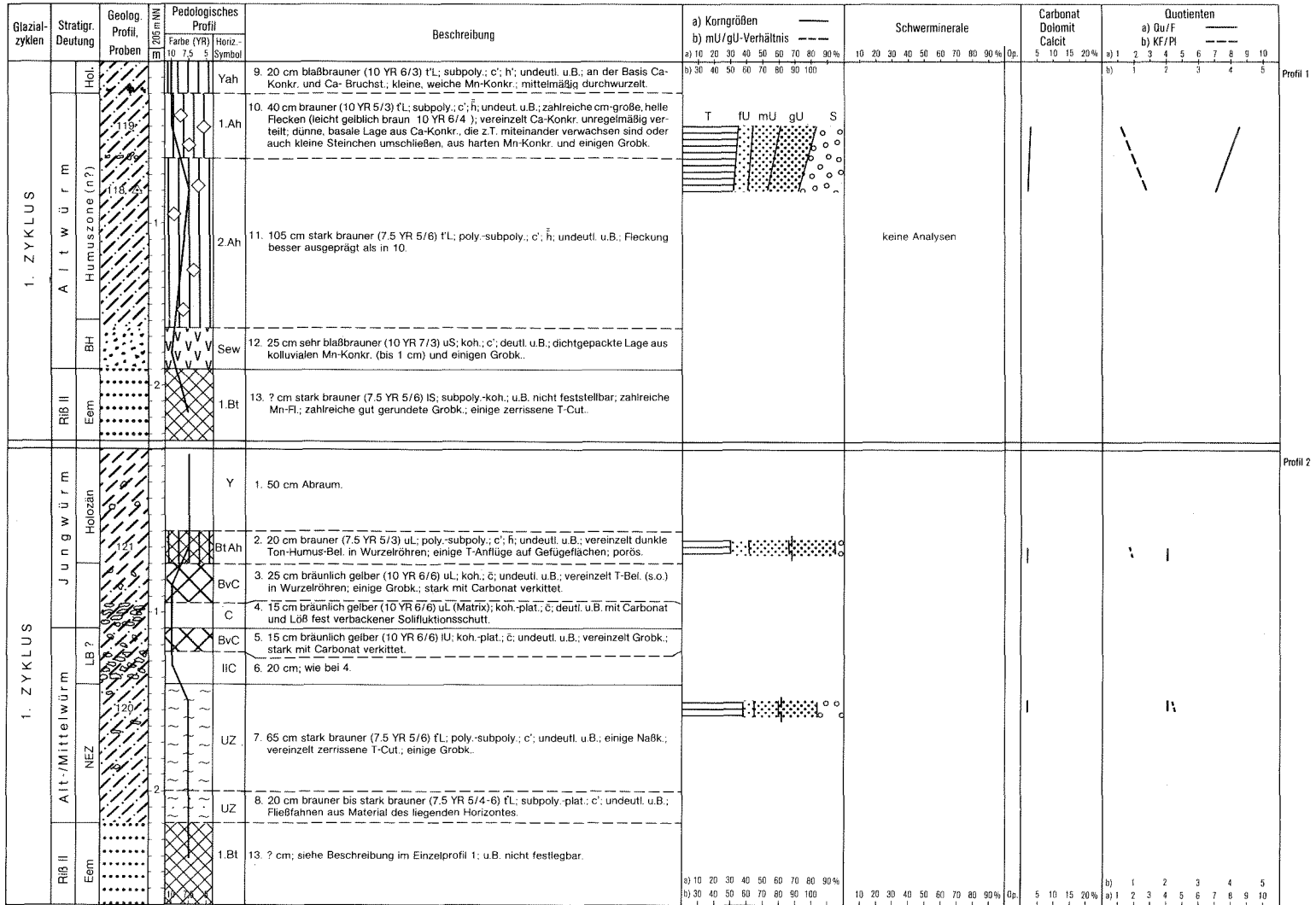


Beilage 12c: Profil Kitzingen (E-exp. Aufschlußwand; Sammelprofil aus den Einzelprofilen 10 und 11)

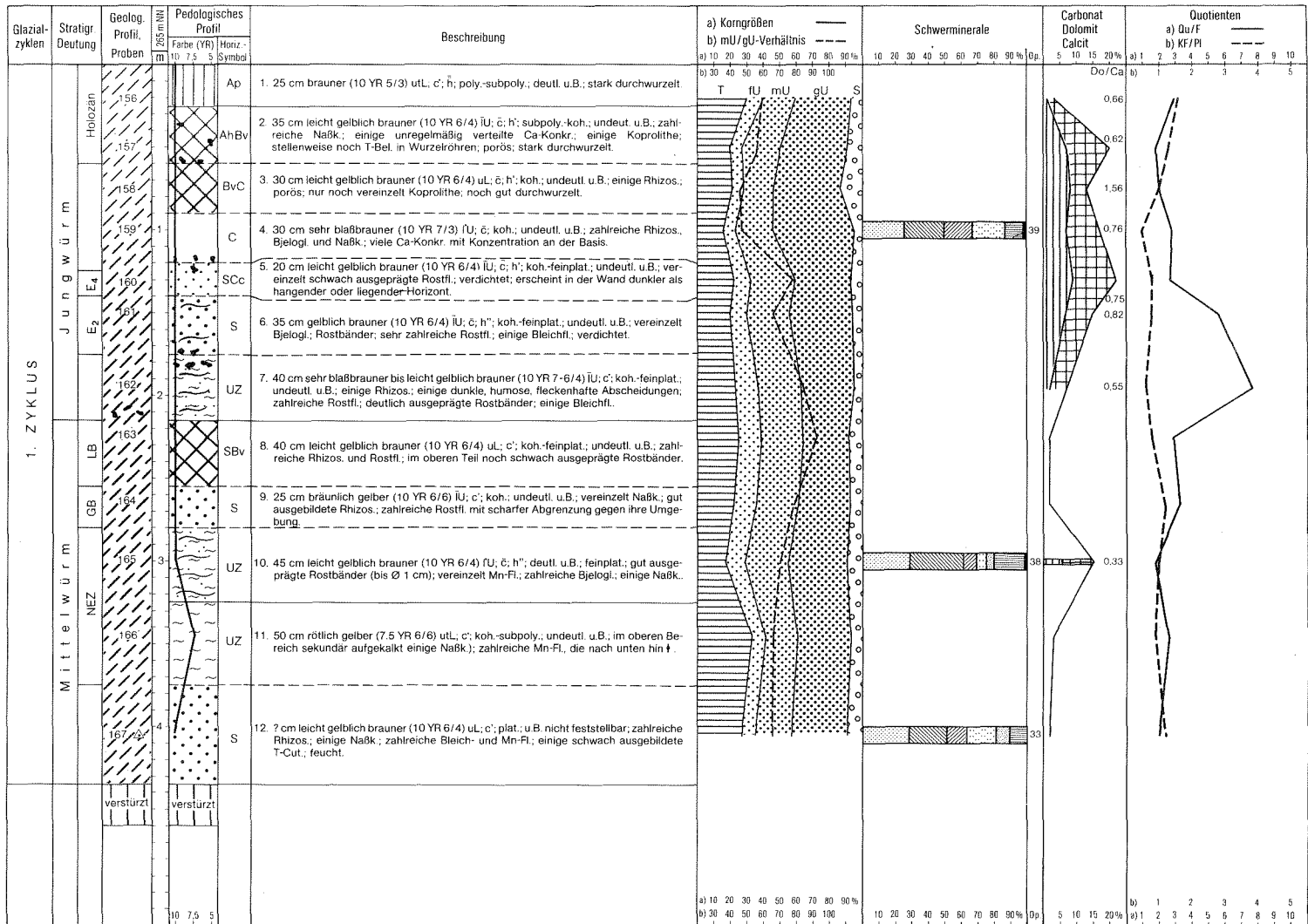
Glazial- zyklen	Stratigr. Deutung	Geolog. Profil, Farbe (YR) Proben	Pedologisches Profil Horiz.- Symbol	Beschreibung	a) Korngrößen b) mU/gU-Verhältnis	Schwerminerale	Carbonat Dolomit Calcit	Quotienten	
								a) Ou/F	b) KF/PI
					a) 10 20 30 40 50 60 70 80 90% b) 30 40 50 60 70 80 90 100	10 20 30 40 50 60 70 80 90% Op.	5 10 15 20%	a) 1 2 3 4 5 b) 1 2 3 4 5	
1. ZYKLUS	Jungwürm	Holozän		1. 20 cm gelblich brauner (10 YR 5/4) uL; subpoly.; h; deutl. u.B.; basale Steinchensohle.		keine Analysen			
				2. 20 cm gelblich brauner (10 YR 5/6) IU; subpoly.-koh.; c'; h; deutl. u.B.; basale Steinchensohle; miteinander verklebte Aggregate.					
				3. 10 cm brauner (7.5 YR 5/4) uL; subpoly.-koh.; c'; h'; undeutl. u.B.					
				4. 40 cm dunkelbrauner (7.5 YR 4/4) uL; poly.; c'; undeutl. u.B.; in den untersten 10 cm bereits deutlich c'; T-Cut.					
				5. 20 cm gelblich brauner (10 YR 5/6) IU; subpoly.-koh.; c; undeutl. u.B.; T-Bel. in Wurzelröhren.					
				6. 7 cm gelblich brauner (10 YR 5/6) IU; plat.; c; T-Bel. in Feinwurzelröhren; einige Tongerölle (2-4 mm).					
	Mittelwürm	Eg, E2, E1, LBII, LBI, NEZ		6. 45 cm gelblich brauner (10 YR 5/4) IU; subpoly.-feinplat.; c'; h; undeutl. u.B.; vereinzelt Ca-Konkr.; tonverfüllte Tier- und Wurzelgänge; vereinzelt Koprolithe; verklebte Aggregate.		keine Analysen			
				7. 20 cm gelblich brauner (10 YR 5/4) IU; subpoly.; c; h'; deutl. u.B.; einige Ca-Konkr. (Ø 2 cm); Pseudom.; zahlreiche Rostfl.; basale Sohle aus Ca-Bruchst.; verklebte Aggregate.					
				8. 25 cm leicht gelblich brauner (10 YR 6/4) uL; koh.-plat.; c; h'; deutl. u.B.; Ca-Konkr. im oberen Bereich (Ø 2 cm); einige Rostfl. (Ø 2 mm); vereinzelt T-Bel. in Feinwurzelröhren; verklebte Aggregate; Wechsel von hellen und dunklen Flecken in einer Einbuchtung des Horizontes nach unten, die bis zum Horiz. 10 reicht und dadurch den Horiz. 9 kappt.					
				9. 30 cm bräunlich gelber (10 YR 6/6) uL; plat.; c'; deutl. u.B.; meist gut abgegrenzte Rostfl. (Ø 4 mm); einige an der Obergrenze gekappte vertikale Kalkbahnen.					
				10. 20 cm leicht gelblich brauner (10 YR 6/4) IU; plat.; c; h'; undeutl. u.B.; gut ausgeprägtes Pseudom.; vereinzelt Mn-Fl.; vereinzelt Grobk. (Sandsteinbruchstücke bis 1 cm).					
				11. 10 cm leicht gelblich brauner (10 YR 6/4) IU; plat.; c; h'; undeutl. u.B.; schwach ausgeprägtes Pseudom.; einige Bjelogi.					
				12. 25 cm leicht gelblich brauner (10 YR 6/4) IU; plat.; c; deutl. u.B.; schwach ausgeprägtes Pseudom.; braune Fließfahnen; vereinzelt Grobk.					
				13. 30 cm leicht gelblich brauner (10 YR 6/4) IU; plat.; c; undeutl.; stellenweise deutl. u.B.; gut ausgeprägtes Pseudom.; verdichtet.					
14. ? cm sehr blaßbrauner (10 YR 7/4) IU; feinplat.; c; gut ausgeprägtes Pseudom.; Tongerölle (bis 0.5 mm); verdichtet.									
Jungwürm	Holozän		17. brauner bis leicht gelblich brauner (10 YR 5-6/4) uL; subpoly.; c'; h'; Ca-Konkr. unregelmäßig verteilt; vereinzelt Grobk.; Fleckung, an östlicher Auflagfläche des Spitzgrabens Ca-Konkr. und Grobk. als Steinsohle ausgebildet (?); Holzkohle im unteren 1/3; heller als Liegendes.		keine Analysen				
			16. brauner (10 YR 5/4) uL; c; subpoly.; Ca-Konkr. unregelmäßig verteilt; Keramikstückchen und Holzkohle; noch schwach durchwurzelt (Feinwurzeln); hellere Fleckung.						
			15. dunkelbrauner (10 YR 4/3) uL; subpoly.; c; h' - fi; schwach ausgeprägtes Pseudom.; Ca-Konkr. unregelmäßig verteilt; vereinzelt Schneckenschalen; einige Ziegelbruchst. (Ø 1 cm); Wechsel von z.T. gut abgegrenzten hellen und dunklen (humosen) Flecken; verklebte Aggregate, insgesamt chaotisches Gemenge.						
			14. brauner bis leicht gelblich brauner (10 YR 5-6/4) uL; subpoly.; c'; h'; einige Koprolithe; einige Schneckenschalen; verklebte Aggregate.						
			13b. brauner bis leicht gelblich brauner (10 YR 5-6/4) uL; subpoly.; c'; h'; einige Ca-Bruchst.; Pseudom.; einige Grobk. (Ø 1 cm); Holzkohle im oberen Bereich, trockener als 13a; verklebte Aggregate.						
13a. brauner bis leicht gelblich brauner (10 YR 5-6/4) uL; subpoly.; c'; h'; einige Bjelogi; Ca-WandBel.; Pseudom.; Schneckenschalenbruchst.; Holzkohle; verklebte Aggregate.									



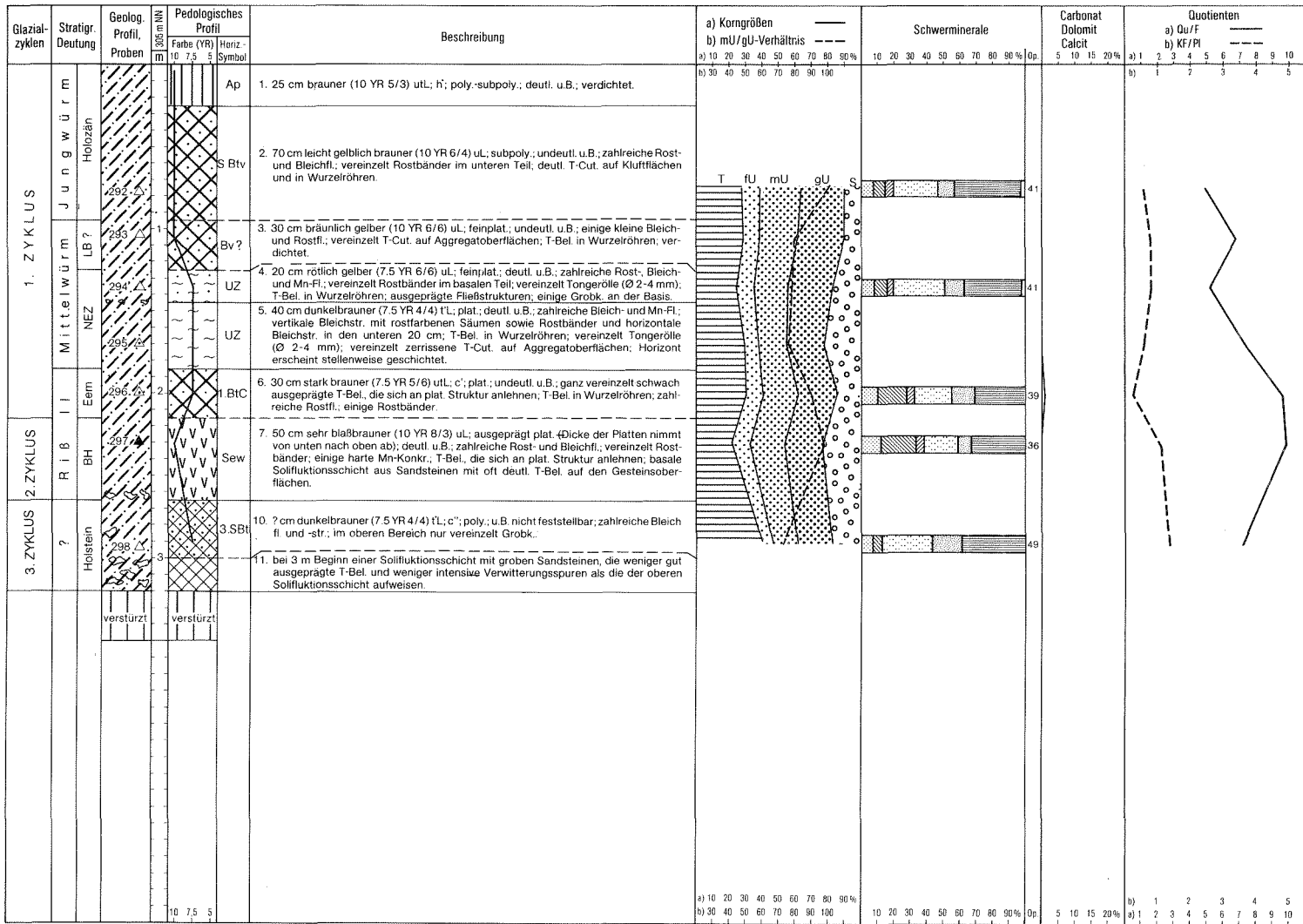
Beilage 13: Profil Marktbreit (Ausgrabung)



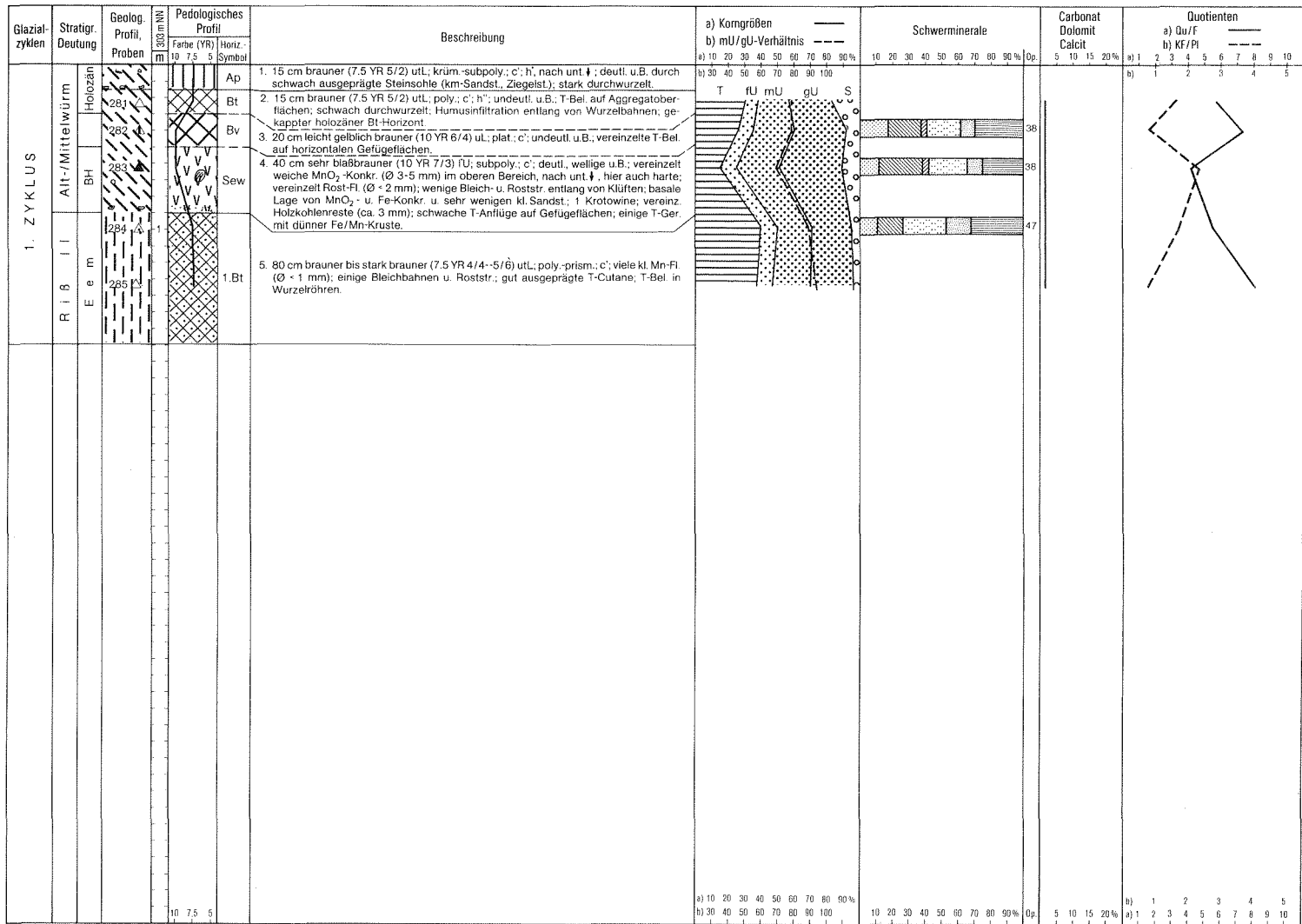
Beilage 14: Profil Obereisenheim (Einzelprofile 1 und 2)



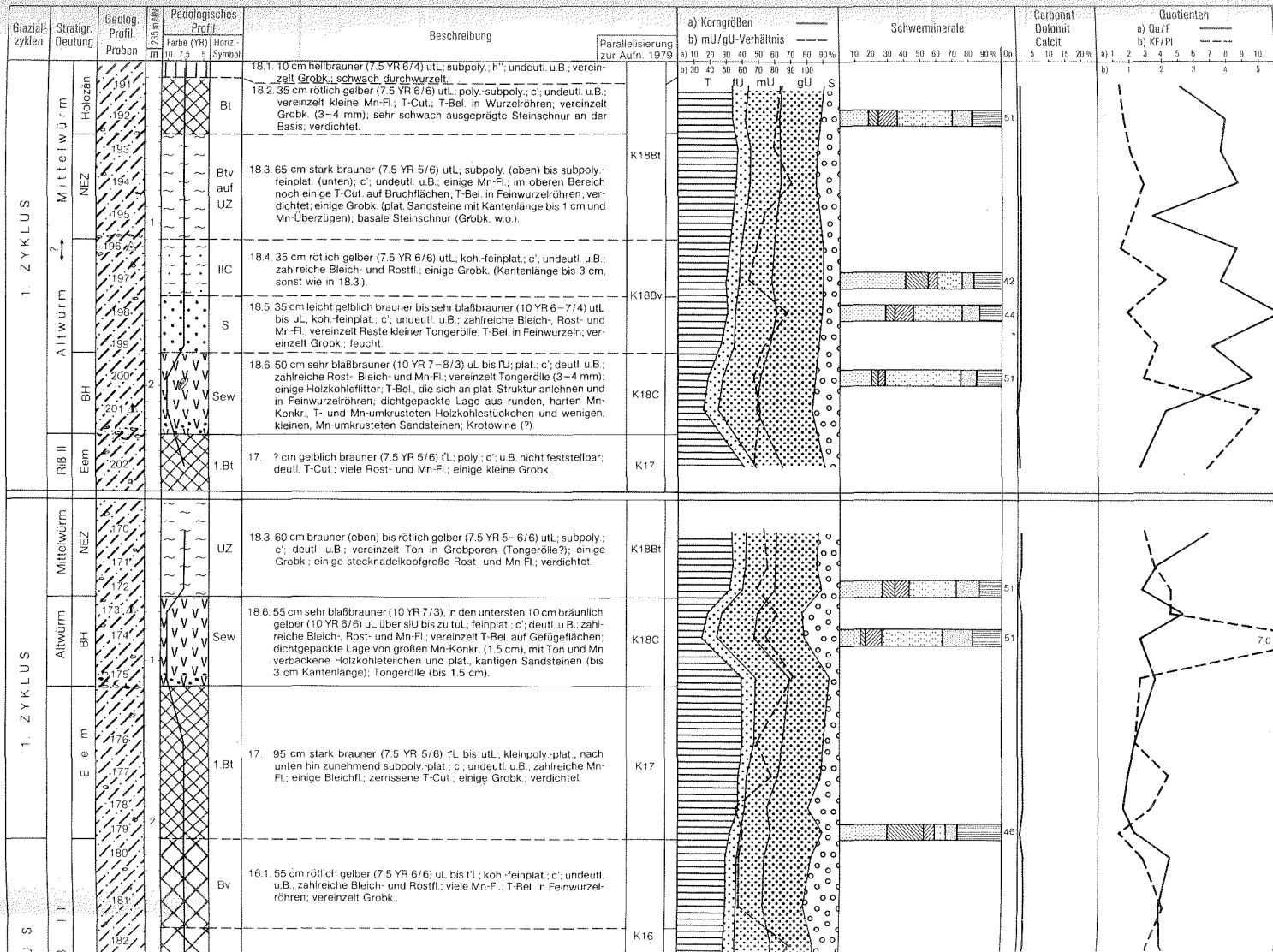
Beilage 15: Profil Krautheim



Beilage 16: Profil Untersteinbach



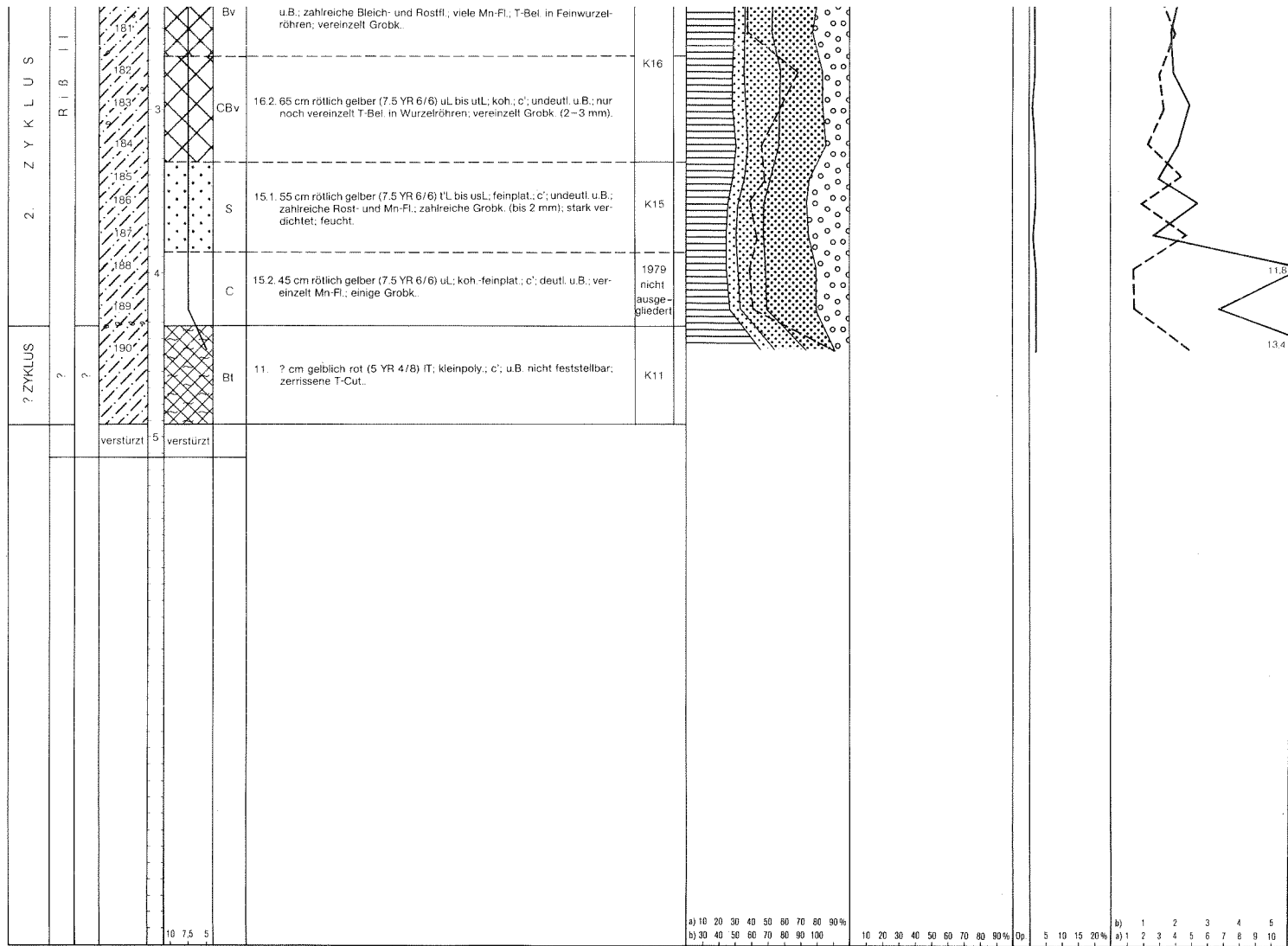
Beilage 17: Profil Mühlendorf



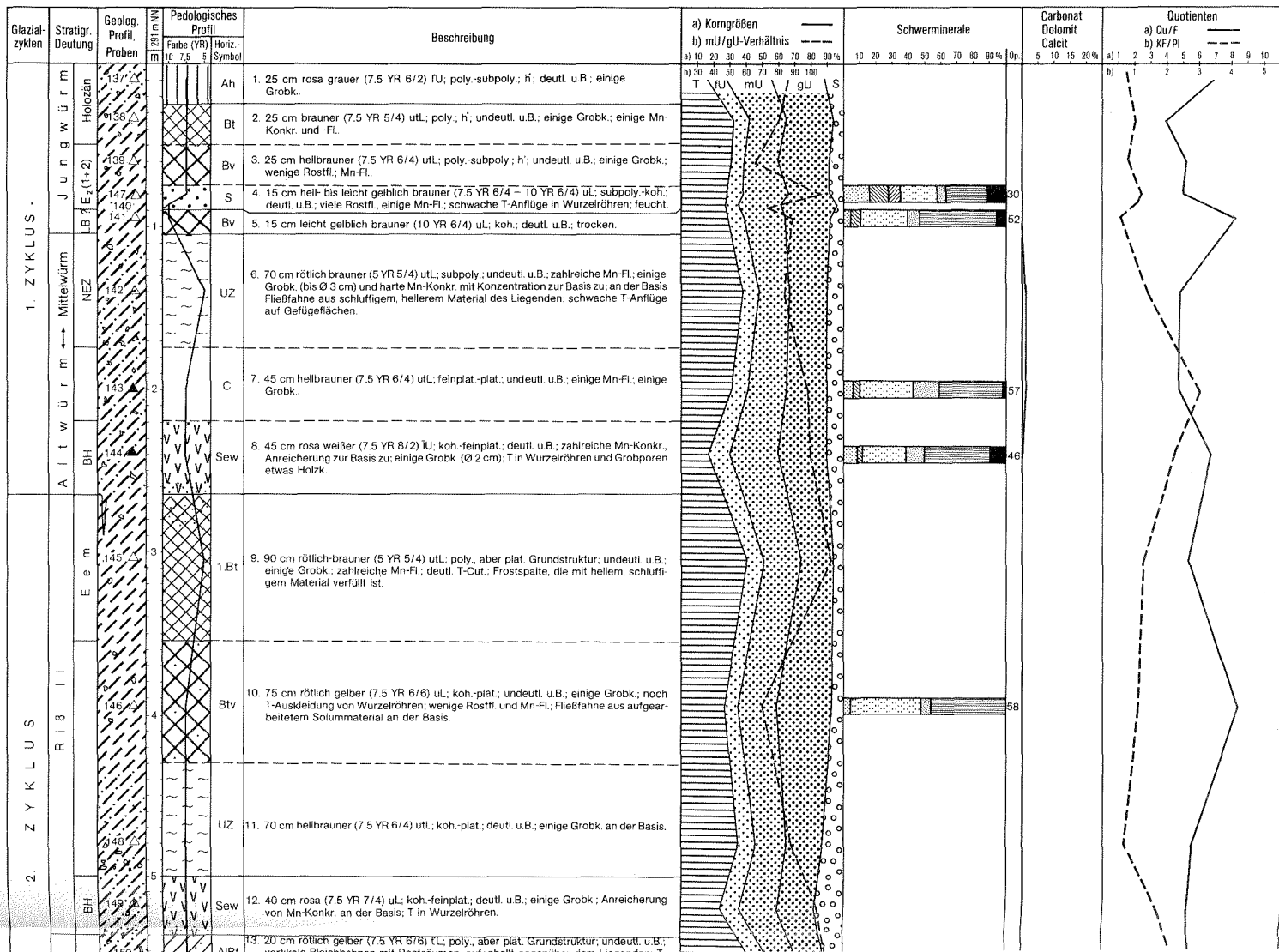
Profil 1 (Gautstadt II)

Profil 2 (Gautstadt II)

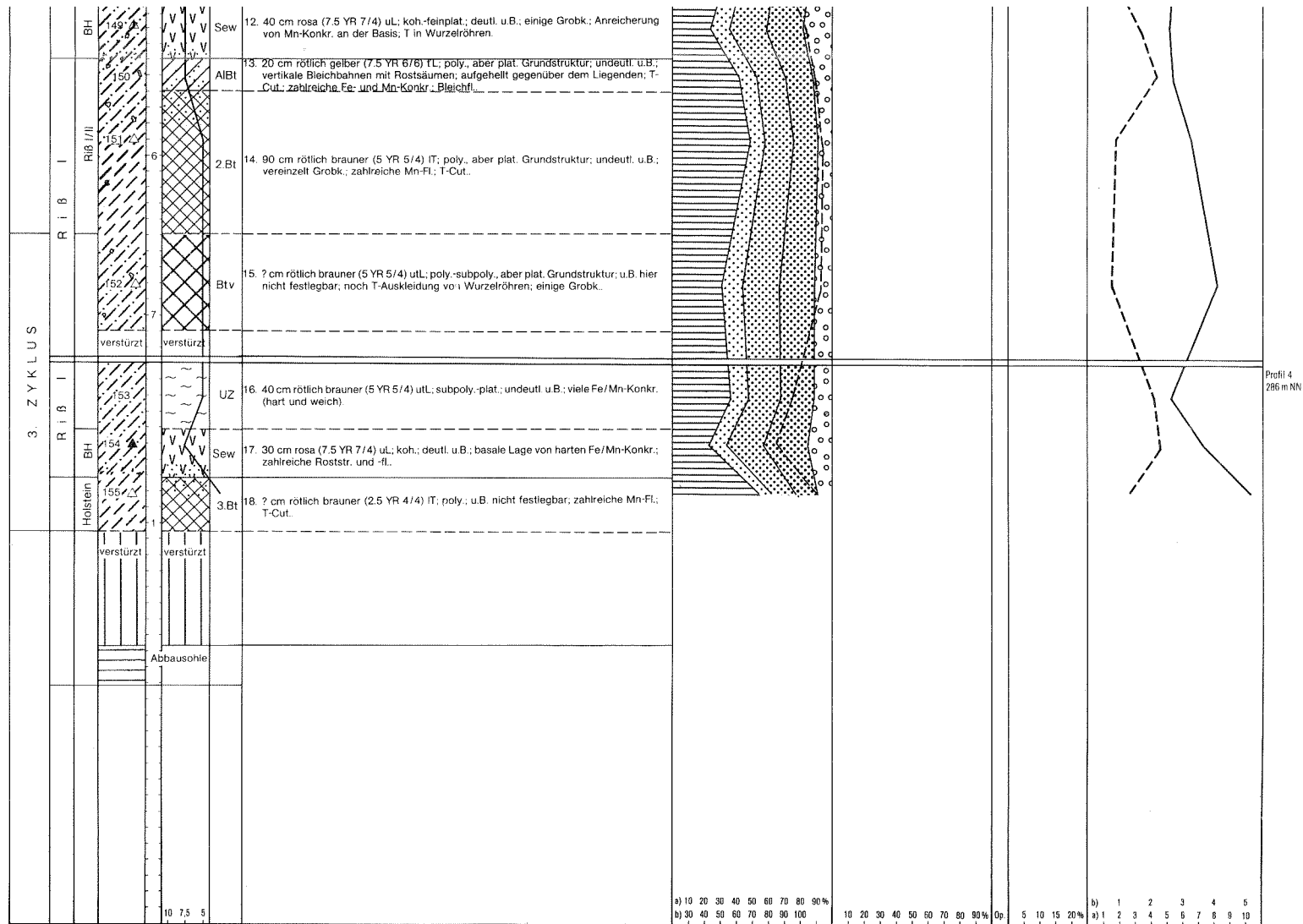
7.0



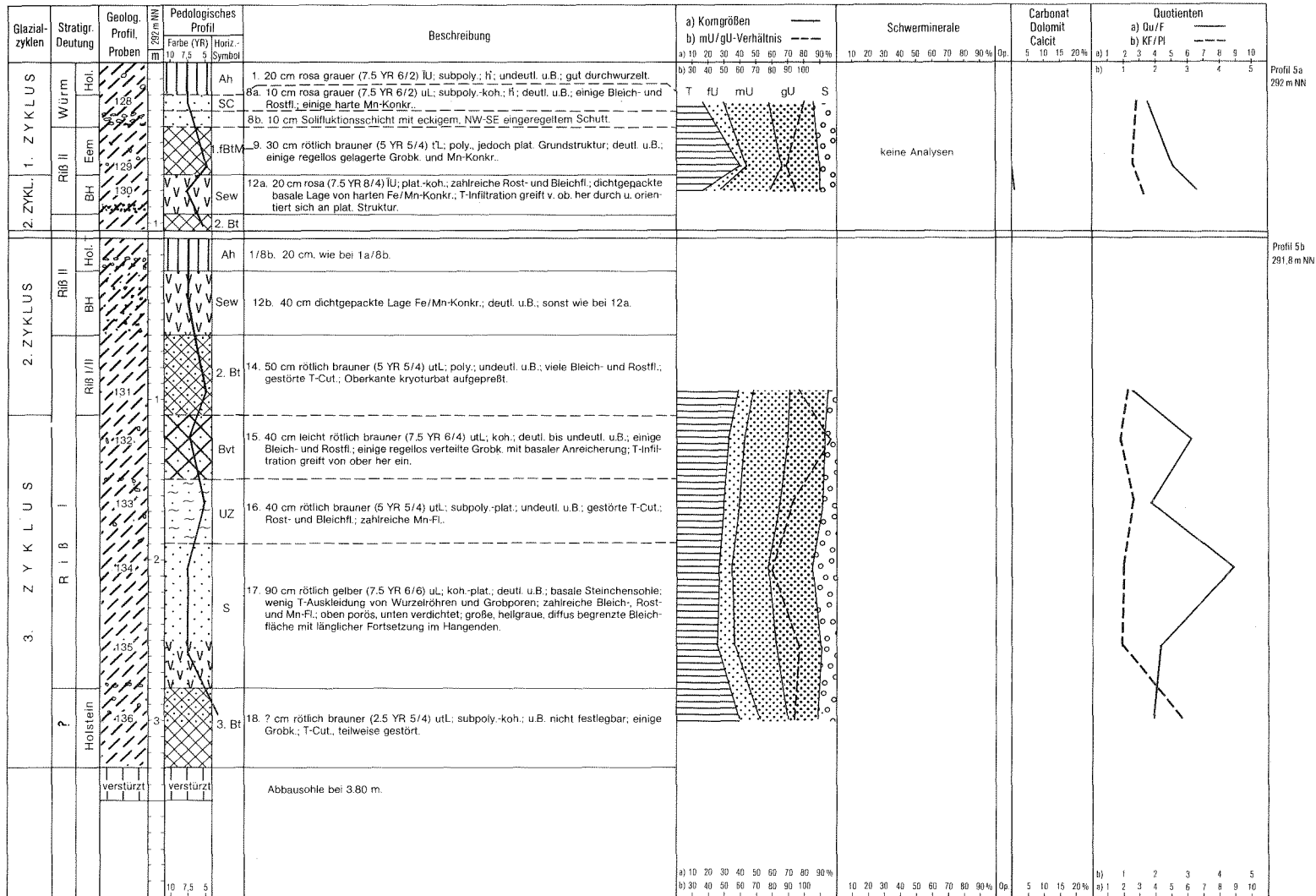
Beilage 18: Profil Gaustadt (G II entspricht dem Profil von RÖSNER 1982; G III entspricht einem 20 m N von G II und parallel dazu verlaufenden Profil)



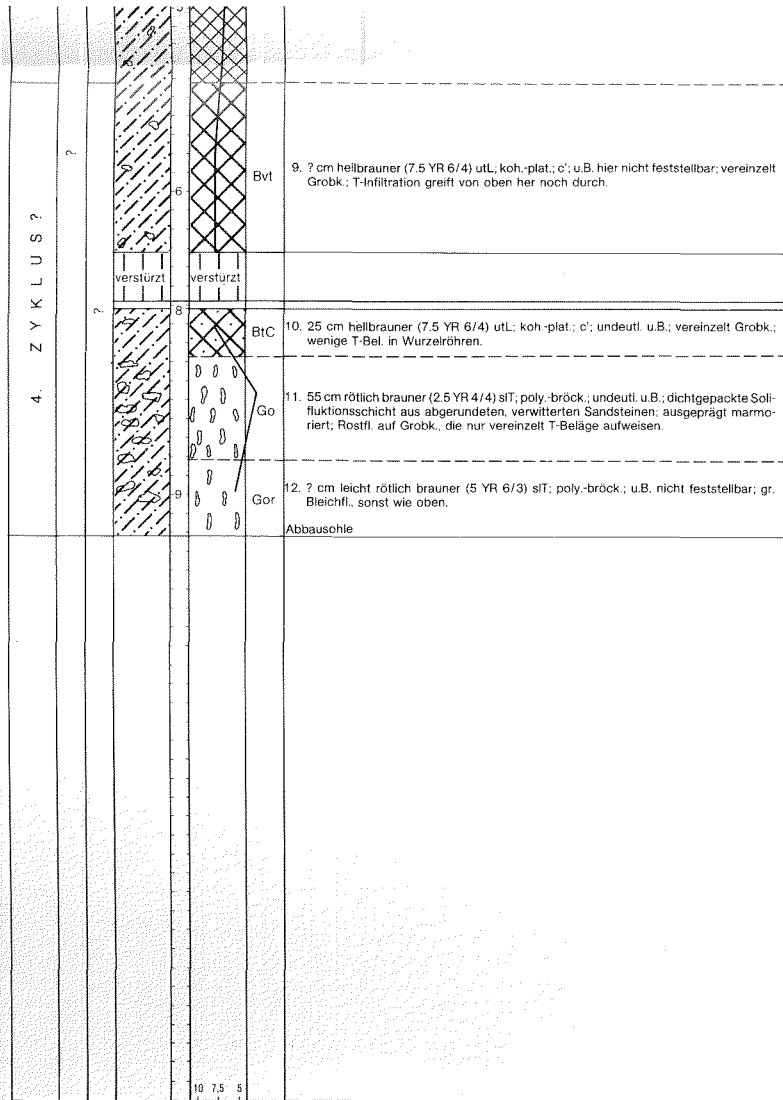
Profil zu 3
291 m NN



Beilage 19a: Profil Lebnhan (Einzelprofile 2, 3 und 4)



Beilage 19b: Profil Lehenhan (Einzelprofile 5a und 5b)



Bvt 9. ? cm hellbrauner (7.5 YR 6/4) u/L; koh.-platt.; c'; u.B. hier nicht feststellbar; vereinzelte Grobk.; T-Infiltration greift von oben her noch durch.

verstürzt verstürzt

BtC 10. 25 cm hellbrauner (7.5 YR 6/4) u/L; koh.-platt.; c'; undeutl. u.B.; vereinzelte Grobk.; wenige T-Bel. in Wurzelröhren.

Go 11. 55 cm rötlich brauner (2.5 YR 4/4) s/l; poly.-bröck.; undeutl. u.B.; dichtgepackte Solifluktionsschicht aus abgerundeten, verwitterten Sandsteinen; ausgeprägt marmoriert; Rostfl. auf Grobk., die nur vereinzelte T-Beläge aufweisen.

Gor 12. ? cm leicht rötlich brauner (5 YR 6/3) s/l; poly.-bröck.; u.B. nicht feststellbar; gr. Bleichfl., sonst wie oben.

Abbauschle

10 7.5 5

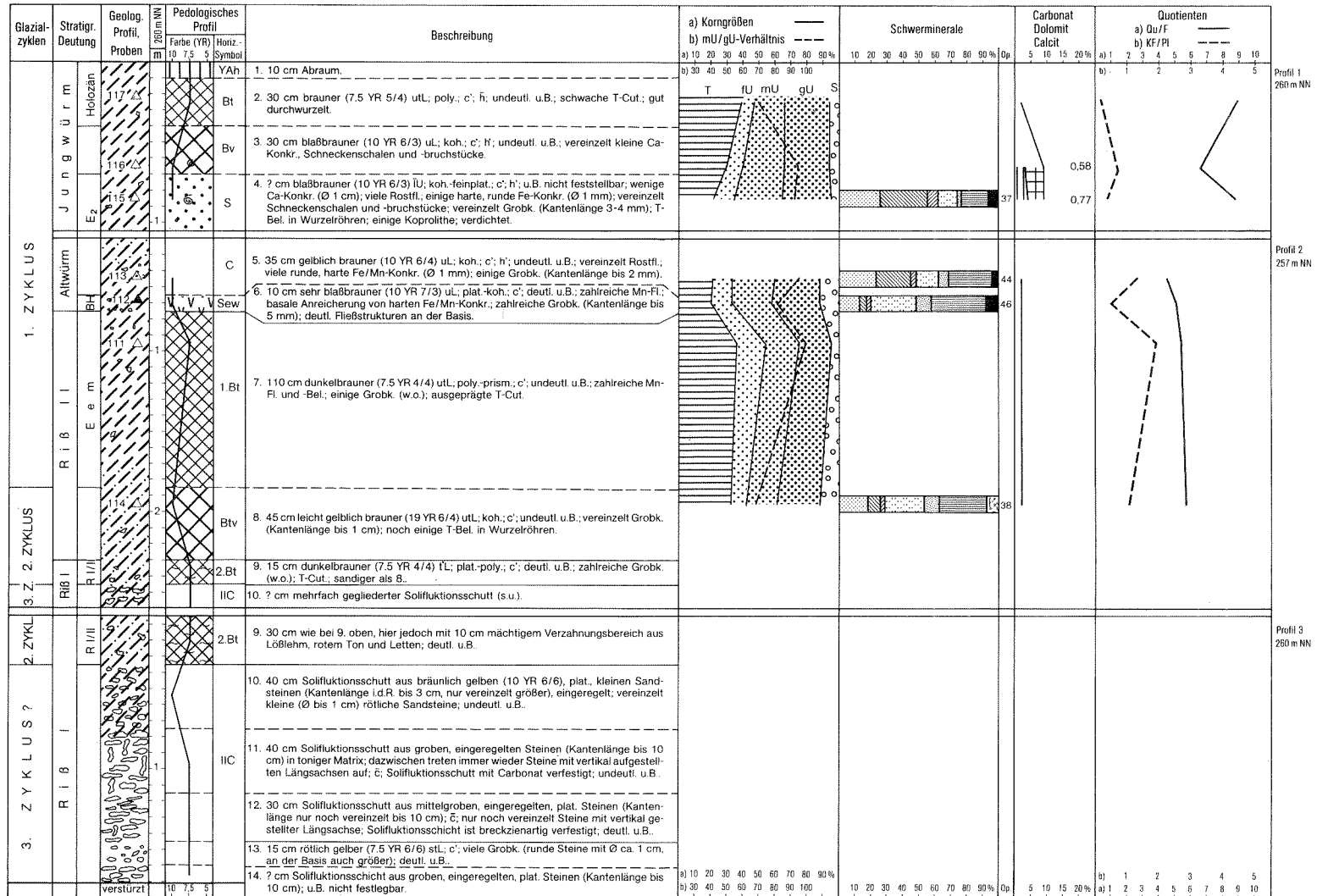
a) 10 20 30 40 50 60 70 80 90%
b) 30 40 50 60 70 80 90 100

10 20 30 40 50 60 70 80 90% Op

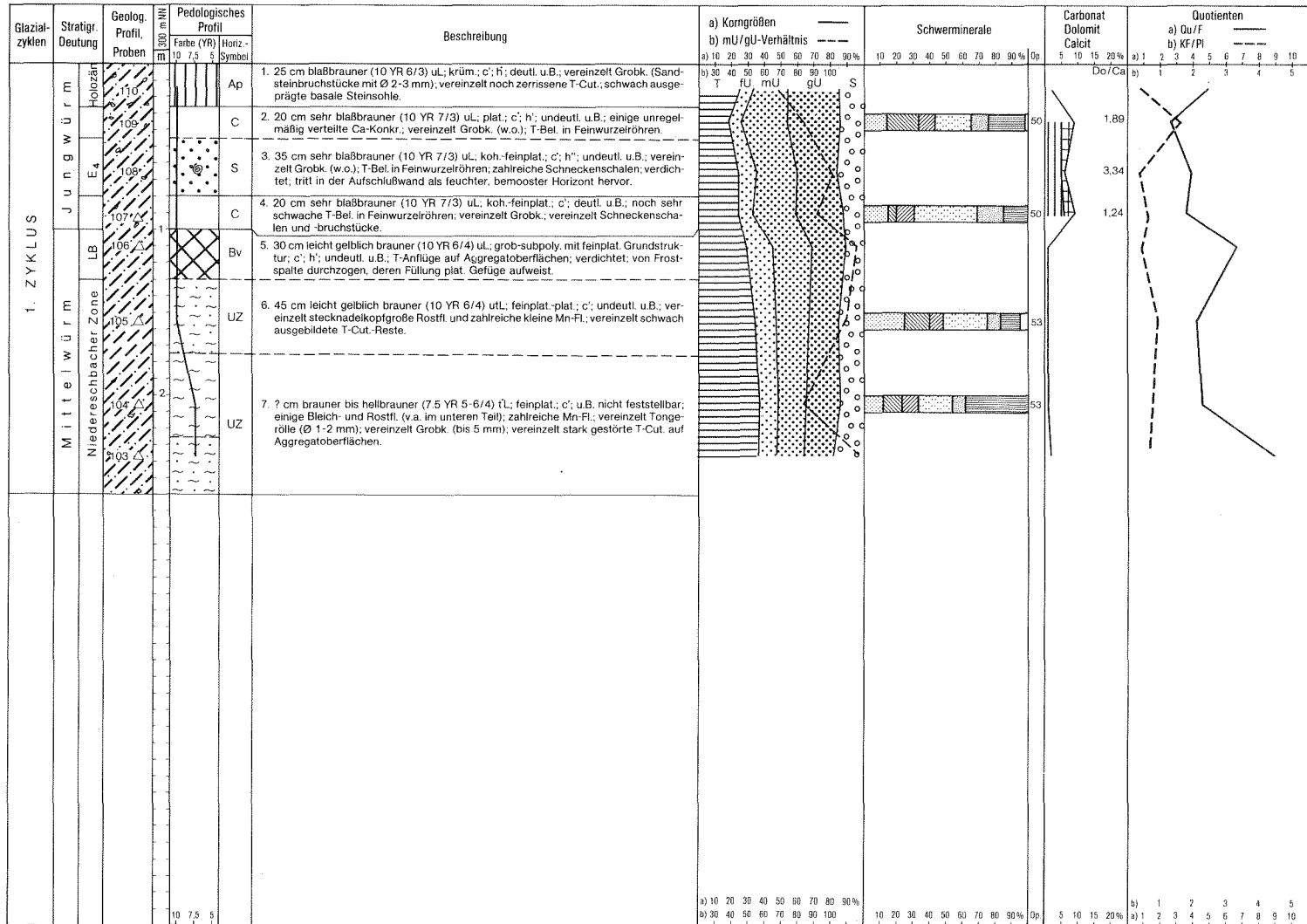
5 10 15 20%

b) 1 2 3 4 5
a) 1 2 3 4 5 6 7 8 9 10

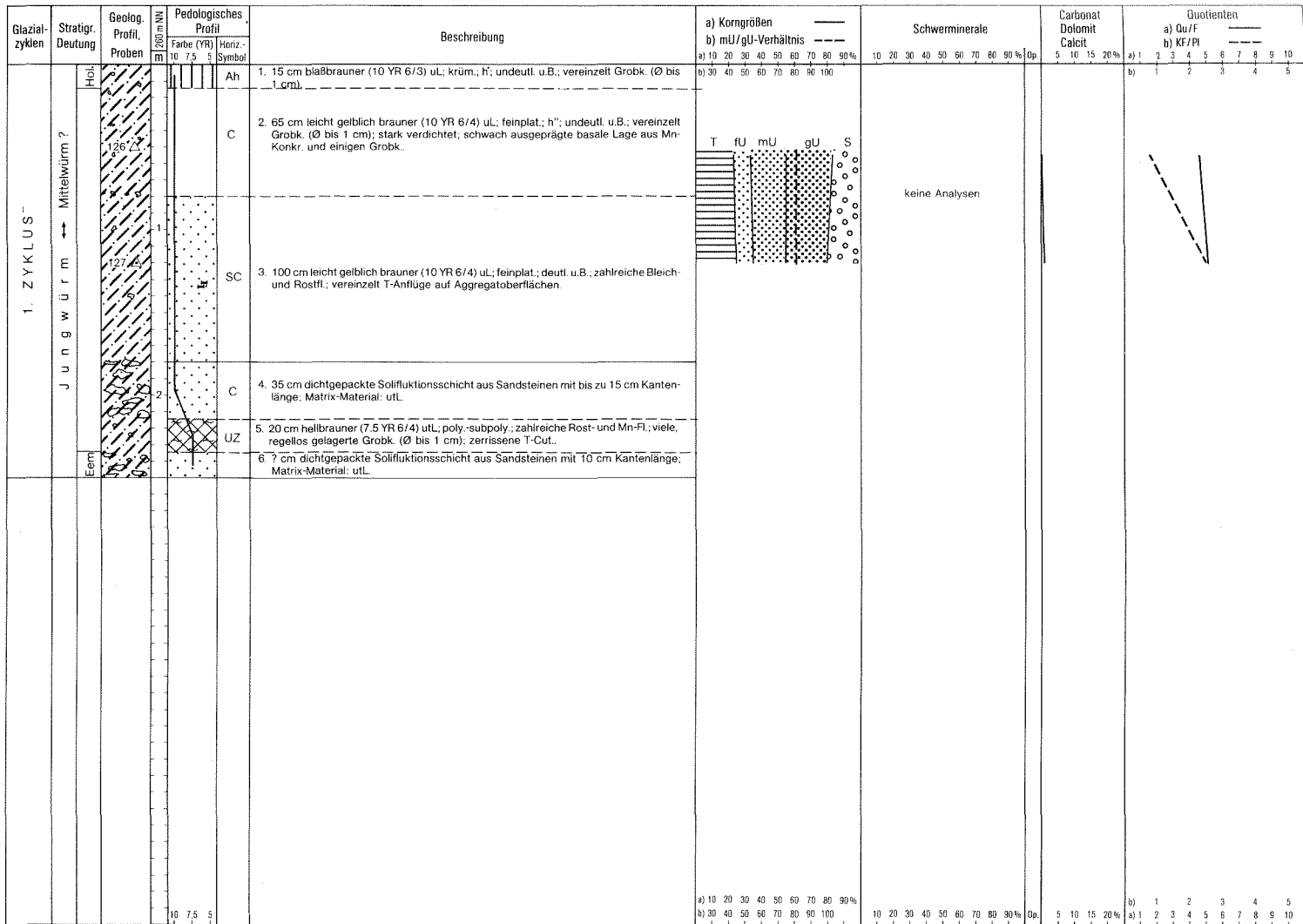
Beilage 20: Profil Eifershäuser



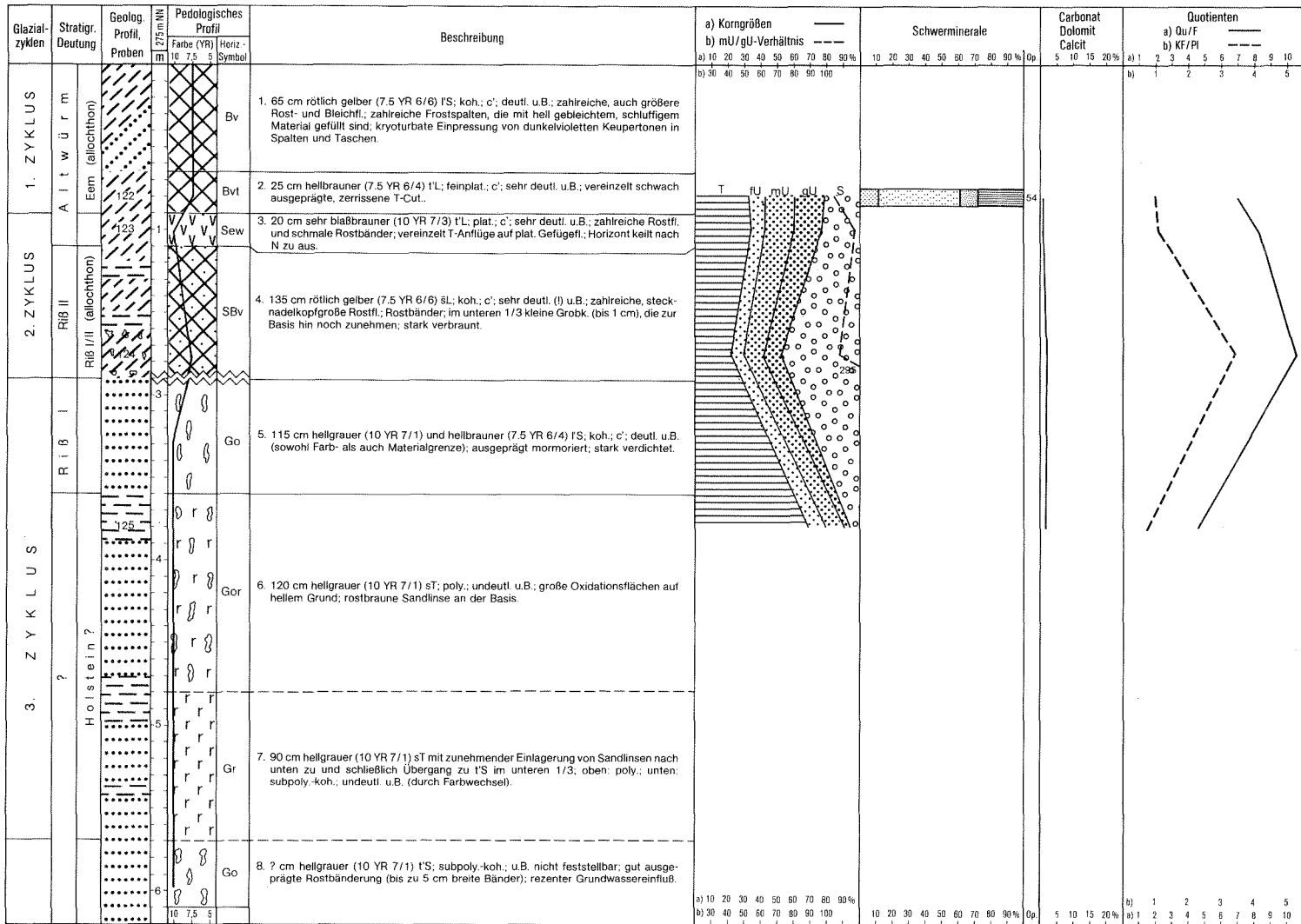
Beilage 21: Profil Rügheim (Einzelprofile: SE-exp. Wand: 1 und 2; E-exp. Wand: 3)



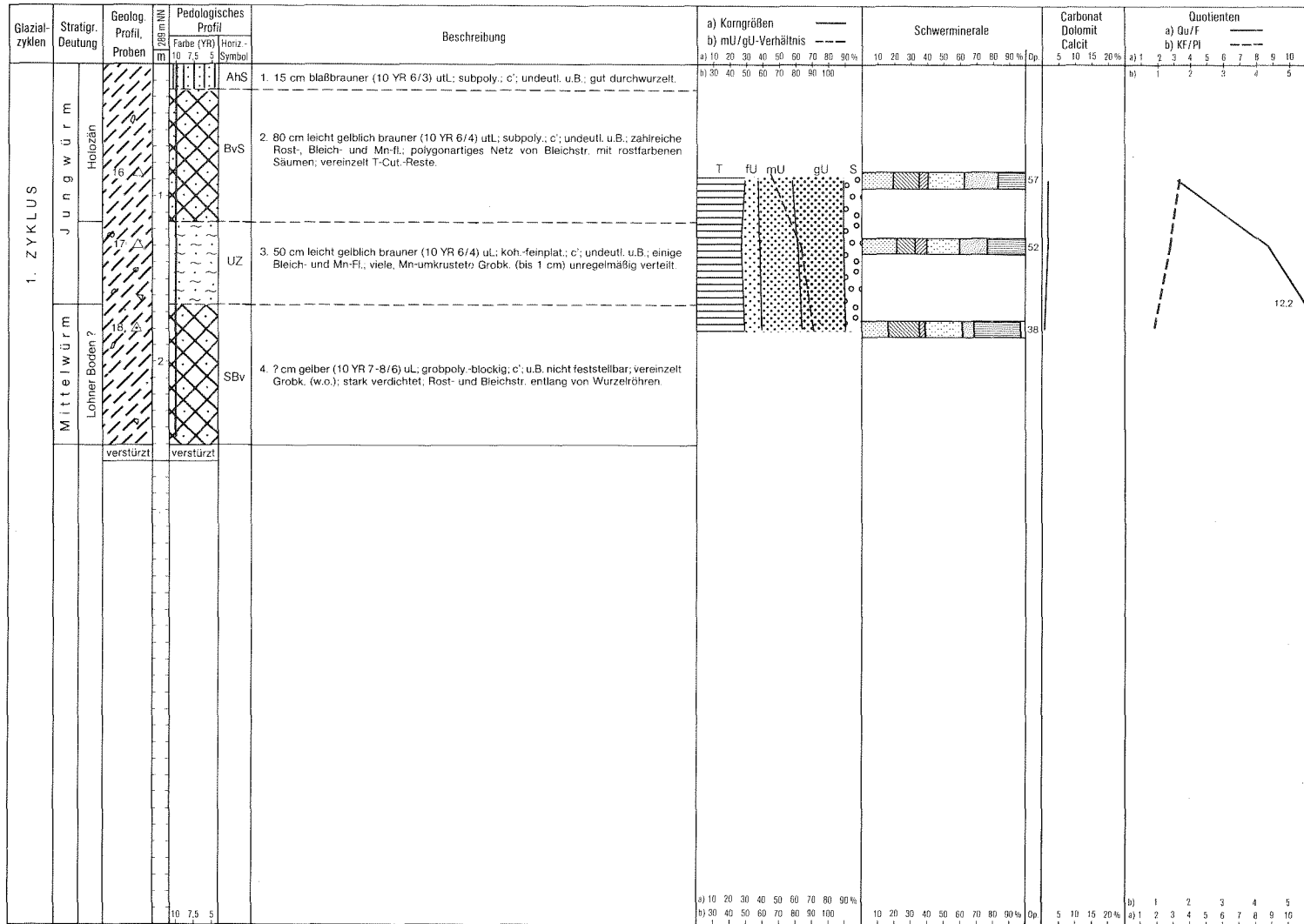
Beilage 22: Profil Altershausen I



Beilage 23: Profil Altershausen II

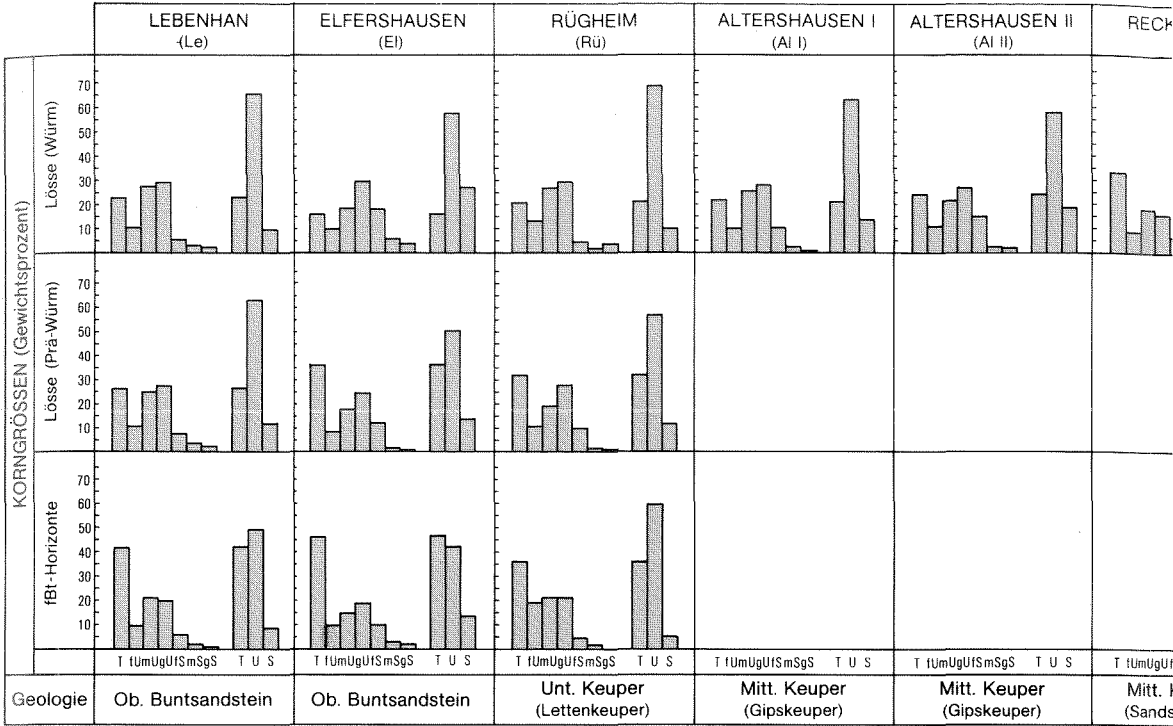


Beilage 24: Profil Reckendorf

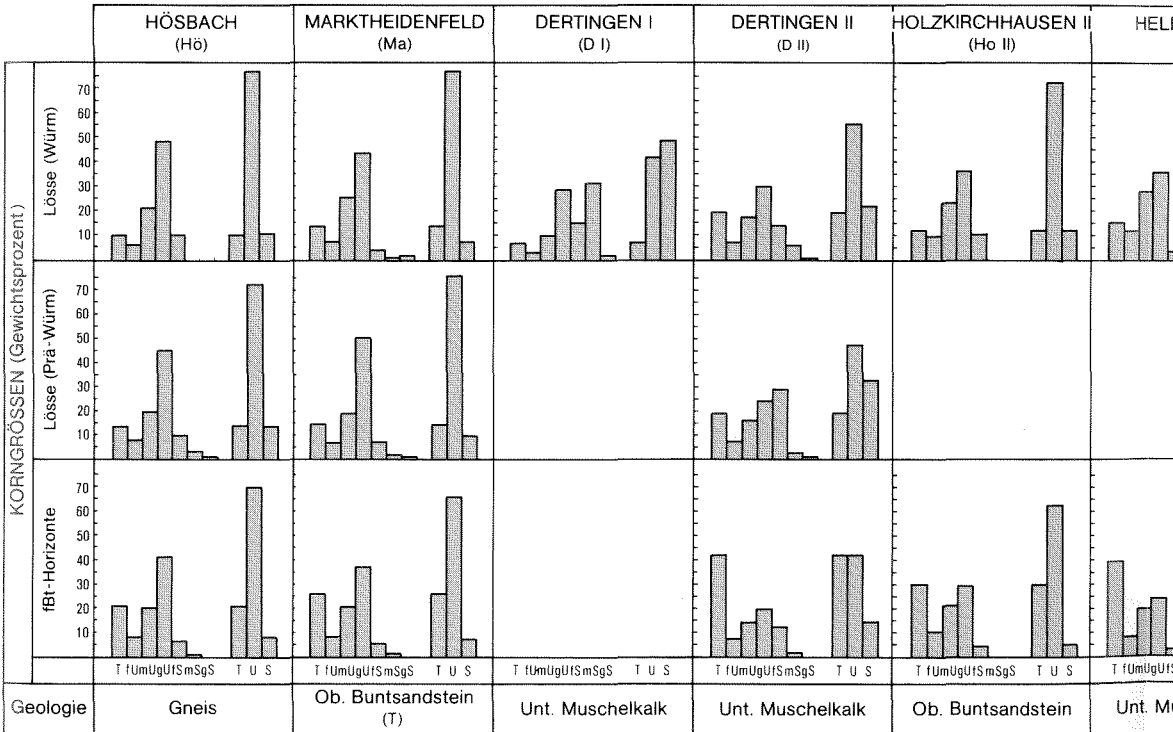


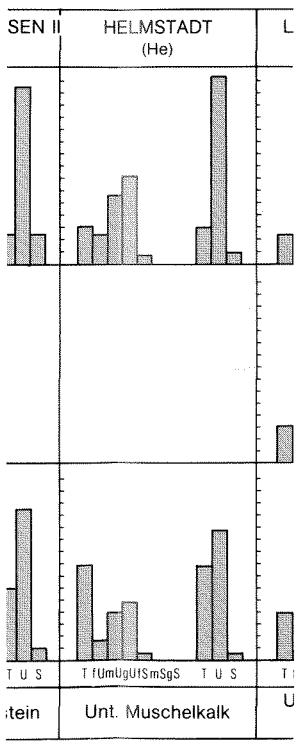
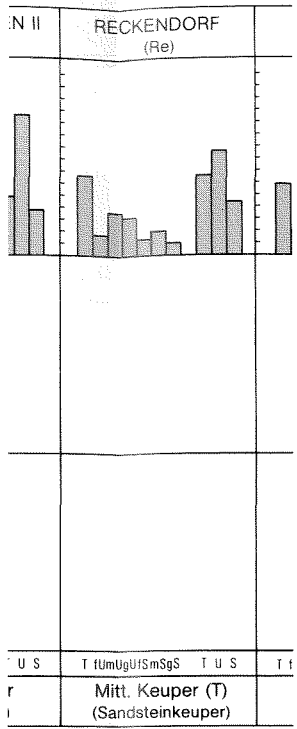
Beilage 25: Profil Scheblitz

NW



W

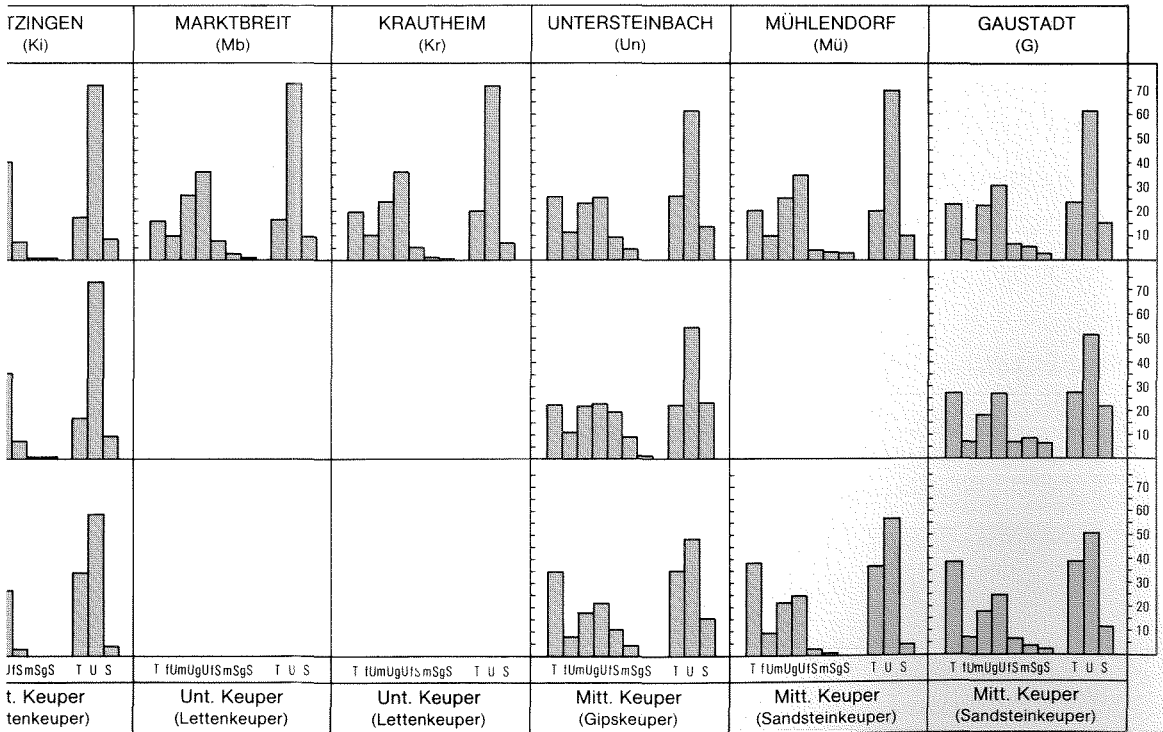




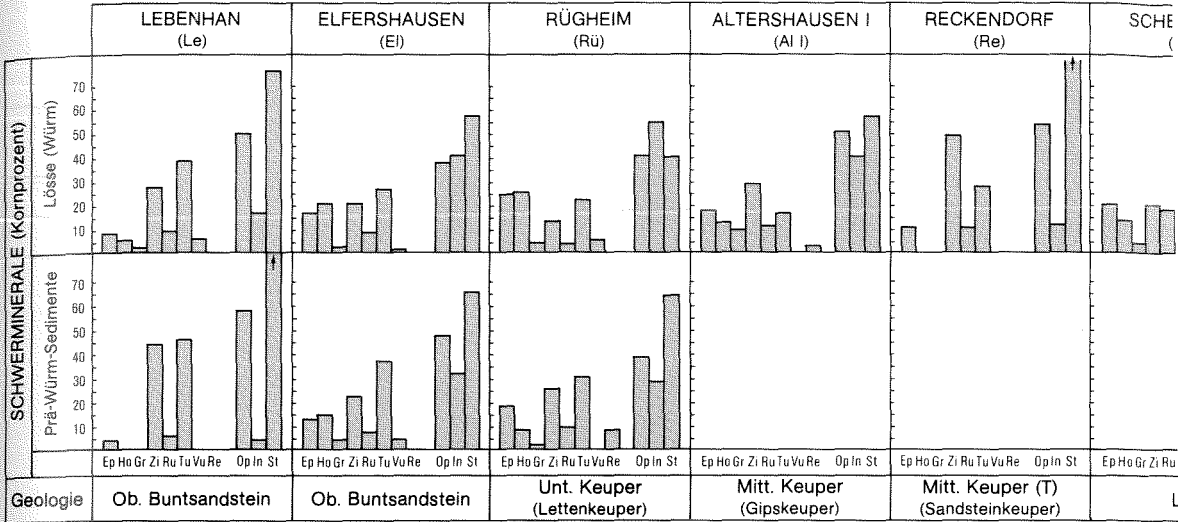
Beilage 26:

Durchschnittliche Korngrößenverteilung bestimmter Sedimenttypen dargestellt in einer W-E- bzw. NW-SE-Abfolge der Profile

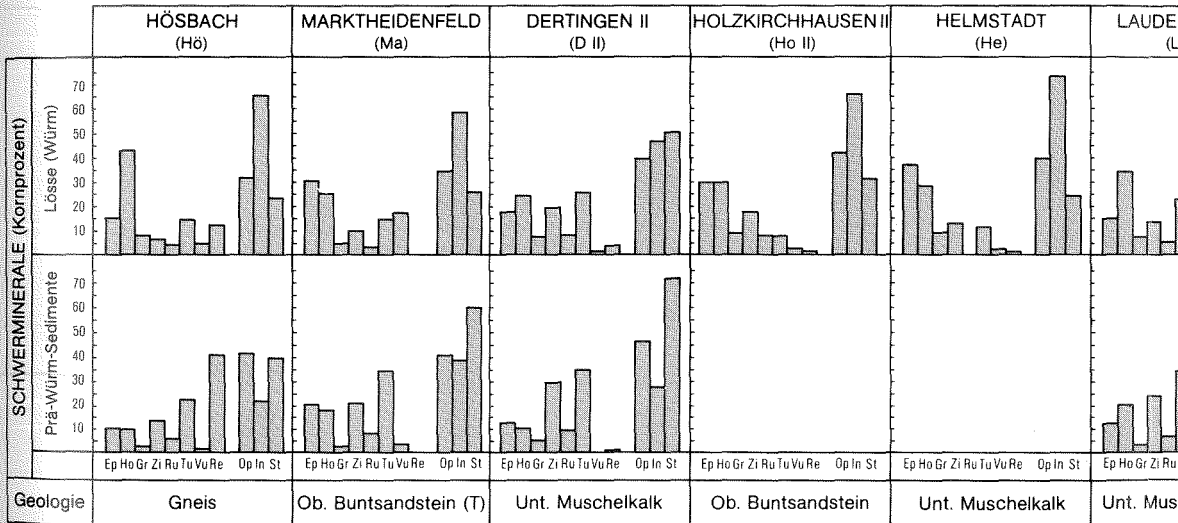
E



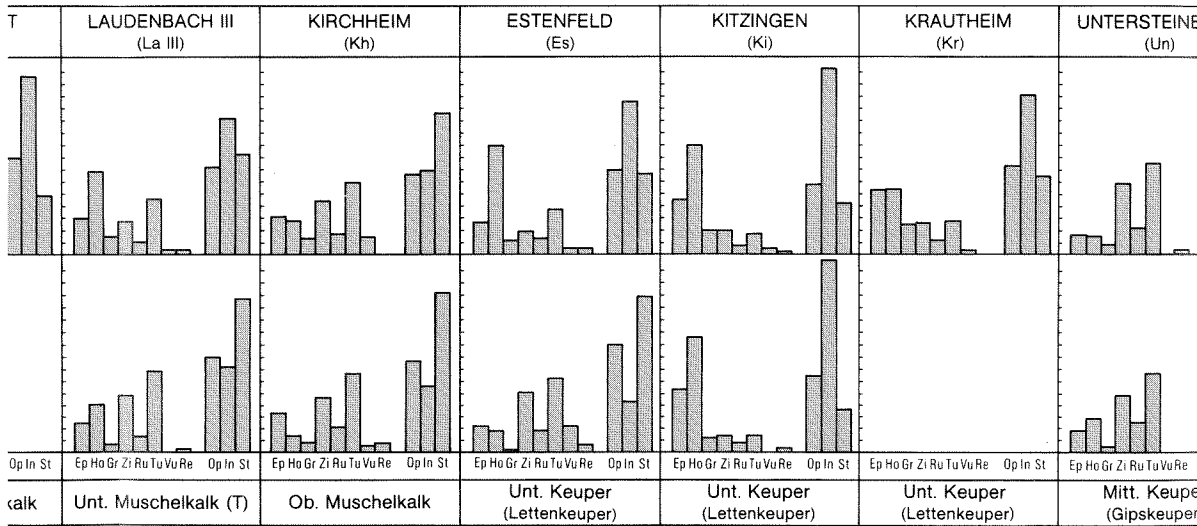
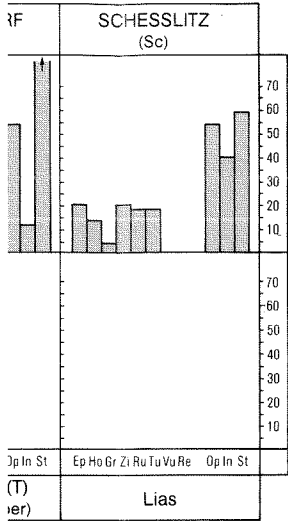
NW



W

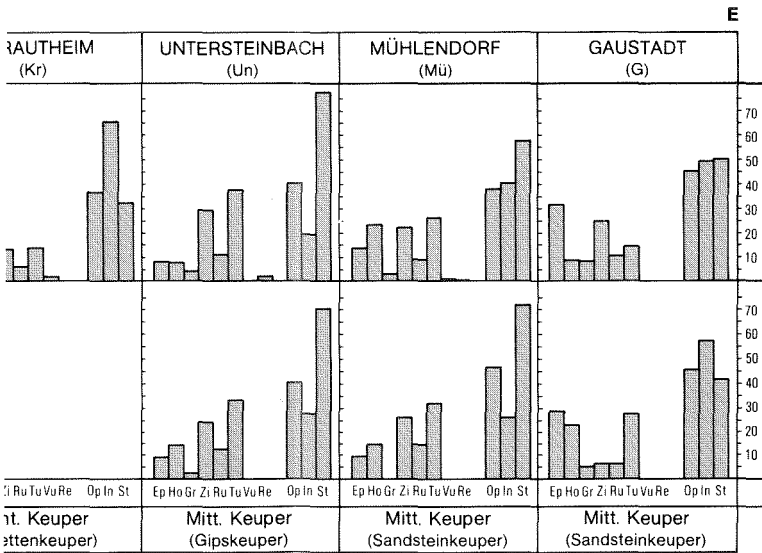


SE



Beilage 27:

Durchschnittlicher Schwermineralgehalt bestimmter Sedimenttypen dargestellt in einer W-E- bzw. NW-SE-Abfolge der Profile



Beilage 1: Legende zu den Abbildungen und Beilagen (mit Erläuterungen zur Profilbeschreibung und mit Abkürzungen)

Stratigraphische Deutung¹⁾

E ₁₋₄	= Erbenheimer Naßböden
LB	= Lohner Boden
GB	= Gräselberger Boden
NEZ	= Niedereschbacher Zone
HZ	= Humuszone
BH	= Bleichhorizont
Eem	= letzter Warmzeit-Boden auf 2.letztem Kaltzeitsediment
RißI/II	= 2.letzter Warmzeit-Boden auf 3.letztem Kaltzeitsediment
Holstein	= 3.letzter ...
Cromer IV?	= 4.letzter ...
Cromer III?	= 5.letzter ...
Cromer II?	= 6.letzter ...
Cromer I?	= 7.letzter ...

Erläuterungen zur Profilbeschreibung

- Mächtigkeit: in cm.
- Farbe: lufttrocken nach MUNSELL Soil Color Charts (1954).
- Bodenart: konventionelle Schreibweise der Kurzzeichen nach: Bodenkundliche Kartieranleitung (1982: 84, Abb. 3: Verwendung der Begriffe "Lehm, lehmig" auch für Ton-Schluff-Gemenge).
- Gefüge:

einzelk.	=	einzelkörnig
koh.	=	kohärent
krüm.	=	krümelig
subpoly.	=	subpolyedrisch
poly.	=	polyedrisch
prism.	=	prismatisch
plat.	=	plattig
bröck.	=	bröckelig

5. Carbonat (Gew.-%; nach: Bodenkundliche Kartieranleitung 1982: 94):

c''	= sehr carbonatarm (> 0-0.5 %)
c'	= carbonatarm (≤ 2 %)
c	= carbonathaltig (≤ 10 %)

1) Grundlage der stratigraphischen Gliederung des Jungpleistozäns: SCHÖNHALS et al. (1964), SEMMEL (1968, 1969), BIBUS & SEMMEL (1977), ROHDENBURG & MEYER (1979). Grundlage der stratigraphischen Gliederung des Mittel- und Altpleistozäns: BRUNNACKER et al. (1976), SKOWRONEK & WILLMANN (1984), STREMMER (1985), SKOWRONEK & KURZ (1986).

c̄	= carbonatreich (≤ 25 %)
c̄̄	= sehr carbonatreich (> 25 %)

6. Humus (geschätzt nach: Bodenkundliche Kartieranleitung 1982: 37)

h''	= sehr schwach humos
h'	= schwach humos
h	= mittel humos
h̄	= stark humos
h̄̄	= sehr stark humos

7. Horizontbegrenzung:

deutl. u.B. = deutliche untere Begrenzung
undeutl. u.B. = undeutliche untere Begrenzung

8. Konkretionen, Flecken, Grobkomponenten

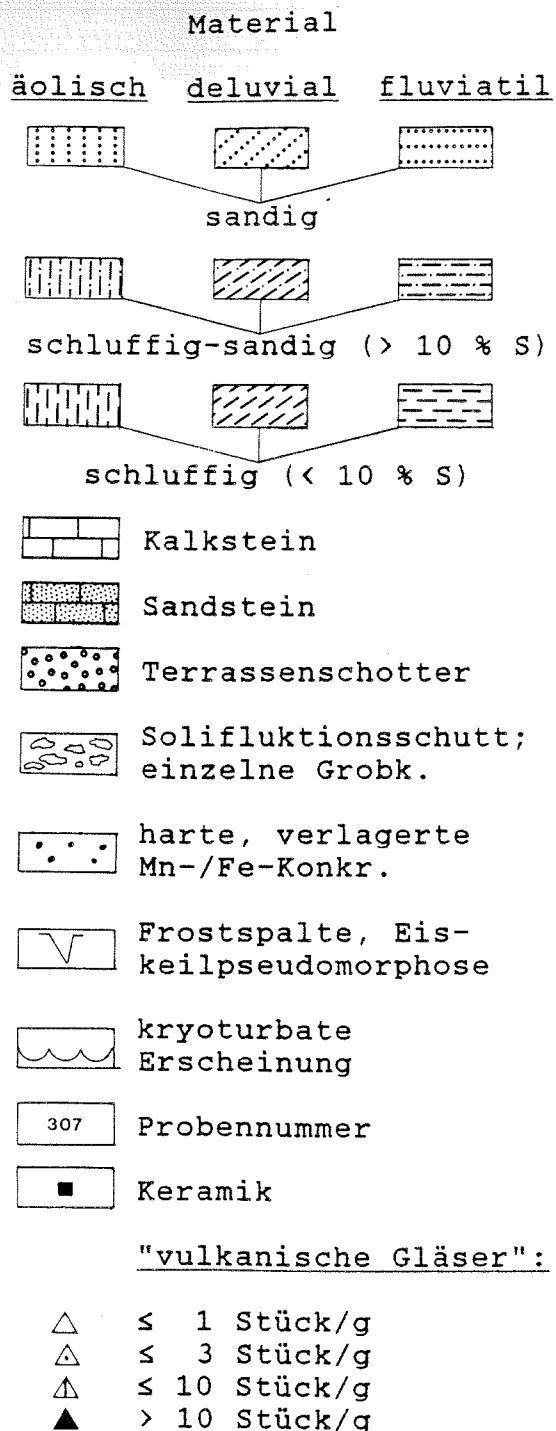
Ca-Konkr.	= Kalkkonkretionen (< 3 cm ø)
Lößk.	= Lößkindel (> 3 cm ø)
Ca-Bruchst.	= Kalkkonkretionsbruchstücke
Ca-Naßkonkr.	= Naßkonkretionen (= Naßkindel) ¹⁾
Pseudom.	= Pseudomycel ²⁾
Bjelogl.	= Bjeloglaska (= russ. Weißäuglein) ³⁾
Rhizos.	= Rhizosolenien ⁴⁾
Mn-Konkr.	= Manganoxid-Konkretionen
Fe-Konkr.	= Eisenoxid-Konkretionen
Rostfl., Mn-Fl.	= Rostflecken, Manganoxidflecken
Bleichfl., -str.	= Bleichflecken, -streifen
Grobk.	= Grobkomponenten (Gesteinsbruchstücke unterschiedlicher Art und Größe)

9. Sonstige Angaben

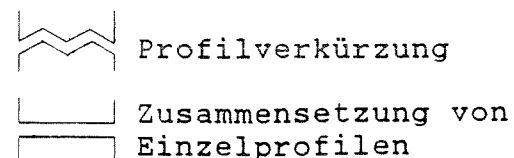
T-Cut.	= Toncutane
T-Bel.	= Tonbeläge (in Wuzelröhren)
Holz.	= Holzkohle
Koprolithe	= kleine Tonkügelchen, Nest-artig angeordnet
Krotowinen	= verfüllte Gänge von Steppenwühlern
↑ ↓	= zu- bzw. abnehmend

- Poren-Füll-Konkretionen nach ROHDENBURG & MEYER (1979: 33), die unter feuchten Bedingungen im Innern von Grobporen aus reinem Calcit entstehen.
- Carbonat-Ausblühungen, die wie Hyphengeflecht (Mycel) von Pilzen aussehen (vgl. SCHROEDER 1984: 112). Nach HÄDRICH (1970: 111) feine Wurzelröhrchen.
- Kleine, weiße, rundliche oder längliche, kreidige Carbonatausfällungen in Hohlräumen von Paläoböden (vgl. HÄDRICH 1970: 111).
- Wurzelröhrchen durch Kalkverkittung (nach BRUNNACKER 1957a).

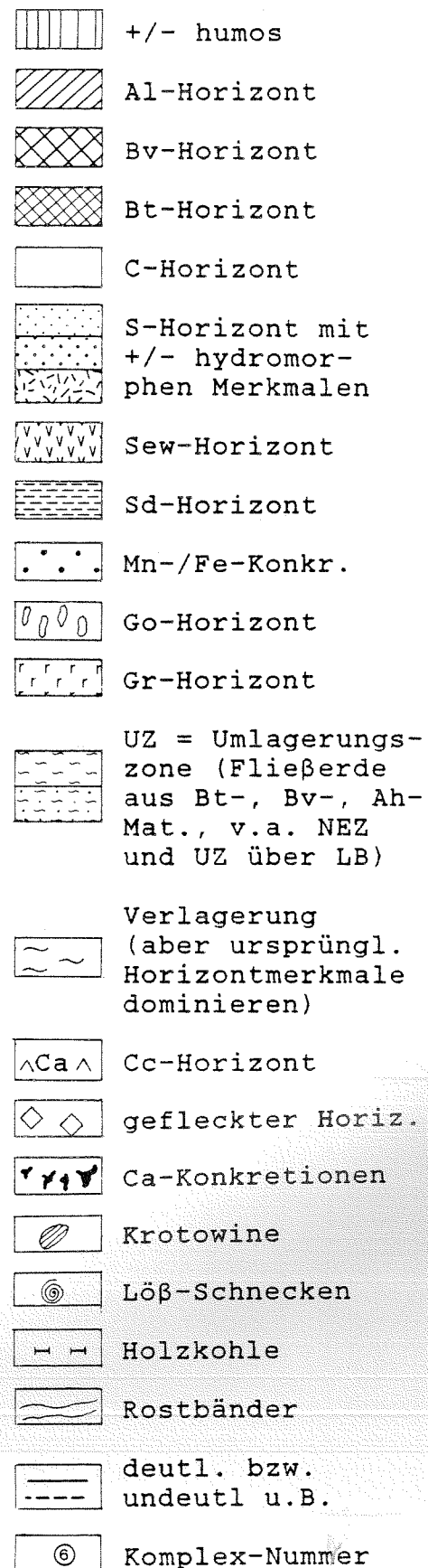
Geologisches Profil



Geolog. und Pedol. Profil



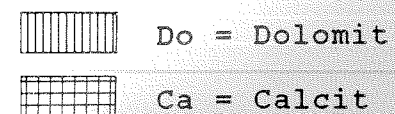
Pedologisches Profil¹⁾



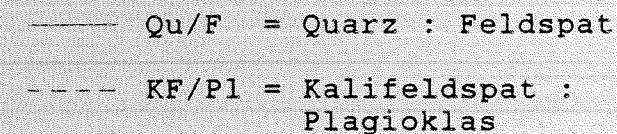
Korngrößen (Gewichts-%):



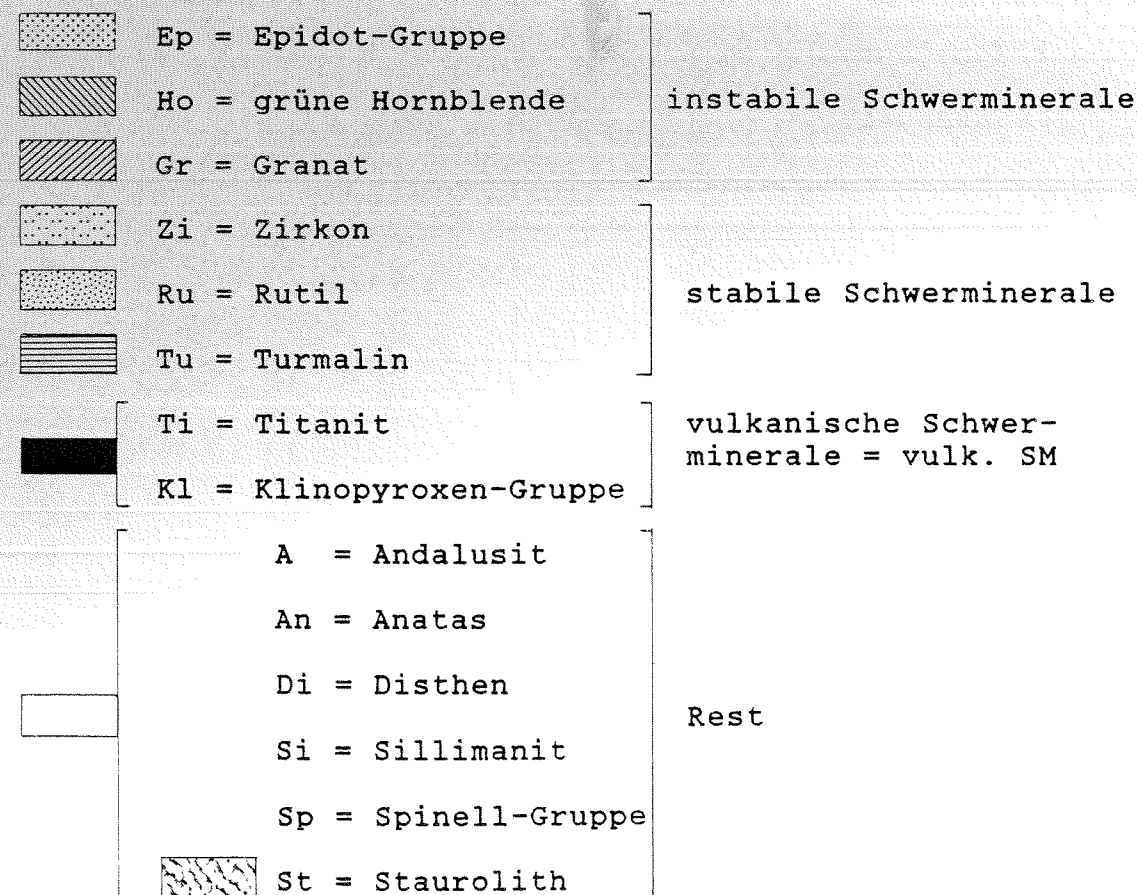
Carbonat (Gewichts-%):



Quotienten (der Peakflächen)



Schwerminerale (Korn-%)



Op = Opake; I : S = Instabile : Stabile

1) Horizont-Symbole nach: Systematik der Böden der Bundesrepublik Deutschland (1985). Ausnahme: UZ

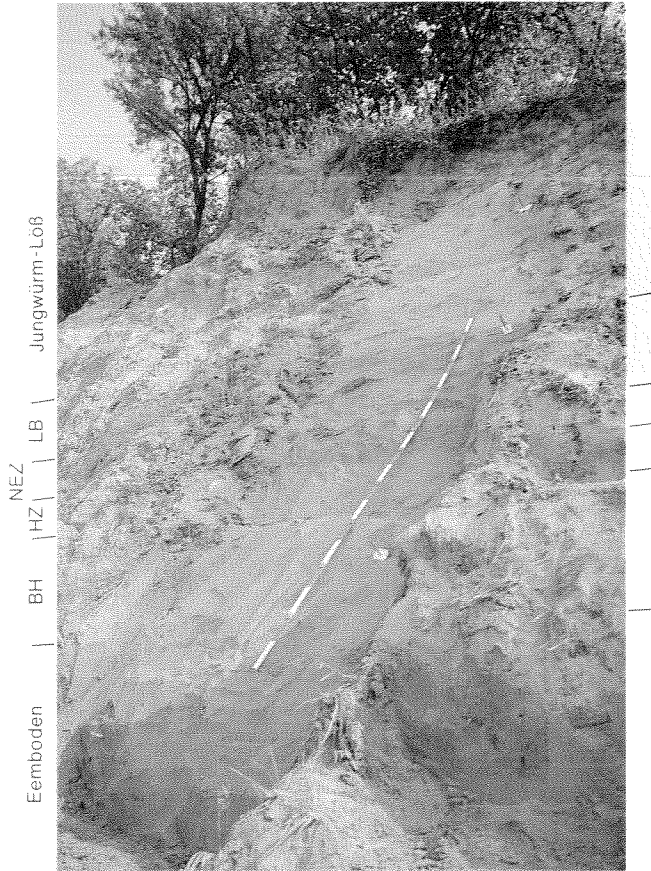


Foto 1: Würm-Löß-Profil 1 von Hösbach



*Foto 2: Eiskeile und kryoturbate Erscheinungen in K. 17
von Hösbach*



Foto 3: Graues Band (Tuff?) in K. 7 von Hösbach



Foto 4: Umlagerungszone über dem bräunen Boden mit strukturabhängigem Verlauf der Rostbänder und grauen Tuffbänder (?) (K. 6, 7 und 8) in Hösbach

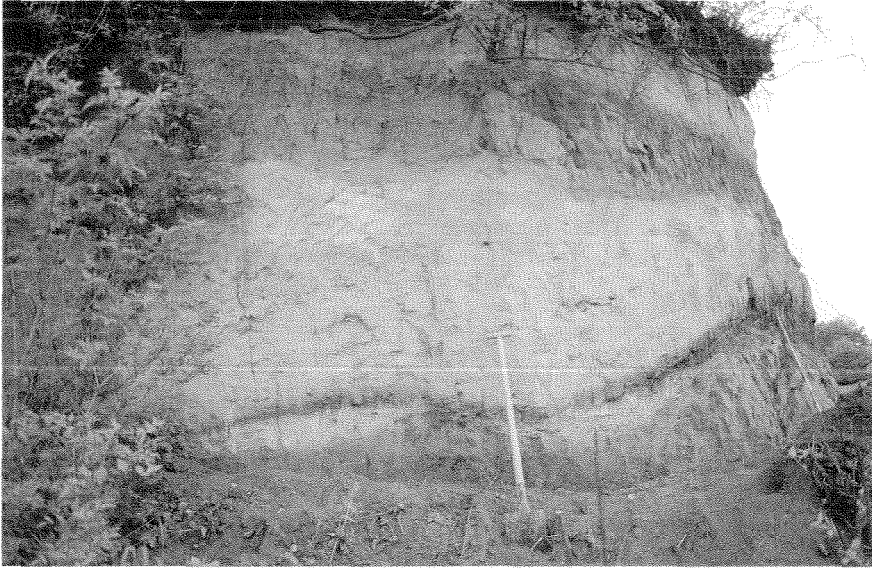


Foto 5: E-exponierte Seite des Profils Dertingen II



Foto 6: N-exponierte Seite des Profils Dertingen II

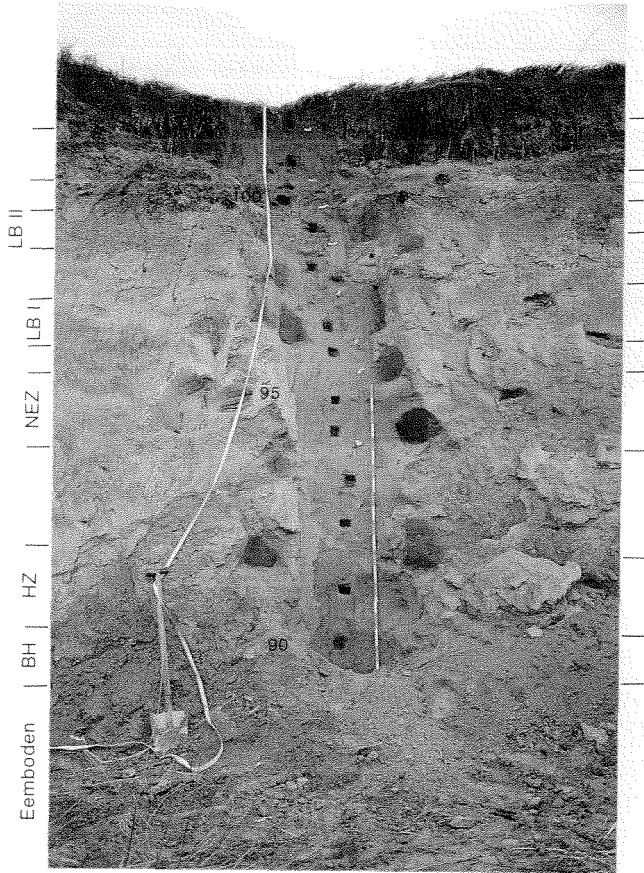


Foto 7: Profil Holzkirchenhausen II



Foto 8: Profil Holzkirchhausen I



Foto 9: Eemboden, Bleichhorizont und Humuszonen im seitlichen Dellenbereich des Profils Obereisenheim

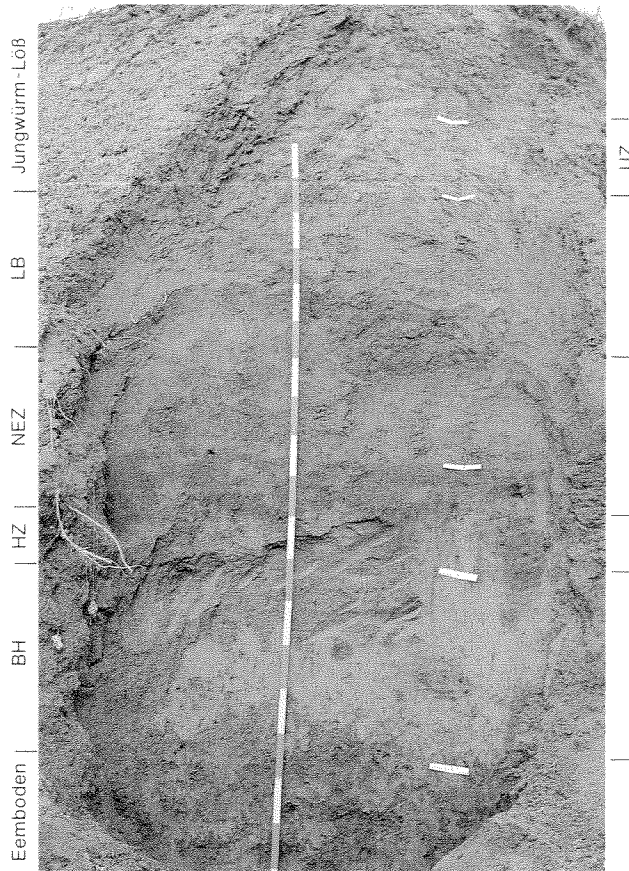


Foto 10: Profil Helmstadt, Aufnahme 1985



Foto 11: Kryoturbate Verformung im Terrassensediment (K. 16) von Laudenbach III



Foto 12: Kryoturbationserscheinungen (Reckendorf)



Foto 13: Profil Esterfeld (mit fossilem Eiskeil)

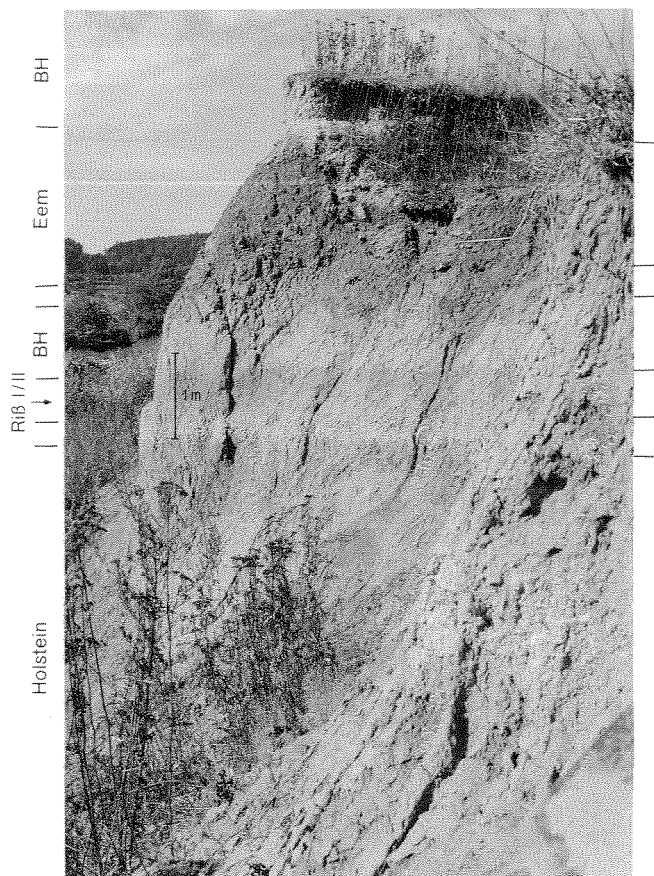


Foto 14: Profil Elfershausen.



Foto 15: Eem-B₇-Horizont und Bleichhorizont in Rügheim

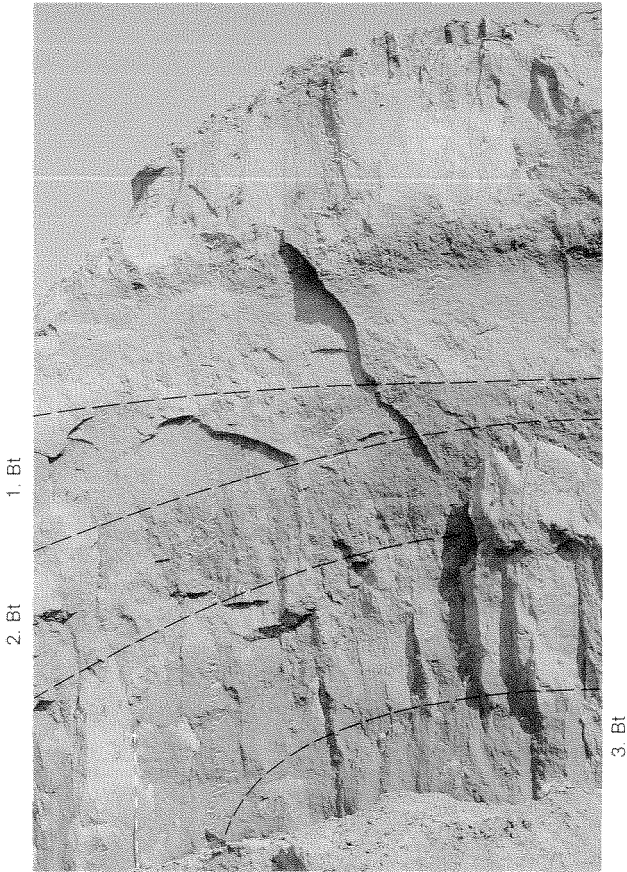


Foto 16: Auffächern der fossilen B_t-Horizonte in Hösbach als Ergebnis des zunehmenden Reliefausgleichs

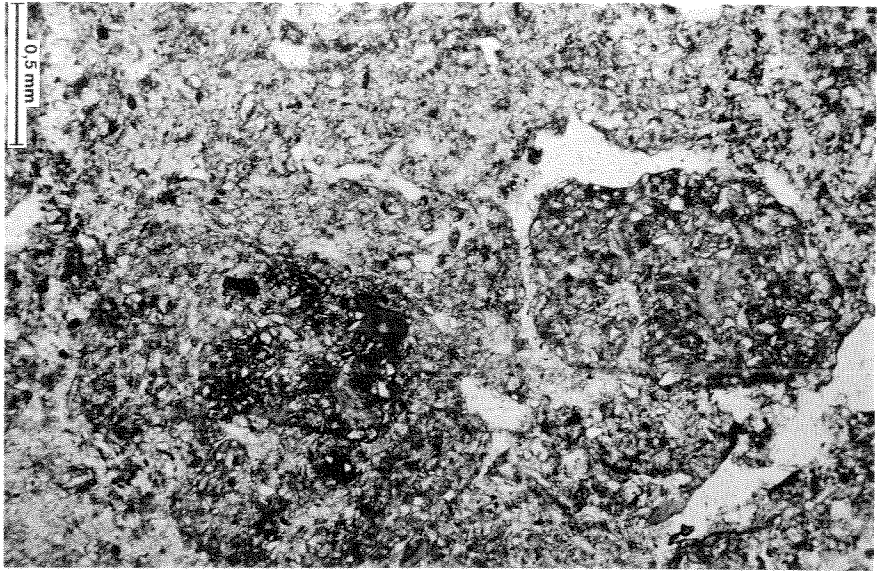


Foto 17: Profil Helmstadt, Altwürmhumuszone (-Nicols)

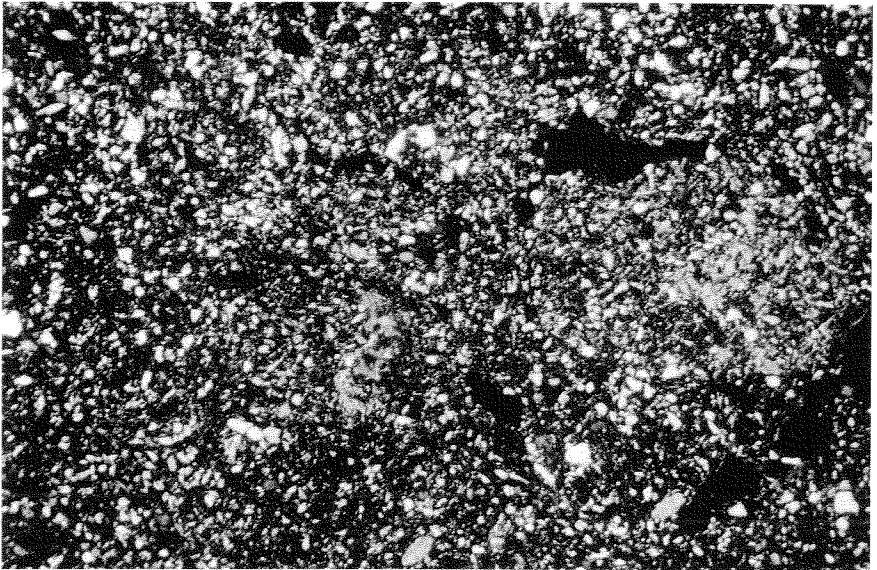


Foto 18: Profil Helmstadt, Altwürmhumuszone (+Nicols)

Innerhalb eines hohraumreichen Gefüges sind deutlich zwei scharf abgegrenzte Matrixaggregate zu sehen, die noch gut doppelbrechenden Fließton enthalten und damit auf gellisolidale Einarbeitung von B₁-Horizont-Material hinweisen.

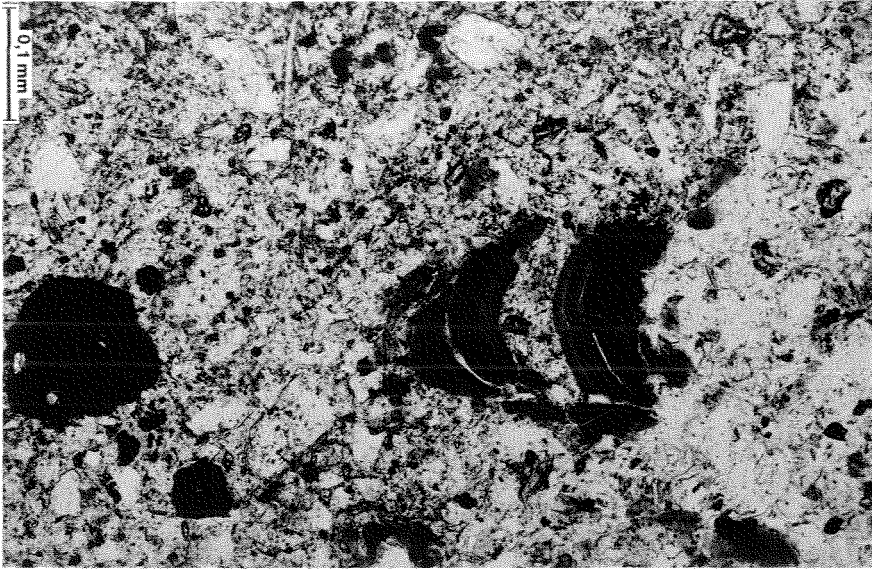


Foto 19: Profil Helmstadt, Bleichhorizont (-Nicols)

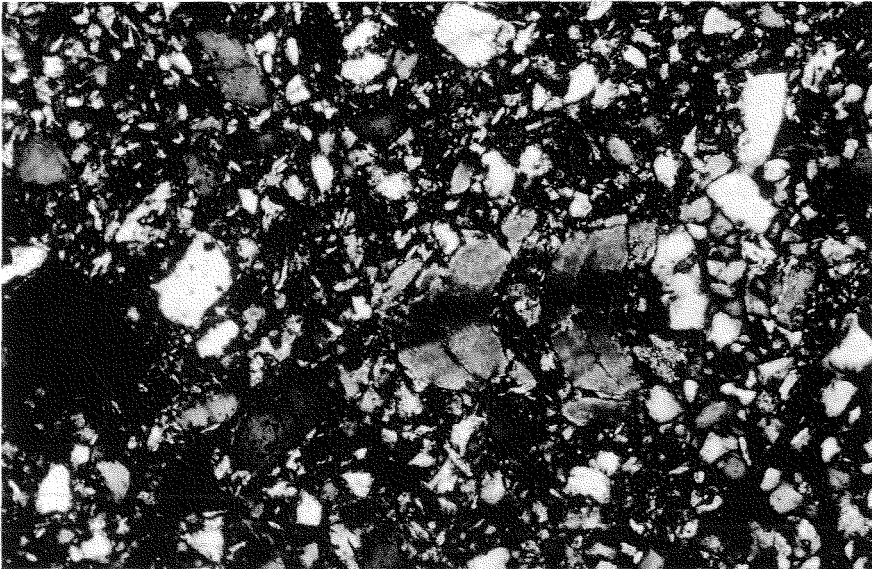


Foto 20: Profil Helmstadt, Bleichhorizont (+Nicols)

Älteres Tonbruchstück mit zwiebelschalenartigem Aufbau in einer "ausgewaschenen" Matrix. Deutlich sind sowohl die beginnende als auch die bereits erfolgte Separation zu erkennen; die Regelungsdoppelbrechung ist schon stark abgeschwächt. Daneben sind weitere Fließtonfragmente in der Matrix enthalten, welche sonst aber frei vom aktivem Fließplasma ist.